



UNIVERSIDADE
ESTADUAL DE LONDRINA

PEDRO MARETI MAÇAIRA FÍGARO

**MALATION E CICLOSPORINA A ALTERAM A
MORFOFISIOLOGIA RENAL E HEPÁTICA EM MODELOS DE
ROEDOR**

PEDRO MARETI MAÇAIRA FÍGARO

**MALATION E CICLOSPORINA A ALTERAM A
MORFOFISIOLOGIA RENAL E HEPÁTICA EM MODELOS DE
ROEDOR**

Dissertação apresentada ao Programa de Pós-Graduação em Patologia Experimental da Universidade Estadual de Londrina, como requisito à obtenção do título de Mestre em Patologia Experimental.

Orientadora: Profa. Dra. Glaura Scantamburlo Alves Fernandes
Coorientador: Prof. Dr. Fábio Goulart de Andrade

Londrina
2021

Ficha de identificação da obra elaborada pelo autor, através do Programa de Geração Automática do Sistema de Bibliotecas da UEL

F437m Fígaro, Pedro Mareti Maçaira;.
Malation e Ciclosporina A alteram a morfofisiologia renal e hepática em modelos de roedor. / Pedro Mareti Maçaira; Fígaro. - Londrina, 2021.
72 f. : il.

Orientador: Glaura Scantamburlo Alves Fernandes.
Coorientador: Fábio Goulart de Andrade.
Dissertação (Mestrado em Patologia Experimental) - Universidade Estadual de Londrina, Centro de Ciências Biológicas, Programa de Pós-Graduação em Patologia Experimental, 2021.
Inclui bibliografia.

1. Nefrotoxicidade - Tese. 2. Hepatotoxicidade - Tese. 3. Morfofisiologia - Tese. 4. Estresse oxidativo - Tese. I. Fernandes, Glaura Scantamburlo Alves . II. Andrade, Fábio Goulart de . III. Universidade Estadual de Londrina. Centro de Ciências Biológicas. Programa de Pós-Graduação em Patologia Experimental. IV. Título.

CDU 616

PEDRO MARETI MAÇAIRA FÍGARO

**MALATION E CICLOSPORINA A ALTERAM A MORFOFISIOLOGIA
RENAL E HEPÁTICA EM MODELOS DE ROEDOR**

Dissertação apresentada ao Programa de Pós-Graduação em Patologia Experimental da Universidade Estadual de Londrina, como requisito à obtenção do título de Mestre em Patologia Experimental.

BANCA EXAMINADORA

Orientadora: Profa. Dra Glaura
Scantamburlo Alves Fernandes
Universidade Estadual de Londrina – UEL

Prof. Dr. Fábio Rodrigues Ferreira Seiva
Universidade Estadual do Norte do Paraná –
Campus Luiz Meneghel - UENP

Profa. Dra. Adriana Souza Torsoni
Universidade Estadual de Campinas,
Faculdade de Ciências Aplicadas - UNICAMP

Londrina, 14 de junho de 2021

AGRADECIMENTOS

Agradeço a Deus por todas as oportunidades que me foram concebidas e por sempre estar ao meu lado. Agradeço a minha orientadora Prof. Dr. Glaura Scantamburlo Alves Fernandes por ter me guiado pelos melhores caminhos e por investir seu tempo durante todo este período.

Também agradeço ao meu coorientador Prof. Dr. Fábio Goulart de Andrade, por sempre estar presente e acreditar no meu potencial.

Agradeço a todos os membros do Departamento de Histologia do Centro de Ciências Biológicas. Agradeço a CNPq pela bolsa de estudos, que contribuíram muito para minha formação e dedicação à pesquisa. Agradeço a todos os meus colegas de laboratório, sem os quais a realização deste trabalho não seria possível.

Agradeço a minha namorada Maria Vitoria por estar junto a mim nos momentos mais difíceis, por me motivar e por ser minha companheira em todos os momentos. À minha família, por sempre acreditarem no meu potencial, pelo suporte financeiro e por superarem todos os obstáculos para que eu pudesse me formar. Agradeço também aos meus pais, por todo apoio e por acreditar nos meus sonhos.

1 FÍGARO, Pedro Mareti Maçaira; **Malation e Ciclosporina A alteram a**
2 **morfofisiologia renal e hepática em modelos de roedor**. 2021. 109 páginas.
3 Dissertação de Mestrado (Programa de Pós-Graduação em Patologia Experimental)
4 – Universidade Estadual de Londrina, Londrina, 2021.

6 RESUMO

8 O malation e a ciclosporina A são compostos utilizados para o controle de pragas na
9 agricultura e para evitar a rejeição de órgãos transplantados, respectivamente. No
10 entanto, ambos apresentam histórico de toxicidade. Assim, o objetivo deste trabalho foi
11 avaliar as possíveis alterações histológicas, funcionais e no status antioxidante em rins e
12 fígado de roedores expostos ao malation e à ciclosporina A. Para estudo dos efeitos do
13 malation, utilizaram-se 18 ratos machos *Wistar* adultos distribuídos em 3 grupos (n=6):
14 controle (C), recebeu água; malation 10 mg/kg (G10); malation 50 mg/kg (G50), tratados
15 diariamente. Após o 41º dia experimental, os animais foram anestesiados e submetidos
16 à eutanásia. Para avaliação da exposição à Ciclosporina A, 30 camundongos *Swiss*
17 adultos foram tratados durante 10 e 50 dias, distribuídos em 5 grupos (n= 6): o grupo
18 controle (C) recebeu água e o grupo CsA10i recebeu 10 mg/kg de CsA, ambos
19 submetidos à eutanásia no 11º dia experimental; o grupo CsA10r recebeu 10 mg/kg de
20 CsA, passou por período de recuperação de 10 dias e foi submetido à eutanásia no 21º
21 dia experimental. Com relação ao período de 50 dias, o grupo CsA50i recebeu 10 mg/kg
22 de CsA, e foi submetido à eutanásia no 51º dia experimental; o grupo CsA50r recebeu 10
23 mg/kg de CsA, passou por período de recuperação de 50 dias e foi submetido à eutanásia
24 no 101º dia experimental. Em ambos experimentos, foram coletados: plasma, para as
25 dosagens das concentrações de AST, ALT, ureia e creatinina; rins e fígado, para análise
26 histopatológica e avaliação de biomarcadores de estresse oxidativo. A exposição ao
27 malation causou aumento no diâmetro glomerular no grupo 50M e redução do espaço de
28 Bowman no grupo 10M. No córtex renal, houve diminuição de glicogênio em ambas
29 dosagens. No fígado, foi observado aumento das reservas de glicogênio na região
30 periportal e centrolobular, nos grupos 10M e 50M. Referente à nefrotoxicidade e à
31 hepatotoxicidade, os animais do grupo 50M apresentaram aumento das concentrações
32 de AST, ALT e creatinina. Também foi observado aumento da atividade de GST hepática
33 e da catalase renal, além de diminuição da atividade de SOD nos rins. Referente à
34 exposição à CsA, verificou-se diminuição apenas no espaço de Bowman no grupo
35 CsA10r e CsA50r. No fígado, houve aumento no diâmetro médio das vênulas
36 centrolobulares nos grupos CsA10i e CsA10r, e da vênula porta, apenas no grupo
37 CsA10r. Houve diminuição no diâmetro médio dos ductos biliares no grupo CsA50i, e
38 dilatação dos sinusoides periportais e vênulas centrolobulares nos grupos CsA10i e
39 CsA10r. A concentração de ureia aumentou no grupo CsA50r e as dosagens de ALT
40 diminuíram no grupo CsA10i. A lipoperoxidação renal e hepática aumentou no grupo
41 CsA50r, enquanto a GST renal diminuiu em todos os grupos tratados e no fígado houve
42 diminuição apenas nos grupos CsA50i e CsA50r. Houve diminuição de SOD renal nos
43 grupos CsA10i, CsA10r e CsA50i. Conclui-se que a exposição as doses de 10 mg/kg e
44 50 mg/kg de malation e 10 mg/kg de ciclosporina A provoca hepatotoxicidade e
45 nefrotoxicidade em roedores machos.

47 **Palavras-chave:** Nefrotoxicidade. Hepatotoxicidade. Morfofisiologia. Estresse
48 oxidativo

1 FÍGARO, Pedro Mareti Maçaira. **Malathion and Cyclosporin A alters renal and**
2 **hepatic morphophysiology in rodent models.** 2021. 109 pages. Master's degree
3 (Postgraduate Program in Experimental Pathology) – State University of Londrina,
4 Londrina, 2021.

5 ABSTRACT

6
7 Malathion and cyclosporine A are compounds used to control pests in agriculture and to
8 prevent rejection of transplanted organs, respectively. However, both have a history of
9 toxicity. Thus, the objective of this work was to evaluate the possible histological, functional
10 and antioxidant status changes in kidneys and liver of rodents exposed to malathion and
11 cyclosporine A. To study the effects of malathion, 18 adult male Wistar rats were used,
12 divided into 3 groups (n=6): control (C), received water; malation 10 mg / kg (G10);
13 malation 50 mg / kg (G50), treated daily. After the 41st experimental day, the animals were
14 anesthetized and euthanized. To assess the exposure to Cyclosporin A, 30 adult Swiss
15 mice were treated for 10 and 50 days, divided into 5 groups (n=6): the control group (C)
16 received water and the CsA10i group received 10 mg / kg of CsA, both subjected to
17 euthanasia on the 11th experimental day; the CsA10r group received 10 mg/kg of CsA,
18 went through a 10-day recovery period and was euthanized on the 21st experimental day.
19 Regarding the 50-day period, the CsA50i group received 10 mg / kg of CsA and was
20 euthanized on the 51st experimental day; the CsA50r group received 10 mg / kg of CsA,
21 underwent a 50-day recovery period and was euthanized on the 101st experimental day.
22 In both experiments, plasma was collected for the measurement of AST, ALT, urea and
23 creatinine concentrations, kidneys, and liver, for histopathological analysis and evaluation
24 of oxidative stress biomarkers. Exposure to malation caused an increase in the glomerular
25 diameter in the 50M group and a reduction in Bowman's space in the 10M group. In the
26 renal cortex, there was a decrease in glycogen at both dosages. In the liver, an increase
27 in glycogen reserves was observed in the periportal and centrilobular regions, in the 10M
28 and 50M groups. Regarding nephrotoxicity and hepatotoxicity, the animals in the 50M
29 group showed increased concentrations of AST, ALT and creatinine. Increased activity of
30 hepatic GST and renal catalase has also been observed, in addition to decreased activity
31 of SOD in the kidneys. Regarding exposure to CsA, there was a decrease only in
32 Bowman's space in the CsA10r and CsA50r group. In the liver, there was an increase in
33 the average diameter of the centrilobular venules in the CsA10i and CsA10r groups, and
34 of the portal venule, only in the CsA10r group. There was a decrease in the mean diameter
35 of the bile ducts in the CsA50i group, and dilation of the periportal sinusoids and
36 centrilobular venules in the CsA10i and CsA10r groups. The urea concentration increased
37 in the CsA50r group, and the ALT measurements decreased in the CsA10i group. Renal
38 and hepatic lipoperoxidation increased in the CsA50r group, while renal GST decreased
39 in all treated groups and in the liver, there was a decrease only in the CsA50i and CsA50r
40 groups. There was a decrease in renal SOD in the CsA10i, CsA10r and CsA50i groups.
41 It is concluded that exposure to doses of 10 mg/kg and 50 mg/kg of malathion and 10
42 mg/kg of cyclosporin A causes hepatotoxicity and nephrotoxicity in male rodents.

43
44 **Key words:** Nephrotoxicity. Hepatotoxicity. Morphophysiology. Oxidative stress

LISTA DE ILUSTRAÇÕES

Figura 1. Representação esquemática de túbulo urinífero	15
Figura 2. Representação da estrutura do lóbulo hepático	18
Figura 3. Sistema de defesa enzimático.....	20

LISTA DE ABREVIATURAS E SIGLAS

CsA	Ciclosporina A
AST	Aspartato Aminotransferase
ALT	Alanina Aminotransferase
ERO	Espécies reativas de oxigênio
SOD	Superóxido dismutase
GST	Glutathiona S-transferase
TBARS	Substâncias reativas ao ácido tiobarbitúrico

SUMÁRIO

1 INTRODUÇÃO	13
2 REVISÃO BIBLIOGRÁFICA.....	14
3 OBJETIVOS	34
4 ARTIGOS.....	35
4.1 MALATHION CAUSES RENAL AND HEPATIC DAMAGE IN MALE <i>WISTAR</i> RATS DURING THE PERIPUBERAL PERIOD.....	14
4.2 CYCLOSPORINE A ALTERS RENAL AND HEPATIC MORPHOPHYSIOLOGY IN <i>SWISS</i> MICE.....	21
5 CONCLUSÃO GERAL	47
REFERÊNCIAS	48
APÊNDICES	58
ANEXOS	70

1 1 INTRODUÇÃO

2 Estudos apontam que o malation é um dos principais inseticidas da classe dos
3 organofosforados, responsável por intoxicações na vida adulta. Os efeitos tóxicos que
4 estes pesticidas podem provocar no organismo estão diretamente relacionados à sua
5 elevada utilização na agricultura, principalmente, nos indivíduos envolvidos no
6 processo de aplicação do inseticida na lavoura ou que entram em contato de forma
7 indireta com este químico. O período peripuberal é um importante marco no
8 desenvolvimento pós-natal de vários órgãos, e pouco se sabe sobre os prejuízos
9 causados aos indivíduos expostos a este pesticida durante esta etapa. Assim, é
10 relevante verificar as alterações que o malation pode promover nos rins e fígado
11 durante este período.

12 A Ciclosporina A (CsA) é um medicamento imunossupressor utilizado no
13 tratamento de doenças autoimunes e para evitar rejeição de órgãos transplantados.
14 Estudos apontam a sua possível utilização como contraceptivo masculino, dada sua
15 capacidade em inibir a calcineurina, proteína que está diretamente associada a
16 regulação da espermatogênese. No entanto, a CsA apresenta um histórico de
17 toxicidade hepática e renal, dificultando seu uso para este propósito. Assim, para que
18 este medicamento seja pesquisado para esta finalidade no futuro, faz-se necessária
19 sua administração em baixa dose, para que não haja resposta imunossupressora e
20 efeitos adversos, visto que sua toxicidade é dose dependente. Desta forma, torna-se
21 relevante analisar as características renais e hepáticas, decorrentes da exposição à
22 baixa dose de CsA.

23 Visando atingir os objetivos acima propostos, esta dissertação de mestrado foi
24 elaborada em conformidade com as normas vigentes do Programa de Pós-Graduação
25 em Patologia Experimental da Universidade Estadual de Londrina, sendo constituída
26 por uma Revisão Bibliográfica e 2 artigos científicos baseados nas pesquisas
27 experimentais realizadas. A estrutura geral deste trabalho está em conformidade com
28 as normas da Associação Brasileira de Normas Técnicas (ABNT) para apresentação
29 de trabalhos acadêmicos¹.

30
31

¹ ABNT - ASSOCIAÇÃO BRASILEIRA DE NORMAS TÉCNICAS. NBR 14724: informações e documentação - trabalhos acadêmicos - apresentação. Rio de Janeiro: ABNT, 2011.

1 2 REVISÃO BIBLIOGRÁFICA

2 2.1 Morfofisiologia Renal e Hepática

3 4 2.1.1 Aspectos histofisiológicos dos rins

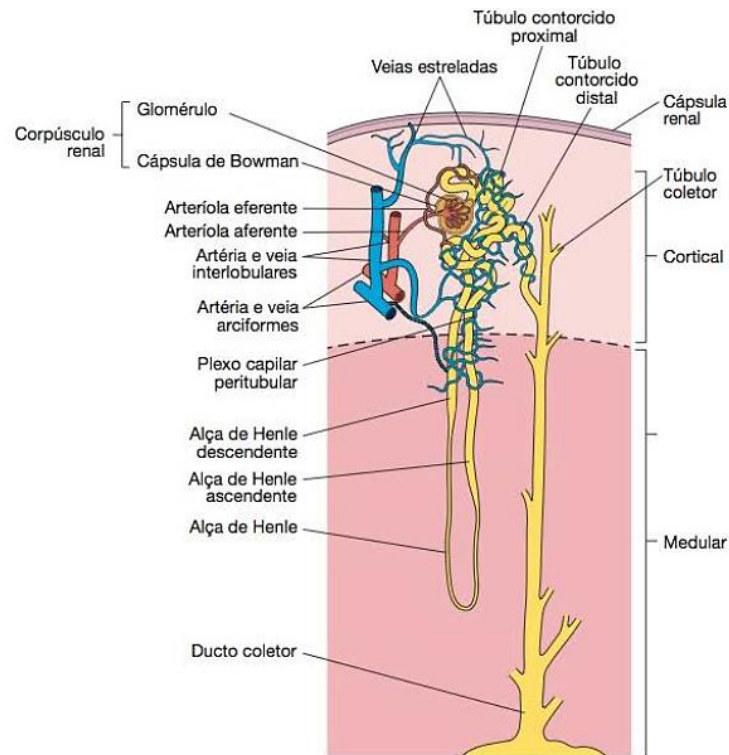
5 O sistema urinário é composto por dois rins, dois ureteres, bexiga e uretra. Os
6 rins são responsáveis pela filtração do sangue, removendo os dejetos metabólicos,
7 apresentando grande importância na regulação da composição e do volume do líquido
8 extracelular e do equilíbrio acidobásico (MOORTHY; BLICHFELDT, 2009; GARTNER;
9 HIATT, 2017; JUNQUEIRA; CARNEIRO, 2017; RADY, 2019; VERSCHUREN et al.,
10 2020). Além disso, são responsáveis por produzir a urina, inicialmente denominada
11 ultrafiltrado, o qual é modificado por reabsorção seletiva e secreção específica. A urina
12 em seu estado final contém água e eletrólitos, bem como ureia, ácido úrico, creatinina
13 e outros produtos oriundos do metabolismo celular (KRICHEVSKY, 2005; ALLEN,
14 2008; VERSCHUREN et al., 2020).

15 Atividades endócrinas também são realizadas pelos rins, como a síntese de
16 eritropoietina, responsável por regular a formação das hemácias em resposta à
17 diminuição da tensão de oxigênio no sangue. Além disso, os rins produzem renina,
18 enzima envolvida no controle da pressão arterial, do volume sanguíneo e na
19 hidroxilação da vitamina D3 (MOORTHY; BLICHFELDT, 2009; ROSS, PAWLINA,
20 2016; GARTNER; HIATT, 2017).

21 Internamente, os rins são divididos em lobos, e cada um apresenta uma região
22 cortical e uma região medular, nas quais o principal constituinte é denominado túbulo
23 urinífero. O túbulo urinífero (Fig. 1), unidade funcional do rim, é uma estrutura
24 envolvida por uma lâmina basal e altamente enovelada, a qual modifica o fluido que
25 passa em seu interior, formando a urina como produto. Em seu trajeto pela região
26 cortical, o túbulo urinífero é constituído pelo corpúsculo renal, túbulos contorcidos
27 proximais e distais, enquanto na região medular são encontrados a alça de Henle e
28 os ductos e túbulos coletores (ALLEN, 2008; GARTNER; HIATT, 2017; NAWATA;
29 PANNABECKER, 2018).

30

1

Figura 1. Representação esquemática de túbulo urinífero

2

3

Fonte: JUNQUEIRA; CARNEIRO (2017).

4

5 Os néfrons são a unidade responsável pela filtração sanguínea, formados por
 6 uma parte dilatada – composta pelo corpúsculo renal ou de Malpighi –, pelo túbulo
 7 contorcido proximal, pelas partes delgada e espessa da alça de Henle e pelo túbulo
 8 contorcido distal (MOORTHY; BLICHFELDT, 2009; GARTNER; HIATT, 2017;
 9 JUNQUEIRA; CARNEIRO, 2017).

10 Os corpúsculos renais são estruturas esféricas, com aproximadamente 200 µm
 11 de diâmetro, que constituem o seguimento inicial do néfron. Cada corpúsculo renal
 12 tem um polo vascular pelo qual penetra a arteríola aferente e parte a arteríola eferente,
 13 e um polo urinário, no qual tem início o túbulo contorcido proximal. Ao penetrar o
 14 corpúsculo renal, a arteríola aferente divide-se em vários capilares, que constituem as
 15 alças glomerulares, constituintes do glomérulo (KRICHEVSKY, 2005; ALLEN, 2008;
 16 DUMAS et al., 2021). Os glomérulos apresentam um aglomerado de capilares
 17 compostos por 10 a 20 alças capilares, circundadas pela de cápsula de Bowman,
 18 constituída por um epitélio simples pavimentoso, que se apoia na lâmina basal a partir
 19 de uma fina camada de fibras reticulares.

20 A parte interna desta camada é chamada de folheto visceral, e é constituída
 21 por células especializadas, denominadas de podócitos. Estas células possuem um

1 grande corpo celular, de onde se projetam numerosos prolongamentos que se
2 interpenetram e se ancoram à lâmina basal dos capilares. Entre estes prolongamentos
3 existem espaços denominados de fendas de filtração, cobertos por uma fina
4 membrana de aproximadamente 6 nm de espessura, constituída por colágeno do tipo
5 IV, glicocálice dos podócitos e a proteína nefrina, o que dificulta a passagem de
6 moléculas aniônicas. (ALLEN, 2008; ROSS, PAWLINA, 2016; JUNQUEIRA;
7 CARNEIRO, 2017). Além disso, nos glomérulos há células mesangiais, que são
8 contráteis e possuem receptores para angiotensina II, cuja ativação promove a
9 redução no fluxo sanguíneo glomerular. As células mesangiais também garantem o
10 suporte estrutural ao glomérulo, sintetizam matriz extracelular e fagocitam e digerem
11 substâncias que são retidas pela barreira de filtração, além de produzir
12 prostaglandinas e endotelinas (KRICHEVSKY, 2005; ROSS, PAWLINA, 2016; RADI,
13 2019).

14 O túbulo contorcido proximal é o principal local onde ocorre a reabsorção (67%
15 a 80% da água, sódio e cloreto, além de 100% das proteínas), recebendo o ultrafiltrado
16 do espaço urinário da cápsula de Bowman. As células cúbicas deste túbulo possuem
17 várias mitocôndrias alongadas em seu citoplasma e diversos microvilos, aumentando
18 a sua superfície de contato e formando uma orla em escova. Estas estruturas estão
19 diretamente envolvidas na absorção e no transporte de líquidos, sendo responsáveis
20 pela reabsorção de Na^+ , que cria um gradiente osmótico no interstício, favorecendo a
21 reabsorção de água neste segmento do néfron (ALLEN, 2008; ROSS, PAWLINA,
22 2016; VERSCHUREN et al., 2020).

23 A alça de Henle é o segmento do néfron em forma de U que participa
24 diretamente da retenção de água pelos rins. Esta estrutura é constituída por um ramo
25 descendente e outro ascendente, sendo que cada ramo é formado por um segmento
26 espesso e outro delgado. O lúmen desta região do néfron é largo, pois a sua parede
27 é formada por um epitélio simples pavimentoso. Sua função é criar um gradiente de
28 hiper osmolaridade no interstício medular, que influencia a concentração da urina, à
29 medida em que passa pelos ductos coletores (ALLEN, 2008; ROSS, PAWLINA, 2016;
30 RADI, 2019).

31 Após um curto trajeto na região cortical, o segmento espesso da alça de Henle
32 torna-se tortuoso e constitui o túbulo contorcido distal. As células dos túbulos distais
33 apresentam invaginações da membrana basolateral, onde se encontram inúmeras
34 mitocôndrias. Além disso, estas células apresentam receptores para aldosterona, que

1 atuam aumentando a reabsorção de Na⁺ e de água, bem como a secreção de K⁺ para
2 o ultrafiltrado, com consequente elevação do volume sanguíneo e da pressão arterial.
3 Neste local, também ocorre a reabsorção de íons bicarbonato, com secreção
4 concomitante de íons hidrogênio, levando a uma maior acidificação da urina.
5 (GARTNER; HIATT, 2017; JUNQUEIRA; CARNEIRO, 2017; VERSCHUREN et al.,
6 2020).

7 Ao passar dos túbulos contorcidos distais para os túbulos coletores, a urina
8 desemboca em tubos mais calibrosos, os ductos coletores, que se dirigem em direção
9 às papilas renais. Em sua extensão, os túbulos coletores são formados por células
10 pobres em organelas, porém repletas de pequenas mitocôndrias e vários canais de
11 água, regulados pelo hormônio antidiurético. Desta forma, estes canais realizam a
12 reabsorção de água, e contribuem diretamente para mudança de concentração da
13 urina (JUNQUEIRA; CARNEIRO, 2017; NAWATA; PANNABECKER, 2018).

14

15 **2.1.2 Aspectos histofisiológicos do fígado**

16 O fígado é anatomicamente dividido em quatro lobos: direito, esquerdo,
17 quadrado e caudado; apresenta superfície superior convexa e uma reentrância em
18 sua região inferior, onde está localizada o hilo hepático (GARTNER, 2017; DANGELO;
19 FATINI, 2007). Esta região é o local de entrada da veia porta e das artérias hepáticas
20 (direita e esquerda), e saída do ducto biliar, de vasos linfáticos e da veia hepática
21 (GARTNER, 2017; ROSS; PAWLINA, 2016).

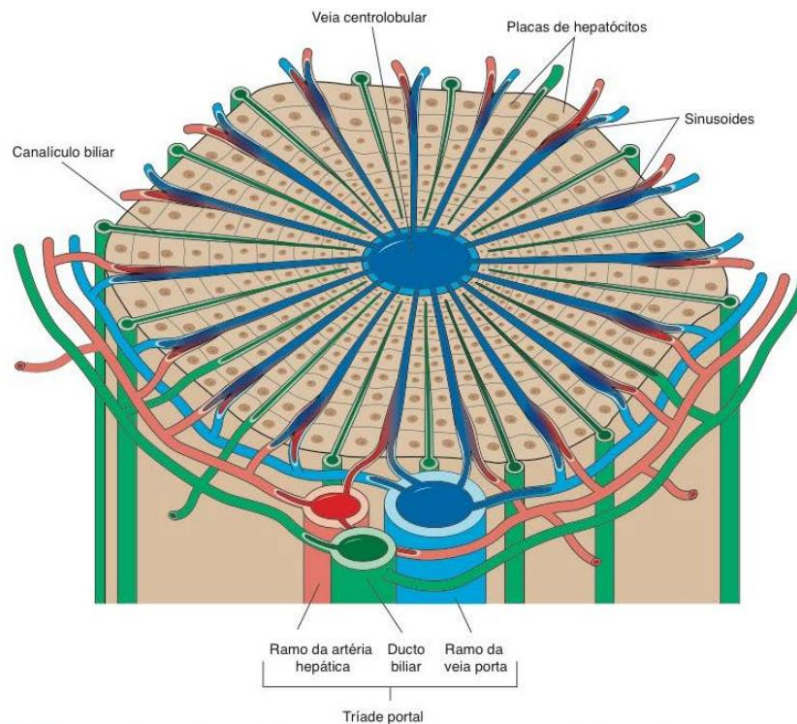
22 O fígado participa do metabolismo proteico, com a produção de proteínas
23 plasmáticas (albumina, globulina e fibrinogênio) e síntese de aminoácidos não
24 essenciais (AIRES, 2012). Também participa do metabolismo dos ácidos graxos, do
25 colesterol, de carboidratos, da síntese de ureia, de corpos cetônicos e é responsável
26 pela produção da bile, que posteriormente será armazenada na vesícula biliar
27 (KARANTH et al., 2018). Além disso, é capaz de inativar diversos hormônios, como a
28 cortisona, a adrenalina e a noradrenalina. Também armazena substâncias como ferro,
29 hemoglobina e vitaminas (JUNQUEIRA; CARNEIRO, 2017).

30 O fígado apresenta irrigação sanguínea dupla, uma vez que aproximadamente
31 70 a 80% do sangue que chega ao órgão provém da veia porta, e o restante através
32 da artéria hepática (GUICCIARDI et al., 2013; MATHEW; VENKATESH, 2018). Estes
33 vasos ramificam-se em estruturas de menor calibre: as vênulas portas interlobulares
34 e as arteríolas hepáticas interlobulares, responsáveis por irrigarem os hepatócitos

1 através de uma rede de capilares sinusoides. O sangue, então, é drenado às vênulas
 2 centrolobulares para que possa desembocar na veia cava inferior, alcançando outras
 3 regiões do organismo. (ROSS, PAWLINA, 2016; JUNQUEIRA; CARNEIRO, 2017;
 4 MAK; PNG, 2020).

5 O fígado é constituído por lóbulos (Fig. 2). Estas estruturas apresentam
 6 formatos poliédricos adjacentes, contendo uma vênula em posição central,
 7 denominada centrolobular e espaços-porta nos vértices. Os hepatócitos ficam
 8 dispostos em forma de cordões entre os espaços-porta e as vênulas centrolobulares,
 9 e por entre eles passam os capilares sinusoidais (KIERSZEMBAUM, 2004; ROSS,
 10 PAWLINA, 2016; KRUEPUNGA et al., 2019; MAK; PNG, 2020). Estes capilares
 11 possuem uma camada de células endoteliais fenestradas, separadas dos cordões de
 12 hepatócitos por um espaço conhecido como espaço de Disse, onde ocorre as trocas
 13 entre o sangue e estas células (ROSS, PAWLINA, 2016; JUNQUEIRA; CARNEIRO,
 14 2017; WANG et al., 2017).

15
 16
 17 **Figura 2.** Representação da estrutura do lóbulo hepático



18
 19 **Fonte:** JUNQUEIRA; CARNEIRO (2017).

20
 21 Os hepatócitos constituem a unidade morfofuncional do fígado e representam
 22 cerca de 80% da população de células deste órgão. Por serem células muito ativas

1 metabolicamente, apresentam núcleo grande e arredondado e citoplasma rico em
2 organelas, com abundante retículo endoplasmático liso e rugoso e grande quantidade
3 de mitocôndrias (LOWE; ANDERSON, 2015; JUNQUEIRA; CARNEIRO, 2017; WANG
4 et al., 2017).

5 Os hepatócitos são capazes de degradar toxinas e xenobióticos, além de
6 possuírem grande diversidade de enzimas responsáveis pelo metabolismo de
7 fármacos. Estas enzimas modificam quimicamente os compostos, tornando-os
8 inativos e facilitando a excreção. Esse processo é denominado biotransformação e
9 ocorre em duas fases (GEBHARDT; MATZ-SOJA, 2014). A fase I ou fase de
10 oxidação/redução ocorre no retículo endoplasmático liso e nas mitocôndrias dos
11 hepatócitos. Consiste em processos de oxidação e redução que modificam a estrutura
12 química. A reação oxidativa mais frequente é a hidroxilação (adição de um grupo
13 hidroxila). Estas reações bioquímicas envolvem uma família de proteínas conhecidas
14 como citocromo P450. A fase II ou fase de conjugação/hidrólise consiste na hidrólise
15 ou conjugação do fármaco com moléculas grandes e polares, como o glicuronato, o
16 sulfato, a glutathione e o acetato. Estas duas fases têm o objetivo de tornar os
17 compostos hidrossolúveis para que os rins possam excretá-los (GOLAN, 2009;
18 GEBHARDT; MATZ-SOJA, 2014).

19 No parênquima hepático, podem ser identificadas as células de Kupffer,
20 macrófagos residentes que se situam na superfície das células endoteliais dos
21 sinusoides, suas principais funções são realizar a fagocitose e a imunorregulação.
22 Além disso, existem as células de Ito, responsáveis por realizarem o armazenamento
23 de vitamina A. No entanto, em situações de doença hepática estas células se
24 diferenciam e apresentam características de miofibroblastos, dando início à síntese
25 de colágeno e promovendo a manutenção da fibrose no órgão. (ROSS; PAWLINA,
26 2016; JUNQUEIRA; CARNEIRO, 2017).

27

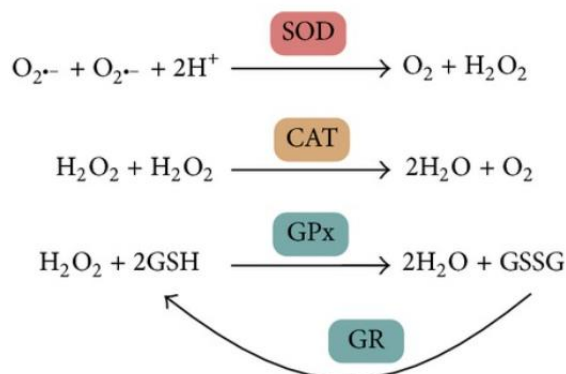
28 **2.1.3 Estresse oxidativo**

29 A geração de radicais livres constitui, um processo contínuo e fisiológico, que
30 está associado a funções importantes no organismo. Durante os processos
31 metabólicos, esses radicais atuam como mediadores para a transferência de elétrons
32 em diversas reações bioquímicas. Sua produção, em proporções adequadas,
33 possibilita a síntese de ATP, por meio da cadeia transportadora de elétrons;
34 fertilização do ovócito II; ativação de genes e participação de mecanismos de defesa

1 durante o processo de infecção. No entanto a produção excessiva pode promover
2 danos oxidativos nos tecidos afetados (BARBOSA et al., 2010).

3 O organismo humano sofre ação constante das espécies reativas de oxigênio
4 (ERO), sendo que as principais se distribuem em dois grupos, os radicalares: hidroxila
5 ($\text{HO}\cdot$), superóxido ($\text{O}_2^{\bullet-}$), peroxila ($\text{ROO}\cdot$) e alcoxila ($\text{RO}\cdot$); e os não-radicalares:
6 oxigênio, peróxido de hidrogênio e ácido hipocloroso. Dentre estes elementos, alguns
7 podem ser reativos nos tecidos, promovendo alterações em lipídios, proteínas e DNA
8 (CZERSKA et al., 2015; PIZZINO et al., 2017). A contínua produção de ERO durante
9 os processos metabólicos promove o desenvolvimento de mecanismos de defesa
10 antioxidante em nosso organismo, os quais são compostos pelo sistema enzimático e
11 sistema não-enzimático. O sistema enzimático (Fig. 3) é composto pela Superóxido
12 Dismutase (SOD), Catalase (CAT) e Glutathiona Peroxidase (GPx). Além disso, o
13 sistema não-enzimático inclui compostos de origem dietética, como vitaminas,
14 minerais e compostos fenólicos. Estes mecanismos, apresentam o objetivo de limitar
15 os níveis intracelulares desses elementos oxidantes e controlar os possíveis danos
16 causados por estas moléculas. O início do processo de estresse oxidativo decorre da
17 existência de um desequilíbrio entre compostos oxidantes e antioxidantes, em favor
18 da geração excessiva de ERO ou em detrimento da velocidade de remoção dos
19 mesmos. Este processo conduz à oxidação de biomoléculas com conseqüente perda
20 de suas funções biológicas ou desequilíbrio homeostático, cuja manifestação é o dano
21 oxidativo potencial contra células e tecido (BARBOSA et al., 2010; PENG et al., 2014;
22 PIZZINO et al., 2017).

23
24 **Figura 3.** Sistema de defesa enzimático



25
26 **Fonte:** PENG et al., (2014)
27

2.2 Malation

2.2.1 Características gerais

Durante os últimos 70 anos, os agrotóxicos são utilizados na lavoura com o objetivo de melhorar a produtividade, minimizando as perdas causadas por pragas (OZSOY et al., 2016). No entanto, sua utilização não é totalmente segura, uma vez que os resíduos dos agrotóxicos contaminam fontes de água, devido ao escoamento de campos agrícolas e efluentes industriais, alterando de forma direta ou indiretamente a flora e a fauna aquática, causando eventualmente efeitos tóxicos à saúde humana (ULLAH et al., 2018). Em razão do manuseio inadequado do produto, os trabalhadores rurais também são expostos aos danos causados pelos agrotóxicos, através das vias dérmicas, respiratórias ou orais (MUÑOZ-QUEZADA et al., 2014). De acordo com o Sistema Nacional de Informações Tóxico-Farmacológicas (SINITOX), em 2017 foram registrados 3.379 casos de intoxicação pelo uso de agrotóxicos, tanto no meio agrícola quanto doméstico, com indivíduos entre trinta e trinta e nove anos de idade constituindo a faixa etária mais comprometida, representando um contingente de 15,86% do total. Em seguida estão os indivíduos entre 20 a 29 anos, com uma porcentagem de 15,62% (SINITOX, 2020).

Os organofosforados são compostos sintéticos, insolúveis em água, e amplamente utilizados na agricultura como inseticidas devido ao seu baixo custo e sua grande efetividade no controle de pragas agrícolas (VIJAYA KUMAR et al., 2010). Sua degradação ocorre de maneira rápida em condições naturais, sendo considerado uma boa alternativa para praguicidas organoclorados, conhecidos pelos seus efeitos tóxicos para o meio ambiente devido ao fenômeno da bioacumulação (SELMÍ et al., 2018; SIDHU et al., 2019).

No entanto, mesmo sendo utilizados amplamente nas plantações, os organofosforados são extremamente nocivos para o organismo, sendo responsáveis pelo maior número de intoxicações do que qualquer outra classe de agrotóxicos. Seu processo de toxicidade decorre da inibição da acetilcolinesterase, enzima responsável por hidrolisar a acetilcolina nas sinapses colinérgicas e nas junções neuromusculares através de ligação covalente de radicais de fosfato com o sítio ativo da enzima. Sua inibição promove o acúmulo de acetilcolina e resulta na estimulação exacerbada de receptores colinérgicos, muscarínicos e nicotínicos, tanto nos músculos, como no sistema nervoso central, periférico e autônomo. Esta exposição causa uma ampla

1 gama de manifestações tóxicas colinérgicas, podendo promover o bloqueio da ação
2 neuromuscular (SOLTANINEJAD; ABDOLLAHI, 2009; SIDHU et al., 2019). Além
3 destas alterações, a exposição aos organofosforados induz a produção de espécies
4 reativas de oxigênio (ERO), favorecendo o processo de peroxidação lipídica e a
5 degradação de fosfolipídios (MEHRI et al., 2016).

6 No corpo humano, diversos órgãos podem ser acometidos pela toxicidade dos
7 organofosforados e isto ocorre devido às suas propriedades lipofílicas e à sua rápida
8 assimilação intestinal. Dentre as alterações, podem ser citados o comprometimento
9 do sistema imunológico, o desenvolvimento de pancreatite, de doença hepática,
10 distúrbios hematológicos, doença renal, diminuição da fertilidade e problemas no
11 sistema nervoso (SELMÍ et al., 2018).

12 Diversos inseticidas estão presentes no grupo dos organofosforados, como o
13 Clorpirifós, o Diazinon e o malation, os quais vêm ganhando muita atenção devido a
14 sua grande utilização na agricultura. O Clorpirifós, um dos praguicidas mais
15 amplamente utilizados no mundo devido ao seu baixo custo e sua alta eficácia contra
16 insetos e pragas (SANDOVAL et al., 2019). Assim como, o Diazinon um
17 organofosforado comum, altamente tóxico e amplamente utilizado para o controle de
18 pragas no meio ambiente. (DEGHANI et al., 2019) Durante anos, foi um dos
19 inseticidas mais utilizado nos EUA para controle de pragas residenciais e agrícolas
20 (USEPA, 2008).

21 O malation, por sua vez, é um inseticida não sistêmico de amplo espectro da
22 classe dos organofosforados. Introduzido na década de 1950, tornou-se
23 mundialmente conhecido pela sua efetividade no controle de pragas, sendo um dos
24 praguicidas mais utilizados na lavoura, além de ser um dos primeiros inseticidas
25 amplamente utilizados no campo, na veterinária e na indústria (ESPINOZA-
26 NAVARRO; PONCE-LAROSA; BUSTOS-OBREGÓN, 2017; ULLAH et al., 2018).
27 Derivado do ácido ditiofosfórico o malation é considerado pouco tóxico (pertencente
28 a classe III dos organofosforados), o que reforça a sua ampla utilização (BACONI et
29 al., 2013). No entanto, seu uso generalizado leva à poluição ambiental e aumenta a
30 extensão dos danos, permitindo que diversos indivíduos sejam expostos através de
31 diferentes meios (JENSEN; WHATLING, 2010).

32 Sua absorção ocorre rapidamente pelo organismo, através da ingestão de água
33 e alimentos contaminados, contato com a pele e exposição respiratória por meios
34 ocupacionais e não ocupacionais (OZSOY et al., 2016). Posteriormente, o organismo

1 realiza a biotransformação deste composto, que será eliminado, principalmente,
2 através da urina (76 – 88%), bem como pelas fezes, em menor quantidade (7 – 11%).
3 O malation e os seus metabólitos acumulam em quantidades extremamente baixas
4 nos tecidos (menor que 1%), principalmente no fígado, pele e trato gastrointestinal.
5 Sugere-se que a metabolização deste composto ocorra pelas carboxilesterases
6 plasmáticas. Desta forma, o processo de metabolização é caracterizado pela hidrólise
7 das ligações éster para formar o ácido monocarboxílico do malation e o malation
8 dicarboxílico (JENSEN; WHATLING, 2010). Posteriormente, estes compostos quando
9 em baixas concentrações, são catalisados pelas enzimas hepáticas do citocromo
10 P450, tanto a CYP1A2, como a 2B6. No entanto, quando em altas concentrações, há
11 também a atuação da CYP3A4 (BURATTI; TESTAI, 2006). Estes membros do
12 citocromo P450 são responsáveis por formar o malaoxon, considerado 40 vezes mais
13 tóxico do que o próprio malation (JENSEN; WHATLING, 2010).

14 Após as carboxilesterases metabolizarem o malation, tanto o ácido
15 monocarboxílico como o ácido dicarboxílico, competem com o malaoxon pelo
16 citocromo P-450. Sendo assim, um fator que agrava a toxicidade relacionada a este
17 inseticida, é a presença de diversos contaminantes nas formulações comerciais de
18 malation, que muitas vezes atuam como potentes inibidores das carboxilesterases,
19 mudando assim o equilíbrio para um aumento significativo na formação de malaoxon
20 (BURATTI; TESTAI, 2006).

21 Diversos estudos apontam que a toxicidade do malation esteja relacionada com
22 a disfunção de vários órgãos, como rim (JALILI et al., 2018), fígado (ESEN; UYSAL,
23 2018), pâncreas (EKREMOĞLU et al., 2020), testículos (MORIDI et al., 2018) e
24 cérebro (SÁNCHEZ-SANTED; COLOMINA; HERRERO HERNÁNDEZ, 2016).
25 Algumas das características destas alterações são: inibição da acetilcolinesterase,
26 estresse oxidativo, indução de resposta inflamatória, apoptose, genotoxicidade e
27 imunomodulação. No entanto, a toxicidade depende de vários fatores, como a
28 duração, o nível e o meio em que ocorreu a exposição, além do estado de saúde e a
29 idade do indivíduo (LIU; ERIN, 2014; SÁNCHEZ-SANTED; COLOMINA; HERRERO
30 HERNÁNDEZ, 2016; BADR, 2020).

31 Como o principal mecanismo relacionado aos efeitos tóxicos do malation é a
32 inibição da acetilcolinesterase (ESEN; UYSAL, 2018), na intoxicação aguda, os
33 sintomas mais característicos estão associados à excitação dos receptores
34 muscarínicos, causando salivação, lacrimejamento, micção e defecação, dispneia,

1 vômito e bradicardia. Outros sintomas, porém, relacionados ao tecido muscular
2 também podem ocorrer e são provocados pela estimulação excessiva dos receptores
3 nicotínicos, proporcionando fraqueza muscular, tremores, rigidez, convulsões,
4 paralisia e em alguns casos depressão respiratória (KWONG, 2002; TAKAHASHI;
5 HASHIZUME, 2014).

6 Recentemente foi descrito que o estresse oxidativo é um dos principais fatores
7 envolvidos nos efeitos tóxicos causados pela exposição ao malation. Isto ocorre,
8 devido a suas características lipofílicas, que permitem que o inseticida interaja com a
9 bicamada lipídica presente nas membranas celulares, causando distúrbios estruturais,
10 peroxidação lipídica e induza a produção de espécies reativas de oxigênio (OZSOY
11 et al., 2016). Além disso, o malation pode prejudicar ou diminuir as defesas
12 antioxidantes celulares, como a glutatona reduzida (GSH) e a superóxido dismutase
13 (SOD), causando alterações no equilíbrio redox do organismo (FRANCO et al., 2009).

14 Em razão das ERO afetarem diretamente a integridade das membranas,
15 alterações no funcionamento mitocondrial podem ocorrer, bem como a indução da
16 oxidação de moléculas, como proteínas e DNA (AGARWAL; SAID, 2005; FOUAD;
17 BADR; ATTIA, 2019).

18 O período peripuberal é um importante marco no desenvolvimento pós-natal de
19 vários órgãos do organismo. Assim, ele corresponde a uma janela para a ação de
20 efeitos de xenobióticos sobre o desenvolvimento pós natal do indivíduo, de modo que
21 o desenvolvimento de órgãos pode ser alterado (OJEDA et al., 1980). É conhecido
22 que o malation altera o desenvolvimento pós natal em modelos experimentais (SELM
23 et al., 2018; ERTHAL et al., 2020). Considerando a teoria DOHAD (Developmental
24 Origins of Health and Disease) a qual estuda o papel da exposição pré-natal e
25 perinatal a fatores ambientais, como desnutrição, na determinação do
26 desenvolvimento de doenças (SILVEIRA et al., 2007), tem-se o malation como um
27 potencial fator interferente neste período.

28

29 **2.2.2 Toxicidade renal e hepática relacionada ao malation**

30 Dentre os diversos tecidos afetados pelo malation, os rins são um dos principais
31 órgãos acometidos pela sua toxicidade. Dentre as alterações promovidas pelo
32 inseticida, são identificadas aumento das dosagens de ureia e creatinina, que
33 sugerem insuficiência tubular renal e filtração glomerular deficiente (ZIDAN, 2015;
34 KHALIFA; ALKHALAF, 2020). Segundo o estudo de caso conduzido por YOKOTA et

1 al., (2017), após a exposição ao malation, ocorreram esclerose glomerular, inchaço
2 dos podócitos e das células epiteliais da cápsula de Bowman, dilatação irregular dos
3 túbulos contorcidos distais, artérias interlobulares com acentuado espessamento
4 fibroso da túnica íntima e edema endotelial focal, caracterizando o processo de
5 necrose tubular aguda.

6 Também foi relatada degeneração dos glomérulos, das cápsulas de Bowman e
7 das estruturas dos túbulos renais, com diminuição no tamanho dos glomérulos, e
8 aumento do espaço de Bowman. Além disso, mudanças nas concentrações
9 plasmáticas de ácido úrico foram apontadas, decorrentes de alterações em sua
10 reabsorção nos túbulos proximais do néfron (SELMI et al., 2018).

11 Além disso, alterações devidas ao estresse oxidativo também foram
12 identificadas, similares aos dados descritos para o fígado. Assim, a exposição ao
13 malation causa diminuição da expressão no mRNA de GPx-3 nos rins (SELMI et al.,
14 2018), redução nas concentrações da catalase, GSH, Glutathione Peroxidase e SOD,
15 o que colabora para uma diminuição no balanço antioxidante deste órgão e possibilita
16 o aumento das espécies reativas de oxigênio, favorecendo o processo de peroxidação
17 lipídica. Mudanças nos padrões histológicos também foram encontradas, como
18 alterações degenerativas renais, incluindo inchaço turvo, descamações celulares,
19 bem como inchaço e pleomorfismo mitocondrial (AL-ATTAR, 2010; COBAN et al.,
20 2015).

21 O fígado também é afetado pela toxicidade proveniente da exposição ao
22 malation. Diversos estudos apontam que a exposição a este inseticida causa danos,
23 sendo que os achados mais comuns são o aumento da atividade das enzimas
24 hepáticas, aspartato aminotransferase (AST) e alanina aminotransferase (ALT), assim
25 como alterações nas concentrações dos fatores oxidantes e antioxidantes (LASRAM
26 et al., 2014; MEHRI et al., 2016; ABOUBAKR et al., 2019; GUPTA et al., 2020).

27 Ratos *Wistar* machos adultos expostos a 150 mg/kg de malation por 1 semana
28 tiveram aumento da peroxidação e esse aumento foi relacionado com a produção
29 excessiva de ERO. Em razão do processo de lipoperoxidação prejudicar a integridade
30 das membranas celulares, sua interação com as células ocasiona na liberação de
31 enzimas citoplasmáticas, que promovem o recrutamento de células inflamatórias e,
32 consequentemente iniciam o processo de inflamação local. Além destas alterações,
33 também foram encontradas mudanças nas concentrações plasmáticas de AST e ALT,
34 que estavam aumentadas após a exposição ao inseticida (MEHRI et al., 2016).

1 Referente aos achados histológicos, o estudo, de ABDEL-SALAM et al., (2018)
2 utilizando a dose de 150 mg/kg de malation em ratos *Sprague–Dawley* machos
3 adultos, com eutanásia quatro horas após sua administração, identificou diversas
4 alterações estruturais, como dilatação das veias porta e sinusoides, sinais de
5 degeneração vacuolar, cariólise, cariorrexe, picnose e focos necróticos.

6 Semelhante a estes dados, em outro estudo utilizando ratos *Sprague–Dawley*
7 machos adultos, com a dose de 40 mg/kg e eutanasiados ao término da
8 administração, foram identificados congestão das veias centro lobulares, infiltrados
9 inflamatórios e degeneração hidrópica (NUR et al., 2018). Do mesmo modo, foram
10 identificados efeitos similares no estudo de AL-ATTAR., (2010) o qual utilizou a dose
11 de 100 mg/kg de malation diariamente durante o período de um mês em ratos *Wistar*
12 machos.

13 Além destes fatores, há um aumento expressivo da inflamação hepática, que
14 se dá através da expressão de algumas citocinas como interferon- γ , interleucina 1- β ,
15 fator de necrose tumoral- α e fator nuclear- κ B (NF- κ B). Estes mediadores promovem
16 o recrutamento e ativação de células do sistema imune, podendo provocar lesões
17 hepáticas, como esteatose e apoptose (FUJII; KAWADA, 2012; LASRAM et al., 2014;
18 INCE et al., 2017).

19 Além destas alterações, redução nas concentrações plasmáticas de albumina
20 também foi descrita em roedores expostos ao malation, sugerindo possível alteração
21 no metabolismo de proteínas e aminoácidos em ratos *Wistar* machos adultos (AKBEL
22 et al., 2018). Também foram encontradas alterações no metabolismo de lipídios,
23 sendo caracterizadas pelo aumento do colesterol total, da lipoproteína de baixa
24 densidade (LDL) e dos triglicerídeos, bem como pela redução da lipoproteína de alta
25 densidade (HDL).

26 27 **2.3 Ciclosporina A**

28 29 **2.3.1 Características gerais**

30 A ciclosporina A (CsA) é conhecida por ser um undecapeptídeo cíclico lipofílico
31 neutro isolado a partir do fungo *Tolypocladium inflatum* (BEAUCHESNE; CHUNG;
32 WASAN, 2007). Sua descoberta ocorreu em 1976 durante um estudo que buscava
33 novas substâncias antibióticas. Primeiramente, foi utilizada com um amplo espectro
34 de atividades biológicas, incluindo efeitos antiparasitários, fungicidas e anti-

1 inflamatórios. No entanto, em estudos posteriores foi descoberto ser um poderoso
2 agente imunossupressor (BOREL et al., 1994). Dentre as diversas variações que a
3 ciclosporina possui, a CsA é uma das mais conhecidas e utilizadas. Este medicamento
4 faz parte de um grupo de imunossupressores inibidores da calcineurina, e a sua
5 principal função está associada à prevenção da rejeição de órgãos transplantados,
6 como rins, coração, pâncreas e fígado, levando à diminuição da morbidade (BOREL
7 et al., 1994; FLORES et al., 2019; MOON; KIM, 2019). Além disso, a CsA também é
8 utilizada como tratamento de diversas doenças autoimunes, como psoríase, síndrome
9 nefrótica idiopática e artrite reumatoide (KOROLCZUK et al., 2013; ZHU et al., 2016).
10 Sua atividade celular é restrita a um subconjunto de células T e, como resultado, é um
11 forte inibidor da inflamação crônica, não apresentando efeito na inflamação aguda
12 mediada pelo sistema imunológico (BOREL et al., 1996).

13 A CsA atua no organismo ao se ligar em seu alvo endógeno (SCHREIBER;
14 CRABTREE, 1992), uma proteína presente no citosol, denominada ciclofilina. Seu
15 mecanismo de ação ocorre, devido à formação de um complexo de alta afinidade, que
16 age através da inibição da calcineurina (COLOMBO; AMMIRATI, 2011).

17 A calcineurina, ou proteína fosfatase 3, é um heterodímero, dependente de
18 Ca^{2+} , que apresenta duas subunidades. A subunidade “A”, considerada o centro
19 catalítico da enzima e a subunidade “B”, que regula a ligação com o Ca^{2+} . Ambas
20 estão fortemente ligadas e sofrem dissociação apenas por desnaturação ou em
21 situações extremas de baixa quantidade do Ca^{2+} , estando envolvida no crescimento
22 e desenvolvimento muscular e neuronal, na apoptose e no reparo do DNA (MUSSON;
23 SMIT, 2011).

24 Além disso, a calcineurina é essencial na produção de citocinas necessárias
25 para ativação do receptor das células T (TCR) (CAMPISTOL; SACKS, 2000). Estas
26 células são ativadas pelo reconhecimento de antígenos através TCR, gerando uma
27 cascata de sinalização que culmina na ativação da tirosina quinase. Desta forma,
28 permite fosforilar várias proteínas adaptadoras e enzimas situadas próximas ao TCR.
29 As proteínas adaptadoras se ligam e ativam fosfolipases, como a PLC Y. Este
30 processo, gera um subproduto denominado IP3, que por sua vez estimula a liberação
31 de Ca^{2+} do retículo endoplasmático (MUSSON; SMIT, 2011). O aumento na
32 concentração de Ca^{2+} no citosol culmina na abertura de canais na membrana
33 plasmática, promovendo influxo deste íon. Assim, o Ca^{2+} se liga à calmodulina,
34 formando um complexo que ativa a calcineurina. Esta fosfatase é responsável por

1 retirar o grupo fosfato do fator nuclear de células T ativadas, tornando possível sua
2 migração para o núcleo, onde irá ativar genes promotores de interleucina 2, um dos
3 fatores de crescimento de linfócitos T (ABBAS; LICHTMAN; PILLAI, 2015).

4 Sendo assim, ao ser administrada, a CsA liga-se à ciclofilina, seu receptor
5 citoplasmático e o complexo CsA-ciclofilina liga-se à calcineurina, inibindo sua
6 capacidade de desfosforilar fatores nucleares presentes no citosol, o que, por sua vez,
7 impede a produção de citocinas envolvidas no processo de ativação dos linfócitos T
8 (HO, 2004).

9 A CsA administrada por via oral apresenta baixa absorção, que ocorre
10 principalmente no intestino delgado, nas regiões do jejuno e íleo (BEAUCHESNE;
11 CHUNG; WASAN, 2007). Este medicamento apresenta o efeito de primeira passagem
12 de aproximadamente 59% e sua biodisponibilidade de cerca de 30% em pacientes
13 saudáveis. Sua concentração máxima no sangue pode ser encontrada em 1 até 8
14 horas após a administração oral (FAULDS; GOA; BENFIELD, 1993).

15 A concentração plasmática máxima de CsA é de 240 a 1,250 ug/ml, atingida
16 entre 2 a 4 h após a administração oral de uma dose de 600 mg (BLOCK; SUTTER;
17 MIHATSCH, 1983). Sua distribuição ocorre rapidamente entre os componentes
18 sanguíneos, onde 58% está presente nos eritrócitos, 5% ligado aos linfócitos, 4% aos
19 granulócitos e 33% à fração plasmática, ligando-se principalmente as lipoproteínas
20 (BEAUCHESNE; CHUNG; WASAN, 2007). Deste modo, este medicamento se
21 correlaciona com os níveis teciduais de ciclofilina e lipídios, apresentando
22 concentrações maiores nos órgãos ricos em leucócitos e em órgãos com quantidade
23 acentuada de tecido adiposo (BLOCK; SUTTER; MIHATSCH, 1983).

24 Sua metabolização ocorre principalmente nos hepatócitos, através do
25 metabolismo de fase I pela subfamília CYP3A, um tipo de sistema do citocromo P450
26 (CYP450). Grande parte deste metabolismo será realizado a partir de dois membros
27 desta subfamília, a CYP3A4 e CYP3A5, presentes em grandes quantidades tanto no
28 fígado como no intestino (WANG et al., 2018).

29 A CsA é excretada principalmente por metabólitos, com menos de 1% sendo
30 fármaco inalterado. Sua liberação ocorre de maneira bifásica, sendo 6% eliminado na
31 urina e 70% a 80% eliminado nas fezes, uma vez que a sua principal via de excreção
32 se dá, através do sistema biliar, devido a CsA ser absorvida pelas micelas formadas
33 pela bile (LINDHOLM, 1991; BEAUCHESNE; CHUNG; WASAN, 2007).

2.3.2 Nefrotoxicidade induzida pela Ciclosporina A

Os danos renais causados pela exposição a CsA podem ser citados em duas formas distintas: a nefrotoxicidade aguda e a nefrotoxicidade crônica. A nefrotoxicidade aguda é caracterizada por alterações hemodinâmicas e ausência de lesão permanente nos tecidos, de modo que as células lesadas retornam ao estado normal com a diminuição ou parada na utilização do medicamento. Em relação à nefrotoxicidade crônica, sua principal característica é a fibrose intersticial progressiva dos rins, podendo progredir para doença renal crônica (BURDMANN et al., 2003).

As alterações hemodinâmicas identificadas na lesão aguda são caracterizadas pelo desequilíbrio nos mediadores de vasoconstrição renal. Este processo é caracterizado pela ativação do sistema renina-angiotensina, causando vasoconstrição arteriolar aferente intensa, diminuição do fluxo sanguíneo renal e na taxa de filtração glomerular (MURRAY; PALLER; FERRIS, 1985; BURDMANN et al., 2003; MOON; KIM, 2019; SHIROLIKAR et al., 2020). A ativação do sistema renina-angiotensina pode acontecer de duas formas, através de um efeito direto nas células justaglomerulares, aumentando a secreção de renina (KURTZ; DELLA BRUNA; KUHN, 1988), e de forma indireta através da vasoconstrição arterial e diminuição do fluxo plasmático renal (SHIROLIKAR et al., 2020).

O processo de vasoconstrição que ocorre pela exposição à CsA, pode ser acompanhado de hipóxia, e está associado ao aumento da expressão de endotelina - 1 (ET-1), um potente vasoconstritor, que exerce sua função na célula alvo por meio de dois receptores, ETA e ETB. A ativação do receptor ETA é o principal responsável pela vasoconstrição, proliferação celular, proteinúria e indução de fibrose renal. A enzima de conversão de endotelina (ECE -1), responsável por gerar a ET-1, sofre regulação positiva via fator induzível por hipóxia (HIF). Ou seja, a CsA atua aumentando a expressão de ET-1 diretamente, assim como contribuindo indiretamente para o aumento de ECE-1 devido a presença do HIF (CAIRES et al., 2018; HEYMAN et al., 2018).

Disfunções tubulares são uma das maiores manifestações da nefrotoxicidade aguda da CsA (ADU et al., 1983). Um dos mecanismos associado a estas alterações é o aumento da permeabilidade para o cloreto nos túbulos distais, o que propicia o aumento na reabsorção de íons e do volume de sangue dentro dos vasos. (KAMEL et al., 1992). Além disso, em um estudo utilizando células MDCK I, foi possível identificar que a CsA causa alterações na montagem das proteína presentes nas junções

1 comunicantes, e conseqüentemente altera a permeabilidade nos túbulos renais (LEE
2 et al., 2011).

3 Com relação à nefrotoxicidade crônica, alterações como fibrose intersticial e
4 glomerulosclerose podem ser identificadas. Estas alterações são observadas pela
5 presença de algumas características como: atrofia tubular, acúmulo de matriz
6 extracelular (MEC) e espessamento da membrana basal, o que resulta em perda da
7 função das estruturas renais (SLATTERY et al., 2005; ZHAO, 2019).

8 As células mesangiais renais ativadas são as principais produtoras de MEC
9 glomerular, e são essenciais para a plasticidade estrutural (DE CHIARA et al., 2017).
10 No entanto, a exposição à CsA pode induzir a ativação destas células através da
11 cascata de sinalização profibrogênica TGF- β /Smad, causando elevada produção de
12 fibras colágenas (AKOOL et al., 2012).

13 Um outro fator associado à fibrose renal é o processo de transição epitelial-
14 mesenquimal (TEM), caracterizado pela perda de características celulares, como a
15 polaridade apical-basal, ligação célula-célula e marcadores epiteliais dos túbulos
16 renais (SCHELLING, 2016). As células que passam por esta mudança fenotípica,
17 produzem uma quantidade excessiva de componentes da matriz extracelular,
18 influenciando diretamente o processo de fibrose renal (SLATTERY et al., 2005; LIU et
19 al., 2017). Estudos apontam que a CsA pode aumentar a secreção de TGF- β 1
20 (WAISER et al., 2002; CHEN et al., 2019), e mediar o processo de TEM, por estimular
21 a síntese de componentes da matriz extracelular e reduzir a produção de colagenase
22 (WOLF, 2006).

23

24 **2.3.3 Hepatotoxicidade induzida pela Ciclosporina A**

25 A CsA é um dos medicamentos mais importantes relacionados a agentes
26 imunossupressores para transplantes de órgãos e doenças autoimunes. No entanto,
27 diversos efeitos tóxicos para o organismo são identificados, os quais acometem
28 principalmente o fígado e os rins (HAGAR, 2004; LEE et al., 2011; DE ARRIBA et al.,
29 2013; KOROLCZUK et al., 2013; MOON; KIM, 2019).

30 Os danos hepáticos são, caracterizados por alterações estruturais e funcionais
31 (HAGAR, 2004; KOROLCZUK et al., 2013; AKOOL, 2015). Com relação às alterações
32 estruturais, podem ser destacados: a presença de degeneração hidrópica, focos
33 necróticos, perda de organelas e diminuição dos espaços sinusoidais. Também foram
34 encontrados focos de congestão tecidual, edema dos tratos portais, alargamento do

1 seio hepático, ativação das células de Kupffer, infiltrado inflamatório, hiperplasia do
2 ducto biliar e redução do glicogênio intracelular (YÜCE; ATEŞŞAHIN; ÇERİBAŞI,
3 2008; AHMED FETOUH; AL SHAHAT, 2013). No entanto, muitas destas alterações
4 foram encontradas principalmente quando os animais são expostos à altas doses de
5 CsA, visto que a sua toxicidade é dose-dependente (BINGUL et al., 2019).

6 As alterações funcionais estão relacionadas com o aumento dos níveis séricos
7 de transaminases hepáticas, fosfatase alcalina, colestase, aumento da produção de
8 sais biliares e comprometimento da secreção de lipídios (DE FREITAS et al., 2015;
9 KOROLCZUK et al., 2016). Além disso, também são identificados aumento na
10 atividade da gama-glutamil transferase (GGT), bilirrubina total (TBIL) e colesterol total
11 (LEE et al., 2019).

12 O aumento da GGT indica que a exposição à CsA causa lesões do trato biliar,
13 e um alto nível de TBIL pode indicar doença hepática e bloqueio dos dutos biliares.
14 Estes danos estão envolvidos no desenvolvimento de um estado hipermetabólico e
15 estão relacionados com a inibição do transporte de bilirrubina e sais biliares através
16 das membranas dos hepatócitos (LEE et al., 2019).

17 O mecanismo exato que leva ao processo de hepatotoxicidade pela CsA não é
18 totalmente conhecido. No entanto, diversos estudos apontam que o estresse oxidativo
19 seja um dos principais fatores envolvidos (WOLF et al., 1997; HAGAR, 2004; AKOOL,
20 2015).

21 Alterações mitocondriais estão entre as principais mudanças causadas pelo
22 estresse oxidativo, e ocorrem devido exposição prolongada à CsA. Este processo,
23 induz o aumento de Ca^{2+} no interior das mitocôndrias, levando à produção de espécies
24 reativas de oxigênio (ERO), causando inibição do metabolismo de glicose e a
25 produção de ATP (KOROLCZUK et al., 2016). Outro fator que está associado com a
26 hepatotoxicidade é o aumento na atividade da caspase 3. Vários estudos apontam
27 que estas alterações ocorrem, em razão da despolarização das membranas
28 mitocondriais, promovendo a liberação do citocromo c pró-apoptótico e a proteína
29 Smac / Diablo. Este mecanismo ocorre, devido abertura de poros de transição de
30 permeabilidade mitocondrial causados pela exposição a CsA, dando início ao
31 processo de apoptose nos hepatócitos (RONCHI; VERCESI; CASTILHO, 2011;
32 KOROLCZUK et al., 2016).

34 **2.3.4 Estresse oxidativo nos rins e fígado**

1 Diversos artigos apontam que os danos causados pela CsA, tanto nos rins
2 como no fígado, estão diretamente relacionados com a produção de espécies reativas
3 de oxigênio (ERO) (HAGAR, 2004; AKOOL, 2015; BALAH; EZZAT; AKOOL, 2018;
4 YOUSEF et al., 2020).

5 Para evitar que estas alterações aconteçam, as células possuem mecanismos
6 associados ao uso de enzimas antioxidantes, sendo que os principais são, a catalase,
7 a superóxido dismutase (SOD) e a glutathiona (GSH). A catalase é uma enzima
8 antioxidante que promove a decomposição do H_2O_2 , que pode formar um radical
9 hidroxila altamente reativo na presença do ferro. Em relação a GSH e a GSH-Px,
10 ambas convertem o H_2O_2 e peróxidos lipídicos em produtos que não são lesivos para
11 a célula. A superóxido dismutase (SOD), é a primeira enzima de desintoxicação e o
12 antioxidante mais poderoso da célula. Seu papel é atuar no sistema de defesa de
13 primeira linha contra espécies reativas do metabolismo do oxigênio (ERO).
14 Responsável por catalisar a dismutação de duas moléculas de ânion superóxido, ($*O_2$)
15 em peróxido de hidrogênio (H_2O_2) e oxigênio molecular (O_2), conseqüentemente
16 tornando o ânion superóxido menos prejudicial para o organismo (IGHODARO;
17 AKINLOYE, 2018).

18 A atividade reduzida destes sistemas, devido aos efeitos causados pela
19 exposição a CsA, induz o processo de estresse oxidativo o qual pelo aumento da
20 peroxidação lipídica pode induzir o processo de hepatotoxicidade e nefrotoxicidade
21 (KOWALTOWSKI; CASTILHO; VERCESI, 2001; HAGAR, 2004).

22 As ERO estão associadas a vários danos nos túbulos renais, como em casos
23 de isquemia, glomerulonefrite e obstrução uretral. Um dos precursores para estas
24 alterações é o H_2O_2 , considerado um importante mediador de lesão oxidativa. Estudos
25 utilizando culturas de células apontaram que a CsA aumenta a morte celular
26 apoptótica e necrótica, através da presença de H_2O_2 nas células epiteliais dos túbulos
27 proximais (MOON; KIM, 2019). Foi identificado que a CsA induz a síntese de ERO,
28 causando redução do potencial de membrana mitocondrial e formação de poros de
29 transição de permeabilidade. Este processo induz a liberação do citocromo c,
30 acompanhado da ativação das caspase-9 e 3, levando ao processo de morte celular
31 (KOWALTOWSKI; CASTILHO; VERCESI, 2001; RONCHI; VERCESI; CASTILHO,
32 2011; DE ARRIBA et al., 2013; YU et al., 2016). Junto a este fator, quando em baixas
33 concentrações de NAD^+ intracelular e na presença dos poros de transição de
34 permeabilidade a enzima nuclear PARP-1 pode provocar a morte celular (ALANO;

1 YING; SWANSON, 2004). A exposição à CsA também pode induzir o estresse
2 oxidativo no retículo endoplasmático, causando alterações no dobramento de
3 proteínas (PALLET et al., 2008; CHONG; SHASTRI; ERI, 2017).

4 Os danos encontrados no fígado, referente ao estresse oxidativo estão
5 diretamente relacionados à peroxidação lipídica e ao aumento de seus produtos,
6 malondialdeído (MDA) e 4-hidroxiacetonas (4HAE). Este processo, promove
7 alterações mitocondriais, as quais resultam em redução na produção de ATP
8 (KOROLCZUK et al., 2016).

9 O tratamento utilizando a CsA além de aumentar os níveis de oxidantes,
10 também age diminuindo os níveis de antioxidantes. Desta forma, os rins e o fígado se
11 tornam mais suscetíveis ao estresse oxidativo, podendo resultar em um processo de
12 toxicidade (GHAZNAVI et al., 2007).

13 De acordo com estes dados, o estudo conduzido por Wolf et al (1997), verificou
14 que em altas doses, a CsA diminui as concentrações dos fatores antioxidantes,
15 favorecendo o status pró-oxidativo das células. No entanto, quando administrada em
16 baixa dose, o estresse oxidativo não é identificado, indicando que a toxicidade
17 induzida pela CsA é dose-dependente e está diretamente relacionada com o aumento
18 das ERO (WOLF et al., 1997).

19

1 **3 OBJETIVOS**

2 **3.1 Gerais**

3 Visto a grande utilização de ambos compostos e a falta de informações sobre
4 a toxicidade do malation no período peripuberal e a toxicidade da ciclosporina em
5 baixa dose, os objetivos deste estudo foram: (1) Identificar os efeitos do inseticida
6 malation sobre a morfofisiologia renal e hepática de ratos machos *Wistar* durante o
7 período peripuberal; (2) Avaliar as possíveis alterações histológicas, bioquímicas e no
8 status antioxidante dos rins e fígado de camundongos expostos a uma baixa dose de
9 CsA considerada sem efeito imunossupressor.

10

11

12 **3.2 Específicos**

13

14 - Avaliar a morfologia e função renal e hepática de ratos expostos ao malation
15 nas doses de 10 mg/kg e 50 mg/kg no período peripuberal e de camundongos
16 expostos a Ciclosporina A em baixa dose

17

18 -Quantificar os biomarcadores de estresse oxidativo e nos rins e fígado de ratos
19 expostos ao malation nas doses de 10 mg/kg e 50 mg/kg no período peripuberal e de
20 camundongos expostos a Ciclosporina A em baixa dose

21

22 -Determinar as concentrações de glicogênio e colágeno nos rins e fígado de
23 ratos expostos ao malation nas doses de 10 mg/kg e 50 mg/kg no período peripuberal
24 e de camundongos expostos a Ciclosporina A em baixa dose

25

26 -Contribuir com mais dados sobre a toxicidade provocada pelo Malation no
27 período peripuberal e pela Ciclosporina A em baixa dose nos rins e fígado

1 4 ARTIGOS

2 Este trabalho foi desenvolvido no Laboratório de Toxicologia e Distúrbios
3 Metabólicos da Reprodução, da Universidade Estadual de Londrina (UEL) e no
4 Laboratório de Análise Histopatológica, da Universidade Estadual de Londrina (UEL).
5 Os resultados obtidos serão publicados em dois artigos científicos:

6
7 1) **Malathion causes renal and hepatic damage in male *Wistar* rats during the**
8 **peripuberal period.** Pedro Mareti Maçaira Figaro; Lorena Coelho; Gabriel Smolak
9 Sobieski; Maylla Cardoso de Oliveira; Ivana Regina Costa; Rafaela Pires Erthal;
10 Suellen Ribeiro da Silva; Fábio Goulart de Andrade; Glaura Scantamburlo Alves
11 Fernandes.

12

13 2) **Cyclosporine A alteres renal and hepatic morphophysiology in *Swiss* mice.**
14 Pedro Mareti Maçaira Figaro; Danielle Ramos; Gabriel Smolak Sobieski e Silva; Maylla
15 Cardoso de Oliveira; Ivana Regina Costa; Suellen Ribeiro da Silva Scarton; Glaucia
16 de Lion Siervo; Fábio Goulart de Andrade; Glaura Scantamburlo Alves Fernandes.

17

18

19 As formatações dos artigos seguem as normas das revistas *Acta Histochemica* (Fator
20 de impacto: 2.107; Qualis Capes Medicina II: A4) e *Human & Experimental Toxicology*
21 (Fator de impacto: 2.067; Qualis Capes Medicina II: B1), respectivamente.

Artigo 1

Malathion causes renal and hepatic damage in male *Wistar* rats during the peripuberal period

Artigo será submetido à revista —“Acta Histochemica”

ISSN: 0065-1281;

F.I. 2020: 2.107

Qualis CAPES 2013-2019 (Medicina II): A4

1 **4.1 MALATHION CAUSES RENAL AND HEPATIC DAMAGE IN MALE *W*STAR**
2 **RATS DURING THE PERIPUBERAL PERIOD**

3

4 Pedro Mareti Maçaira Fígaro^{1,2,3}, Lorena Coelho², Gabriel Smolak Sobieski e Silva², Maylla
5 Cardoso de Oliveira², Ivana Regina Costa¹, Rafaela Pires Erthal², Suellen Ribeiro da Silva
6 Scarton^{2,3}, Fábio Goulart de Andrade², Glaura Scantamburlo Alves Fernandes^{1*}

7

8 1 – Department of General Biology, Biological Sciences Center, State University of Londrina
9 – UEL, Londrina, Paraná, Brazil, Rodovia Celso Garcia Cid, PR 445, Postal code: 86057-970

10 2 – Department of Histology, Biological Sciences Center, State University of Londrina – UEL,
11 Londrina, Paraná, Brazil, Rodovia Celso Garcia Cid, PR 445, Postal code: 86057-970

12 3 – Department of General Pathology, Biological Sciences Center, State University of Londrina
13 – UEL, Londrina, Paraná, Brazil, Rodovia Celso Garcia Cid, PR 445, Postal code: 86057-970

14

15

16 ***Corresponding author**

17 Glaura Scantamburlo Alves Fernandes

18 **Tel.:** +55 43 33714417

19 **E-mail address:** glaura@uel.br (G. S. A. Fernandes)

20

21

22 **HIGHLIGHTS**

- 23 • Malathion alters renal morphology during the peripubertal period.
24 • Renal function is impaired due to exposure to malathion.
25 • Malathion promoted an increase in the activity of antioxidant enzymes.

26

27

1 ABSTRACT

2 Malathion is an organophosphate insecticide, which is effective against several insects, widely
3 used in agriculture. However, its use is not completely safe since its residues can remain in the
4 environment and reach water sources. The peripubertal period is a large vulnerability window
5 to the action of toxic agents, and the renal and hepatic tissues may be compromised. Thus, the
6 objective of this study was to identify the effects of malathion on the renal and hepatic
7 morphophysiology of male *Wistar* rats during the peripubertal period. The study included male
8 *Wistar* rats at postnatal day 21 (PND 21) divided into three experimental groups (n = 6
9 animals/group). Two of these groups received daily malathion doses of 10 mg/kg (10M) and
10 50 mg/kg (50M). The control group received only the vehicle. After 41 PND, the animals were
11 anesthetized and euthanized for blood, kidney, and liver collection. The plasma obtained was
12 used to analyze aspartate transaminase (AST), alanine aminotransferase (ALT), urea, and
13 creatinine levels. The kidneys and liver of the rats were used to evaluate oxidative stress
14 biomarkers and were processed for histopathological evaluation using hematoxylin and eosin,
15 periodic acid-Schiff, Heidenhain's AZAN trichrome, and picrosirius red staining methods. The
16 results showed that malathion decreased the Bowman's space (10M) and increased the
17 glomerular diameter (50M). In addition, glycogen was decreased in the renal cortex with both
18 doses. In the liver, both doses increased glycogen reserves in the portal and centrilobular
19 venules, and 50 mg/kg of malathion dose increased AST, ALT, and creatinine levels and
20 decreased urea levels. As for the oxidative stress, increased hepatic glutathione and renal
21 catalase activity were detected, and decreased superoxide dismutase activity was detected in
22 the kidneys. Exposure to low doses of malathion during the peripubertal period causes
23 hepatotoxicity and nephrotoxicity in male rats.

24
25 **Keywords:** Insecticide; liver; kidney; peripuberty

26

1 INTRODUCTION

2 The use of insecticides has increased over the years, becoming one of the main causes of severe
3 chronic poisoning in humans (Soltaninejad and Abdollahi, 2009). Insecticide poisoning with
4 organophosphates is associated with a high mortality rate, besides being the cause of most hospital
5 admissions for poisoning (Espinoza-Navarro et al., 2017; Vijaya kumar et al., 2010). Malathion is an
6 example of this class of insecticides, which is used worldwide to control pests and is considered of low
7 toxicity. It is widely used in agriculture (Baconi et al., 2013; Espinoza-Navarro et al., 2017).

8 This insecticide can be absorbed through the skin, digestive tract, and airways (Lasram et al.,
9 2009). It is deposited mainly in the liver, kidney, and adipose tissue and excreted mainly by the urinary
10 route (Naraharisetti et al., 2009). The lipophilic character of this insecticide is considered a facilitating
11 factor for its interaction with cell membranes, increasing the possibility of lesions in the cell structure
12 of most visceral organs (Selmi et al., 2015). The liver is the main target organ for the toxic effect of
13 organophosphates. Malathion affects hepatic metabolic pathways, and interferes with protein, lipid, and
14 carbohydrate metabolism (Karami-Mohajeri et al., 2017; Karami-Mohajeri and Abdollahi, 2011). The
15 main pathophysiological mechanism of this insecticide is associated with the inhibition of
16 acetylcholinesterase enzyme, which is responsible for the hydrolysis of acetylcholine into choline in the
17 synaptic cleft (Joshi and Sharma, 2011). Thus, acetylcholine accumulates at the site, consequently
18 blocking neuromuscular action (Soltaninejad and Abdollahi, 2009; Vijaya kumar et al., 2010).

19 In addition, there is a direct effect of oxidative stress caused by malathion exposure. Lipophilic
20 characteristics allow its interaction with the lipid bilayer present in the cell membranes, causing lipid
21 peroxidation, structural disturbances, and increased production of reactive oxygen species (Ozsoy et al.,
22 2016). The process of lipid peroxidation is facilitated because malathion decreases the activity of
23 antioxidant enzymes present in the cells, such as glutathione S-transferase (GST) and superoxide
24 dismutase (SOD); hence, changing the antioxidant balance of the body (Franco et al., 2009).

25 Thus, since the peripubertal period is a large vulnerability window to the action of toxic
26 agents and there is a scarce amount of information on the effects of malathion on the liver and
27 kidney tissues in the peripubertal period, the objective of this study was to evaluate the effects
28 of low doses of malathion on the kidney and liver morphophysiology of male *Wistar* rats during
29 the peripubertal period.

30

31 MATERIAL AND METHODS

32 Animals and experimental conditions

33

1 Male *Wistar* rats (n=18), at postnatal day 21 (PND21) were supplied by the Animal House of
2 Biological Sciences Centre, State University of Londrina (CCB - UEL), and were acclimated to the new
3 environment at the Laboratory of Toxicology and Metabolic Dysfunction of Reproduction with
4 controlled temperature conditions (23 °C) and lighting (photoperiod of 12h light/12h dark). Before the
5 start of the experimental period, the rats were acclimated to the new environment for 4 days. The animals
6 were allocated into polypropylene cages with laboratory-grade pine shavings as bedding during the
7 entire experiment and received rat chow and filtered tap water *ad libitum*. Animal care and handling
8 procedures were in accordance with the National Institutes of Health guide for the care and use of
9 Laboratory animals (Nih et al., 2011), and with the approval of the Ethics Committee on Animal Use of
10 State University of Londrina (OF. CIRC. CEUA/UEL n° 137/2016).

12 **Experimental design**

14 The animals were randomly assigned to three experimental groups (n= 6/group): In groups 10M
15 and 50M, animals received malathion via gavage in doses of 10 and 50 mg / kg of body weight,
16 respectively, diluted in 0.9% saline solution. In the control group (C), the animals received only
17 the vehicle. The animals were treated daily for 40 consecutive days (PND25 a PDN65), which
18 corresponds to the juvenile and peripuberal periods established for rats (Ojeda et al., 1980).

19 Malathion doses were administered according to Mansour et al. (2008), which
20 demonstrated renal and hepatic disorders in adult male *Wistar* rats exposed to 36 mg / kg p.c.
21 of malathion. The average of doses used in the present study represents the dosimetric
22 adjustment of the AOEL dose of 0.03 mg/bw/day in humans (European Commission) with an
23 added security factor of 10 considering intraspecies variability (Erthal et al., 2020; Nielsen et
24 al., 2008).

26 **Malathion**

28 Malathion (diethyl-dimetoxitiofosforiltio; CAS no. 121-75-5; Cheminova) was obtained
29 from Dominus Quimica (Jandaia do Sul, Brazil). The compound was diluted in 0.9% saline
30 daily as vehicle.

32 **Kidney and Liver collection**

34 At the end of the experimental period, the rats were anesthetized intraperitoneally with
35 a combination of ketamine (75 mg/kg b.w. - Sedomin® 10%, Avellaneda, Argentina) and

1 xylazine (10 mg/kg b.w. - Anasedan®, Paulínia, Brazil) and euthanized via cardiac puncture.
2 Blood was collected in the presence of anticoagulant heparin (Hemofol®, São Paulo, Brazil)
3 for the determination of plasma concentrations of aspartate aminotransferase (AST), alanine
4 aminotransferase (ALT), urea and creatinine. The kidneys were collected and used for
5 histopathological analysis (left kidney) and assessment of oxidative stress biomarkers (right
6 kidney). The liver was collected, weighed, sectioned, and destined for histopathological
7 analysis (right lobe) and dosages of oxidative stress biomarkers (left lobe).

9 **Histopathological analysis**

10
11 Kidneys and liver were fixed in aqueous Bouin's solution for 48 hours and subsequently
12 sent to the histopathological analysis laboratory (LAHip) of Londrina State University. After
13 fixation, the organs were dehydrated in an increasing series of ethanol, clarified in xylol and
14 embedding in histological paraffin. The 7 µm thick cuts were made in a semi-automatic
15 microtome (CUT 5062 SLEE medical GmbH, Germany) and the slides were stained with
16 hematoxylin and eosin; Schiff's periodic acid (PAS); Azan trichrome and Picrosirius Red
17 (Bancroft and Gamble, 2002). Observations and photo documentation were performed at 400x
18 magnification, in a Moticam image capture system (Motic, Xiamen, China), attached to the
19 light microscope.

21 **Hematoxylin and Eosin (H&E) for morphometric analysis**

22
23 In the kidneys, 10 images of the cortical region and 10 images of the medullary region
24 per animal were analyzed. In the cortical region, the diameter of the renal corpuscles,
25 Bowman's space and diameters of the proximal and distal convoluted tubules were determined.
26 In the medullary region, the diameter of the collecting tubules was measured (Imafidon et al.,
27 2016; Olatunji et al., 2015).

28 In the liver, 10 images of the periportal region and 10 images of the centrilobular region
29 were analyzed, per animal. In the periportal region, the diameters of 10 portal venules, 10 bile
30 ducts and 10 sinusoids were determined. In the centrilobular region, the diameters of 10
31 centrilobular venules and 10 sinusoids were measured. In both regions, the leukocytes adhered
32 to the endothelium of the venules were quantified (Nirmal et al., 2020).

34 **Periodic acid Schiff reaction (PAS) for detection of neutral glycoconjugates**

1
2 In the kidneys, 5 images of the cortical region and 5 images of the medullary region
3 were analyzed, while in the liver, 5 images of the periportal region and 5 images of the
4 centrilobular region were analyzed, per animal. In each image, using the image-Pro Plus®
5 software (Media Cybernetics, Maryland, USA) the proportion of the purple pixels was
6 determined, indicating positive marking for neutral glycoconjugates (Bancroft and Gamble,
7 2002).

8 9 **Azan trichrome to determine the percentage of total collagen**

10
11 In the kidneys, 5 images of the cortical region and 5 images of the medullary region
12 were analyzed, while in the liver, 5 images of the periportal region and 5 images of the
13 centrilobular region were analyzed, per animal. In each image, using the image-Pro Plus®
14 software (Media Cybernetics, Maryland, USA) the proportion of the blue pixels presented by
15 the collagen fibers in the histological sections was determined (Adisa et al., 2016).

16 17 **Picrosirius Red for quantification of type I and type III collagen**

18
19 In observation under polarized light, 5 images of the cortical region and 5 images of the
20 medullary region were captured in the kidneys, while 5 images of the periportal region and 5
21 images of the centrilobular region were analyzed per animal in the liver. In each image, using
22 the image-Pro Plus® software (Media Cybernetics, Maryland, USA), the proportion of the red
23 (type I collagen) and green (type III collagen) pixels was determined (Pupim et al., 2017).

24 25 **Assessment of renal function and liver toxicity**

26 To assess renal function, plasma urea and creatinine concentrations were determined
27 using commercial kits, according to the manufacturer's instructions. (Labtest® Diagnóstico
28 S.A., Lagoa Santa, MG, Brazil). The results were presented in milligrams per deciliter (mg /
29 dL) of plasma urea or creatinine.

30 To assess hepatotoxicity, plasma samples were processed following manufacturer's
31 instructions to determine the concentrations of aspartate aminotransferase (ALT) and alanine
32 aminotransferase (AST) using commercial kits (Labtest® Diagnóstico S.A., Lagoa Santa, MG,
33 Brazil). The results were presented as U / L of ALT or plasma AST.

34

1 **Analysis of oxidative stress biomarkers in the kidney and liver**

3 **Sample processing**

4
5 The fragments of the kidneys and livers were homogenized in PBS (pH 7.2), and the
6 homogenate was centrifuged at 3,000 rpm for 20 minutes. The supernatant was separated and
7 diluted at a ratio of 1:100. The quantification of proteins in the sample was determined using
8 the Bradford biochemical method. A standard curve, consisting of white, 0.06; 0.12; 0.25; 0.5
9 and 1 mg BSA per mL, was pipetted in triplicate into a 96-well plate. Then, 10 μ L of the diluted
10 samples were also pipetted in triplicate, following the standard curve. 250 μ L of the Bradford
11 reagent was added and absorbance was measured at 595 nm. From the data obtained,
12 calculations were performed for the dilution of the samples to have a final protein concentration
13 of 1 mg/mL.

15 **Determination of thiobarbituric acid reactive substances (TBARS)**

16
17 For this analysis, 50 μ L of the sample in triplicate was pipetted into a 96-well microplate,
18 5 μ L of iron chloride (FeCl₃) (1M), 5 μ L of ascorbic acid (0.5M), 50 μ L of trichloroacetic acid
19 (TCA) (2.8%) and 50 μ L of thiobarbituric acid (TBA) (1%). The microplates were kept in a
20 water bath for 15 minutes and the absorbances were read at 535 and 572 nm. (Buege and Aust,
21 1978)

23 **Glutathione s-transferase activity (GST)**

24
25 In this analysis, 20 μ L of the samples and potassium phosphate buffer (0.1 M) were
26 pipetted, in triplicate, in a 96-well microplate. Subsequently, 180 μ L of a mixture composed of
27 reduced glutathione (GSH), 1-chloro-2,4-dinitrobenzene (CDNB) and potassium phosphate
28 buffer were pipetted in all wells. Sample absorbances were measured at 340 nm at 40-second
29 intervals for 5 minutes (Keen et al., 1976). (Ferreira and Matsubara, 1997; Hayes et al., 2005).

31 **Catalase activity (CAT)**

32
33 To determine the catalase activity, 3 μ L of the samples were used, then 297 μ L of the
34 reaction was pipetted, containing Tris-HCl buffer, ethylene diamine tetra-acetic acid (EDTA)

1 and hydrogen peroxide (H₂O₂), in the wells that contained samples. Sample absorbances were
2 measured at 240 nm at 15-second intervals for 1 minute (Aebi, 1984).

3 4 **Superoxide dismutase activity (SOD)**

5
6 The activity of superoxide dismutase (SOD) was evaluated according to the method
7 originally proposed by (Crouch et al., 1981). The principle of this analysis was to quantify the
8 complex formed between superoxide and nitrotetrazolium blue (NBT), measured at 560 nm
9 over a period of 1 hour. An aliquot of 0.75 mg.mL⁻¹ of protein in 25% ethanol was prepared in
10 a total volume of 800 µL. The samples were centrifuged at 13,680 g at 4°C for 20 minutes, and
11 supernatant was pipetted in triplicate, in a 96-well microplate; the final 200µL volume
12 contained: 0.1 mg protein.mL⁻¹, 0.09 mM NBT, 0.015 mM EDTA, 34.78 mM hydroxylamine
13 sulfate and 79 mM sodium carbonate buffer (pH 10,2). The activity values of the antioxidant
14 enzymes were expressed in U. mg protein⁻¹.

15 16 **Statistical analysis**

17
18 For statistical analysis, the IBM SPSS® software was used (SPSS Inc, Chicago, Illinois,
19 USA) and the results were expressed as mean ± SD. One-way analysis of variance (ANOVA)
20 was used, followed by Dunnett's post-test for parametric data. Nonparametric results were
21 compared by Kruskal-Wallis and Dunn's post-test. Differences were considered statistically
22 significant when P <0.05.

23 24 **RESULTS**

25 26 **Kidney and liver morphometry**

27
28 Compared to the control group, there was an increased glomerular diameter (Figure 1A)
29 in the 50M group and decreased Bowman's space (Figure 1B) in the 10M group. The diameters
30 of the proximal (Figure 1C), distal (Figure 1D), and collecting tubules (Figure 1E) presented
31 no change after exposure to malathion. As for the liver, the 10M and 50M groups showed no
32 differences compared to the control group (Figure 2). However, despite not being statistically
33 significant, malathion caused a 13.07% (Figure 2A) dilation in the portal venule in the 10M
34 group and 17.8% in the 50M group compared to the control group. The biliary ducts (Figure

2B) showed no significant diameter changes in the 10M and 50M groups. The centrilobular venule (Figure 2C) presented dilation of 14.18% in the 10M group and of 17.13% in the 50M group compared to the control group. The number of cells adhered to the portal (Figure 2D) and centrilobular venules (Figure 2E) and the diameter of hepatic sinusoids around the portal (Figure 2F) and centrilobular venules (Figure 2G) showed no significant changes in the 10M and 50M groups compared to the control group.

Neutral glycoconjugate analysis

Malathion exposure resulted in lower neutral glycoconjugate labeling in the cortical region of the kidneys (Figure 3A) compared to the control group. Liver tissue presented increased labeling both in the periportal (Figure 4A) and centrilobular regions (Figure 4B) in the 10M and 50M groups compared to the control group.

Type I, III, and total collagen quantification

Exposure to both doses of malathion did not change mean total collagen percentages in the kidney (Figure 3C and D) and liver (Figure 4C and D) of the male *Wistar* rats in 10M and 50M groups compared to the control group. Additionally, the three experimental groups showed a prevalence of type I collagen in relation to type III collagen in the renal (Figure 3E and F) and hepatic (Figure 4E and F) tissues.

Hepatotoxicity and nephrotoxicity

Plasma urea concentrations in the 10M and 50M groups (Figure 5A) showed no significant change compared to the control group. However, the 50M group showed increased plasma creatinine (Figure 5B), aspartate transaminase (AST) (Figure 5C), and alanine aminotransferase (ALT) levels (Figure 5D) compared to the control group.

Oxidative stress biomarkers

Lipid peroxidation results evidenced by thiobarbituric acid reactive substances (TBARS) levels in the kidneys (Figure 6A) and liver (Figure 6B) showed statistical similarity between the three experimental groups. GST activity increased only in the liver (Figure 6D) of

1 the rats exposed to the highest dose of malathion (50M group) compared to the control group.
2 However, both treatment groups presented increases catalase (CAT) activity in the kidneys
3 (Figure 6E) compared to the control group. SOD activity decreased in the kidneys (Figure 6G)
4 of rats in the 50M group compared to the control group. However, the liver tissues showed no
5 significant SOD activity changes (Figure 6H) between the three experimental groups.

7 **DISCUSSION**

8 This study showed that exposure to malathion during the peripubertal period damaged
9 the kidneys and liver as there were significant changes in the morphology and function of these
10 organs.

11 The decreased Bowman's space in animals receiving the lowest insecticide dose
12 corroborates with the findings reported by Jalili et al. (2018). These authors reported that a
13 malathion dose of 27 mg/kg via gavage decreased the Bowman's space and increased urea and
14 serum creatinine levels in male *Wistar* rats. This event may indicate impaired ultrafiltrate
15 production in animals exposed to malathion. According to the study conducted by Vijaya kumar
16 et al. (2010), ultrafiltrate production failure is one of the characteristics of organophosphate
17 nephrotoxicity, which may lead to renal failure, the main kidney damage caused by pesticides
18 of this class. Although no changes were identified in the proximal and distal convoluted tubules
19 and collecting tubules, Al-Attar, (2010) reported that a dose of 100 mg/kg of malathion
20 administered by gavage in male *Wistar* rats for one month caused several ultrastructural
21 changes in the renal tubule cells and identified vacuoles with damaged outer membrane and
22 swollen and pleomorphic mitochondria. This result indicates that exposure to a dose higher than
23 the ones used in this study causes more severe renal damage than that observed in this study.

24 The increased glomerular diameter after exposure to malathion in the 50M group
25 indicates the process of hypertensive nephropathy, which precedes glomerular arteriosclerosis.
26 A previous study by Baiomy et al. (2015), using a dose of 50 mg/kg of malathion via gavage in
27 male *Wistar* rats for 30 days, identified glomerular capillary dilation and glomerular
28 degeneration. Selmi et al. (2018) used 200 mg/kg of malathion via gavage in male mice in the
29 peripubertal period for 30 days and reported glomerular shrinkage and degeneration, and
30 Bowman's capsule and renal tubule degeneration. This indicates that exposure to higher
31 malathion doses increases renal structure damage.

1 The absence of changes in the liver tissues indicates that the dose used was not enough
2 to cause morphological changes in this tissue. However, the study by Baconi et al. (2013)
3 identified that exposure to malathion at 42.5 and 85 mg/kg doses via gavage in male and female
4 *Wistar* rats for 35 days caused vasodilation, microvacuoles, and granular dystrophy. Similar
5 data were found by El-Gharieb et al. (2010), who reported portal venule dilatation in addition
6 to other tissue changes, such as pyknosis and inflammatory infiltrate. Narahariseti et al. (2009)
7 reported centrilobular venule dilatation as one of the effects of malathion in 1-month-old
8 chickens treated with the insecticide (500 ppm) for 28 days. These authors reported that this
9 change may cause imbalance in the hepatic vascular pattern, changing the blood supply to the
10 organ. Furthermore, malathion exposure changes hepatic blood perfusion, causing hypoxia not
11 only in the liver, but also in the heart (Vijaya kumar et al., 2010).

12 The decrease glycogen reserves observed in the renal tissue indicate that the function of
13 the organ is increased, promoting greater glycogen consumption by the cells. However, these
14 data contradict the results presented by Kaya et al. (2018). These authors treated *Wistar* rats
15 with 0.8 mg/kg of Fenthion, an organophosphate, observing increased glycogen stores in the
16 kidneys of these animals 24 hours after treatment. Therefore, despite the lack of consensus
17 regarding this result, it is evident that malathion affects renal glycogen levels. Contrary to this
18 effect on the renal tissue, the liver tissue responded in the opposite manner to malathion
19 exposure. Thus, the increased quantification of neutral glycoconjugates present in the liver is
20 explained by the process of hepatic glycogenolysis and gluconeogenesis, responsible for
21 promoting glycogen depletion. This change is corrected by the body through glycogen synthesis
22 under the effect of hyperinsulinemia, which increases hepatic glycogen deposition (Flehi-Slim
23 et al., 2015). Rezg et al. (2007) reported that subchronic exposure via gavage to 100 mg/kg
24 malathion in male *Wistar* rats decreases liver proteins and lipids. Furthermore, the results
25 reported by Abdollahi et al. (2004) indicate that the process of gluconeogenesis is stimulated
26 by the increased activity of the hepatic gluconeogenic enzyme phosphoenolpyruvate
27 carboxykinase in response to 100, 200, and 400 ppm of malathion exposure in male *Wistar* rats
28 for 4 weeks. According to Flehi-Slim et al. (2015), male *Wistar* rats exposed to 137, 13.7, or
29 1.3 mg/kg of malathion for 30 days presented increased glycogen stores in the liver in a dose-
30 dependent manner. These data are consistent with the research by Joshi and Rajini, (2009), who
31 demonstrated increased glycogen deposition in the liver of male *Wistar* rats treated with 140
32 mg/kg of acephate, an insecticide of organophosphate class. Malathion can inactivate the
33 enzyme glycogen phosphorylase, decreasing glycogen conversion into glucose and increasing
34 glycogen stores in the liver (Lasram et al., 2014).

1 However, despite these hypotheses regarding the effects of malathion on the liver and
2 kidney function, the maintenance in the amount of type I, III, and total collagen in the kidneys
3 and liver of animals exposed to malathion indicates no tissue damage in these organs. In an
4 inflammatory process, type I collagen is removed and type III collagen fibers are produced,
5 being later replaced by type I collagen fibers (Medeiros and Dantas-Filho, 2017). However,
6 doses higher than those used in this study lead to irreversible tissue damage processes, such as
7 fibrosis. Exposure to 200 mg/kg of malathion via gavage for a period of 30 days in *Wistar* rats
8 induced liver inflammation and fibrosis (El-Bini Dhouib et al., 2015).

9 The evaluation of AST and ALT enzyme levels indicates the quality of liver tissue.
10 Thus, increased plasma levels of these enzymes may indicate cellular injury with changes in
11 the membrane permeability of hepatocytes, allowing the extravasation of intracellular contents
12 (Gowda et al., 2009). In this study, the increased AST and ALT plasma levels corroborate with
13 those reported in the previous studies. Kalender et al. (2010) identified increased liver enzymes
14 (AST and ALT) after exposure to 27 mg/kg of malathion via gavage in male *Wistar* rats for 4
15 weeks. Gupta et al. (2020) also reported increased AST and ALT enzyme levels in male *Wistar*
16 rats exposed to 29 mg/kg of malathion for 2 weeks. These studies indicate that exposure to
17 malathion even at lower doses causes liver toxicity.

18 Plasma urea and creatinine levels are the main indicators of renal function by assessing
19 the glomerular filtration rate (Abensur, 2011). In this study, the increased plasma creatinine
20 level in the group of animals exposed to the highest dose of malathion indicates nephrotoxicity.
21 A significantly increased serum creatinine level may occur owing to impaired glomerular
22 function and tubular damage in the kidneys (Mansour and Mossa, 2010). Thus, this change in
23 creatinine level is directly associated with glomerular dilatation since creatinine is directly
24 related to the glomerular filtration process.

25 As for lipid peroxidation, the results show that this process did not occur in the kidneys
26 and liver of the animals exposed to malathion, since no significant change in TBARS levels
27 was noted. This result relates to increased antioxidant defenses represented by GST activity in
28 the liver and CAT activity in the kidneys of animals exposed to the highest malathion dose.
29 This indicates that these tissues could protect themselves from the damage caused by malathion;
30 thus, preventing lipid peroxidation. However, renal SOD was decreased in the group exposed
31 to the highest dose of malathion, indicating the beginning of a possible imbalance in renal tissue
32 antioxidant defense. These data indicate that exposure to malathion for a longer period could
33 increase reactive oxygen species formation and cause lipid peroxidation in the kidneys.
34 Previous studies, such as the one by Abdel-Salam et al. (2018) that used higher doses of

1 malathion (150 mg/kg) than those used in this study, identified increased oxidative stress levels
2 owing to decreased antioxidant levels and evident lipid peroxidation process in the liver of
3 male Sprague Dawley rats. Corroborating these data, Selmi et al. (2015) reported decreased
4 activity of antioxidant enzymes, such as SOD and CAT, and increased lipid peroxidation in the
5 kidneys and liver of infant *Wistar* rats nursed by mother *Wistar* rats exposed to 200 mg/kg of
6 malathion.

7 This study shows that the kidney and liver are affected by exposure to malathion in a
8 specific and independent way, with the kidney being more sensitive to the effects of this
9 insecticide. In both the organs, the changes found cannot be associated with oxidative stress
10 biomarkers since certain changes did not affect this process.

11 12 **CONCLUSION**

13
14 Malathion exposure during the peripubertal period causes significant renal tissue
15 damage, changing its morphology and function, besides causing liver damage. It is evident that
16 the kidneys are more sensitive to the action of malathion, without any relation with oxidative
17 stress biomarkers.

18 19 **ACKNOWLEDGMENTS**

20
21 This article is part of the master's thesis of PMM Figaro (State University of Londrina,
22 PR, Brazil) under the supervision of GSA Fernandes.

23 This study was partially funded by the Coordination for the Improvement of Higher
24 Education Personnel (CAPES) - Financial Code 001. The authors thank CAPES/PROEX for
25 the scholarship granted to PMM Figaro and for the financial support.

26

1 **CONFLICT OF INTEREST**

2 **The authors declare no conflict of interests.**

3

4 **REFERENCES**

- 5 Abdel-Salam, O.M., Sleem, A.A., Youness, E.R., Morsy, F.A., 2018. Preventive effects of
6 cannabis on neurotoxic and hepatotoxic activities of malathion in rat.
7 <https://doi.org/10.4103/1995-7645.231467>
- 8 Abdollahi, M., Donyavi, M., Pournourmohammadi, S., Saadat, M., 2004. Hyperglycemia
9 associated with increased hepatic glycogen phosphorylase and phosphoenolpyruvate
10 carboxykinase in rats following subchronic exposure to malathion. *Comp. Biochem.*
11 *Physiol. - C Toxicol. Pharmacol.* 137, 343–347.
12 <https://doi.org/10.1016/j.cca.2004.03.009>
- 13 Abensur, H., 2011. Biomarcadores na Nefrologia.
- 14 Adisa, A., Udeabor, S., Kubesch, A., Barbeck, M., Ghanaati, S., 2016. The utility of azan
15 trichrome staining in Ameloblastoma. *Niger. Postgrad. Med. J.* 23, 44.
16 <https://doi.org/10.4103/1117-1936.180187>
- 17 Aebi, H., 1984. Catalase in Vitro. *Methods Enzymol.* 105, 121–126.
18 [https://doi.org/10.1016/S0076-6879\(84\)05016-3](https://doi.org/10.1016/S0076-6879(84)05016-3)
- 19 Al-Attar, A.M., 2010. Physiological and Histopathological Investigations on the Effects of α -
20 Lipoic Acid in Rats Exposed to Malathion. *J. Biomed. Biotechnol.* 2010.
21 <https://doi.org/10.1155/2010/203503>
- 22 Baconi, D.L., Bârcă, M., Manda, G., Ciobanu, A.M., Bălălău, C., 2013. Investigation of the
23 toxicity of some organophosphorus pesticides in a repeated dose study in rats. *Rom. J.*
24 *Morphol. Embryol.* 54, 349–356.
- 25 Baiomy, A.A., Attia, H.F., Soliman, M.M., Makrum, O., 2015. Protective effect of ginger and
26 zinc chloride mixture on the liver and kidney alterations induced by malathion toxicity.
27 *Int. J. Immunopathol. Pharmacol.* 28, 122–128.
28 <https://doi.org/10.1177/0394632015572083>
- 29 Bancroft, J.D., Gamble, M., 2002. *Theory and Practice of Histological Techniques*, 5th ed. ed.
30 Churchill Livingstone, Edinburgh.
- 31 Buege, J.A., Aust, S.D., 1978. Microsomal Lipid Peroxidation. *Methods Enzymol.* 52, 302–
32 310. [https://doi.org/10.1016/S0076-6879\(78\)52032-6](https://doi.org/10.1016/S0076-6879(78)52032-6)
- 33 Crouch, R.K., Gandy, S.E., Kimsey, G., Galbraith, R.A., Galbraith, G.M., Buse, M.G., 1981.
34 The inhibition of islet superoxide dismutase by diabetogenic drugs. *Diabetes* 30, 235–
35 241. <https://doi.org/10.2337/diab.30.3.235>

- 1 El-Bini Dhouib, I., Lasram, M.M., Annabi, A., Gharbi, N., El-Fazaa, S., 2015. A comparative
2 study on toxicity induced by carbosulfan and malathion in Wistar rat liver and spleen.
3 *Pestic. Biochem. Physiol.* 124, 21–28. <https://doi.org/10.1016/j.pestbp.2015.03.012>
- 4 El-Gharieb, M.A., El-Masry, T.A., Emara, A.M., Hashem, M.A., 2010. Potential
5 hepatoprotective effects of vitamin E and *Nigella sativa* oil on hepatotoxicity induced by
6 chronic exposure to malathion in human and male albino rats. *Toxicol. Environ. Chem.*
7 92, 391–407. <https://doi.org/10.1080/02772240902955719>
- 8 Erthal, R.P., Staurengo-Ferrari, L., Fattori, V., Luiz, K.G., Cunha, F.Q., Pescim, R.R.,
9 Cecchini, R., Verri, W.A., Guarnier, F.A., Alves Fernandes, G.S., 2020. Exposure to low
10 doses of malathion during juvenile and peripubertal periods impairs testicular and sperm
11 parameters in rats: Role of oxidative stress and testosterone. *Reprod. Toxicol.* 96, 17–26.
12 <https://doi.org/10.1016/j.reprotox.2020.05.013>
- 13 Espinoza-Navarro, O., Ponce-LaRosa, C., Bustos-Obregón, E., 2017. Organophosphorous
14 Pesticides: Their Effects on Biosentinel Species and Humans. Control and Application in
15 Chile. *Int. J. Morphol.* 35, 1069–1074. [https://doi.org/10.4067/s0717-](https://doi.org/10.4067/s0717-95022017000300041)
16 [95022017000300041](https://doi.org/10.4067/s0717-95022017000300041)
- 17 Ferreira, A.L., Matsubara, L.S., 1997. Free radicals: concepts, associated diseases, defense
18 system and oxidative stress. *Rev. Assoc. Med. Bras.* [https://doi.org/10.1590/S0104-](https://doi.org/10.1590/S0104-42301997000100014)
19 [42301997000100014](https://doi.org/10.1590/S0104-42301997000100014)
- 20 Flehi-Slim, I., Chargui, I., Boughattas, S., El Mabrouk, A., Belaïd-Nouira, Y., Neffati, F.,
21 Najjar, M.F., Haouas, Z., Cheikh, H. Ben, 2015. Malathion-induced hepatotoxicity in
22 male Wistar rats: biochemical and histopathological studies. *Environ. Sci. Pollut. Res.*
23 22, 17828–17838. <https://doi.org/10.1007/s11356-015-5014-5>
- 24 Franco, J.L., Posser, T., Mattos, J.J., Trevisan, R., Brocardo, P.S., Rodrigues, A.L.S., Leal,
25 R.B., Farina, M., Marques, M.R.F., Bairy, A.C.D., Dafre, A.L., 2009. Zinc reverses
26 malathion-induced impairment in antioxidant defenses. *Toxicol. Lett.* 187, 137–143.
27 <https://doi.org/10.1016/j.toxlet.2009.02.015>
- 28 Gowda, S., Desai, P.B., Hull, V. V, Math, A.A.K., Vernekar, S.N., Kulkarni, S.S., 2009. A
29 review on laboratory liver function tests. *Pan Afr. Med. J.* 3, 17.
30 <https://doi.org/10.11604/pamj.2009.3.17.125>
- 31 Gupta, V.K., Kumar, A., Pereira, M. de L., Siddiqi, N.J., Sharma, B., 2020. Anti-
32 Inflammatory and Antioxidative Potential of *Aloe vera* on the Cartap and Malathion
33 Mediated Toxicity in Wistar Rats. *Int. J. Environ. Res. Public Health* 17, 5177.
34 <https://doi.org/10.3390/ijerph17145177>
- 35 Hayes, J.D., Flanagan, J.U., Jowsey, I.R., 2005. Glutathione transferases. *Annu. Rev.*
36 *Pharmacol. Toxicol.* <https://doi.org/10.1146/annurev.pharmtox.45.120403.095857>
- 37 Imafidon, E.C., Akomolafe, R.O., Oladele, A.A., 2016. Sexually dimorphic proteinuria in
38 Wistar rats: Relevance to clinical models. *Pathophysiology* 23, 51–59.
39 <https://doi.org/10.1016/j.pathophys.2016.02.001>
- 40 Jalili, C., Roshankhah, S., Moradi, Y., Salahshoor, M., 2018. Resveratrol attenuates
41 malathion-induced renal damage by declining oxidative stress in rats. *Int. J. Pharm.*
42 *Investig.* 8, 192. https://doi.org/10.4103/jphi.jphi_7_19
- 43 Joshi, A.K.R., Rajini, P.S., 2009. Reversible hyperglycemia in rats following acute exposure

- 1 to acephate, an organophosphorus insecticide: Role of gluconeogenesis. *Toxicology* 257,
2 40–45. <https://doi.org/10.1016/j.tox.2008.12.006>
- 3 Joshi, S.C., Sharma, P., 2011. Male reproductive toxicity of organophosphorous compounds:
4 A review. *Toxicol. Environ. Chem.* <https://doi.org/10.1080/02772248.2011.581874>
- 5 Kalender, S., Uzun, F.G., Durak, D., Demir, F., Kalender, Y., 2010. Malathion-induced
6 hepatotoxicity in rats: The effects of vitamins C and E. *Food Chem. Toxicol.* 48, 633–
7 638. <https://doi.org/10.1016/j.fct.2009.11.044>
- 8 Karami-Mohajeri, S., Abdollahi, M., 2011. Toxic influence of organophosphate, carbamate,
9 and organochlorine pesticides on cellular metabolism of lipids, proteins, and
10 carbohydrates: A systematic review. *Hum. Exp. Toxicol.*
11 <https://doi.org/10.1177/0960327110388959>
- 12 Karami-Mohajeri, S., Ahmadipour, A., Rahimi, H.R., Abdollahi, M., 2017. Adverse effects of
13 organophosphorus pesticides on the liver: A brief summary of four decades of research.
14 *Arh. Hig. Rada Toksikol.* <https://doi.org/10.1515/aiht-2017-68-2989>
- 15 Kaya, Y., Bas, O., Hanci, H., Cankaya, S., Nalbant, I., Odaci, E., Avni Uydu, H., Aslan, A.,
16 2018. Acute renal involvement in organophosphate poisoning: histological and
17 immunochemical investigations. *Ren. Fail.* 40, 410–415.
18 <https://doi.org/10.1080/0886022X.2018.1489289>
- 19 Keen, J.H., Habig, W.H., Jakoby, W.B., 1976. Mechanism for the Several Activities of the
20 Glutathione S-Transferases, *THE JOURNAL of BIOLOGICAL CHEMISTRY*.
- 21 Lasram, M.M., Annabi, A.B., Elj, N. El, Selmi, S., Kamoun, A., El-Fazaa, S., Gharbi, N.,
22 2009. Metabolic disorders of acute exposure to malathion in adult Wistar rats. *J. Hazard.*
23 *Mater.* 163, 1052–1055. <https://doi.org/10.1016/j.jhazmat.2008.07.059>
- 24 Lasram, M.M., Dhoub, I.B., Bouzid, K., Lamine, A.J., Annabi, A., Belhadjhmida, N.,
25 Ahmed, M. Ben, Fazaa, S. El, Abdelmoula, J., Gharbi, N., 2014. Association of
26 inflammatory response and oxidative injury in the pathogenesis of liver steatosis and
27 insulin resistance following subchronic exposure to malathion in rats. *Environ. Toxicol.*
28 *Pharmacol.* 38, 542–553. <https://doi.org/10.1016/j.etap.2014.08.007>
- 29 Mansour, S.A., Heikal, T.M., Mossa, A.T.H., 2008. Biochemical and histopathological effects
30 of formulations containing Malathion and Spinosad in rats. *Toxicol. Int.* 15, 71–78.
- 31 Mansour, S.A., Mossa, A.H., 2010. Adverse effects of lactational exposure to chlorpyrifos in
32 suckling rats. *Hum. Exp. Toxicol.* 29, 77–92. <https://doi.org/10.1177/0960327109357276>
- 33 Medeiros, A.C., Dantas-Filho, A.M., 2017. Cicatrização das feridas cirúrgicas. *J. Surg. Clin.*
34 *Res.* 7, 87. <https://doi.org/10.20398/jscr.v7i2.11438>
- 35 Narahariseti, S.B., Aggarwal, M., Ranganathan, V., Sarkar, S.N., Kataria, M., Malik, J.K.,
36 2009. Effects of simultaneous repeated exposure at high levels of arsenic and malathion
37 on hepatic drug-biotransforming enzymes in broiler chickens. *Environ. Toxicol.*
38 *Pharmacol.* 28, 213–218. <https://doi.org/10.1016/j.etap.2009.04.006>
- 39 Nielsen, E., Østergaard, G., Larsen, J.C., 2008. Toxicological risk assessment of chemicals. A
40 practical guide.
- 41 Nih, Od, Oer, Olaw, 2011. *GUIDE LABORATORY ANIMALS FOR THE CARE AND USE*
42 *OF Eighth Edition Committee for the Update of the Guide for the Care and Use of*

- 1 Laboratory Animals Institute for Laboratory Animal Research Division on Earth and
2 Life Studies.
- 3 Nirmal, N.K., Awasthi, K.K., John, P.J., 2020. Hepatotoxicity of graphene oxide in Wistar
4 rats. *Environ. Sci. Pollut. Res.* <https://doi.org/10.1007/s11356-020-09953-0>
- 5 Ojeda, S.R., ANDREWS, W.W., ADVIS, J.P., WHITE, S.S., 1980. Recent Advances in the
6 Endocrinology of Puberty. *Endocr. Rev.* 1, 228–257. [https://doi.org/10.1210/edrv-1-3-](https://doi.org/10.1210/edrv-1-3-228)
7 228
- 8 Olatunji, S., Adewole, O., Ayannuga, O., Taiye, A., Adedayo, A., Sesan, O., 2015.
9 Microanatomy and histomorphometry analysis of the effects of *Moringa oleifera* leaf
10 extract on lead-induced kidney damage in adult wistar rats. *Int. J. Biol. Chem. Sci.* 9,
11 1599. <https://doi.org/10.4314/ijbcs.v9i3.39>
- 12 Ozsoy, A.Z., Uysal, M., Alici, O., Butun, I., Tas, U., Delibas, I.B., 2016. Protective effect of
13 intravenous lipid emulsion treatment on malathion-induced 2425–2434.
- 14 Rezg, R., Mornagui, B., Kamoun, A., El-Fazaa, S., Gharbi, N., 2007. Effect of subchronic
15 exposure to malathion on metabolic parameters in the rat. *Comptes Rendus - Biol.* 330,
16 143–147. <https://doi.org/10.1016/j.crv.2006.11.002>
- 17 Selmi, S., El-Fazaa, S., Gharbi, N., 2015. Oxidative stress and alteration of biochemical
18 markers in liver and kidney by malathion in rat pups. *Toxicol. Ind. Health* 31, 783–788.
19 <https://doi.org/10.1177/0748233713475507>
- 20 Selmi, S., Rtibi, K., Grami, D., Sebai, H., Marzouki, L., 2018. Malathion, an organophosphate
21 insecticide, provokes metabolic, histopathologic and molecular disorders in liver and
22 kidney in prepubertal male mice. *Toxicol. Reports* 5, 189–195.
23 <https://doi.org/10.1016/j.toxrep.2017.12.021>
- 24 Soltaninejad, K., Abdollahi, M., 2009. Current opinion on the science of organophosphate
25 pesticides and toxic stress: A systematic review. *Med. Sci. Monit.* 15, 75–90.
- 26 Vijaya kumar, S., Fareedullah, M., Sudhakar, Y., Venkateswarlu, B., Ashok Kumar, E., 2010.
27 Current review on organophosphorus poisoning. *Arch. Appl. Sci. Res.* 2, 199–215.
- 28

1 FIGURES AND FIGURE LEGENDS

2
3 **Fig. 1.** Renal morphometric evaluation of the animals in the groups: control (C), Malathion 10 mg/kg
4 b.w. (10M) and Malathion 50 mg/kg b.w. (50M). (A) Average glomerular diameter. (B) Bowman's
5 space. (C) Mean diameter of the proximal contorted tubules. (D) Mean diameter of distal contorted
6 tubules. (E) Average diameter of the collecting tubule. Values expressed as mean \pm SD; One-way
7 ANOVA, Dunnett's test (*P<0,05).

8
9 **Fig. 2.** Hepatic morphometric evaluation of the animals in the groups: control (C), Malathion 10 mg/kg
10 b.w. (10M) and Malathion 50 mg/kg b.w. (50M). (A) Mean diameter of the portal venule. (B) Average
11 diameter of the bile ducts. (C) Mean diameter of the centrilobular venule. (D) Average of cells adhered
12 (leukocytes) to the portal venules. (E) Average of adhered cells (leukocytes) to centrilobular venules.
13 (F) Diameter of the sinusoids around the portal venule. (G) Diameter of the sinusoids around the
14 centrilobular venule. Values expressed as mean \pm SD; One-way ANOVA, Dunnett's test (*P<0,05).

15
16 **Fig. 3.** Renal histochemical evaluation of animals in the groups: control (C), Malathion 10 mg/kg b.w.
17 (10M) and Malathion 50 mg/kg b.w. (50M). (A) Average percentage of neutral glycoconjugates present
18 in the cortical region. (B) Average percentage of neutral glycoconjugates present in the medullary
19 region. (C) Percentage of total collagen in the cortical region. (D) Percentage of total collagen in the
20 medullary region. (E) Percentage of type I and III collagen in the cortical region. (F) Percentage of type
21 I and III collagens in the medullary region. Values expressed as mean \pm SD; One-way ANOVA,
22 Dunnett's test (*P<0,05).

23
24 **Fig. 4.** Histochemical evaluation of the liver of the animals in the groups: control (C), Malathion 10
25 mg/kg b.w. (10M) and Malathion 50 mg/kg b.w. (50M). (A) Average percentage of neutral
26 glycoconjugates present in the portal venule region. (B) Average percentage of neutral glycoconjugates
27 present in the region of the centrilobular venule. (C) Percentage of total collagen in the region of the
28 portal venule. (D) Percentage of total collagen in the region of the centrilobular venule. (E) Percentage
29 of type I and III collagen in the region of the portal venule. (F) Percentage of type I and III collagens in
30 the region of the centrilobular venule. Values expressed as mean \pm SD; One-way ANOVA, Dunnett's
31 test (*P<0,05).

32
33 **Fig. 5.** Assessment of renal function and liver toxicity of the animals in the groups: control (C),
34 Malathion 10 mg/kg b.w. (10M) and Malathion 50 mg/kg b.w. (50M). (A) Plasma concentration of
35 urea. (B) Plasma concentration of creatinine. (C) Plasma concentrations of AST. (D) Plasma
36 concentration of ALT. Values expressed as mean \pm SD; One-way ANOVA, Dunnett's test (*P<0,05).

37
38 **Fig. 6.** Effects of malathion on markers of oxidative stress in kidney and liver of animals in the groups:
39 control (C), Malathion 10 mg/kg b.w. (10M) and Malathion 50 mg/kg b.w. (50M). (A) Dosage of
40 TBARS in the kidneys. (B) Liver TBARS dosage. (C) Evaluation of renal GST activity. (D) Evaluation
41 of hepatic GST activity. (E) Renal catalase activity. (F) Hepatic catalase activity. (G) Renal SOD
42 activity. (H) Hepatic SOD activity. Values expressed as mean \pm SD; One-way ANOVA, Dunnett's test
43 (*P<0,05).

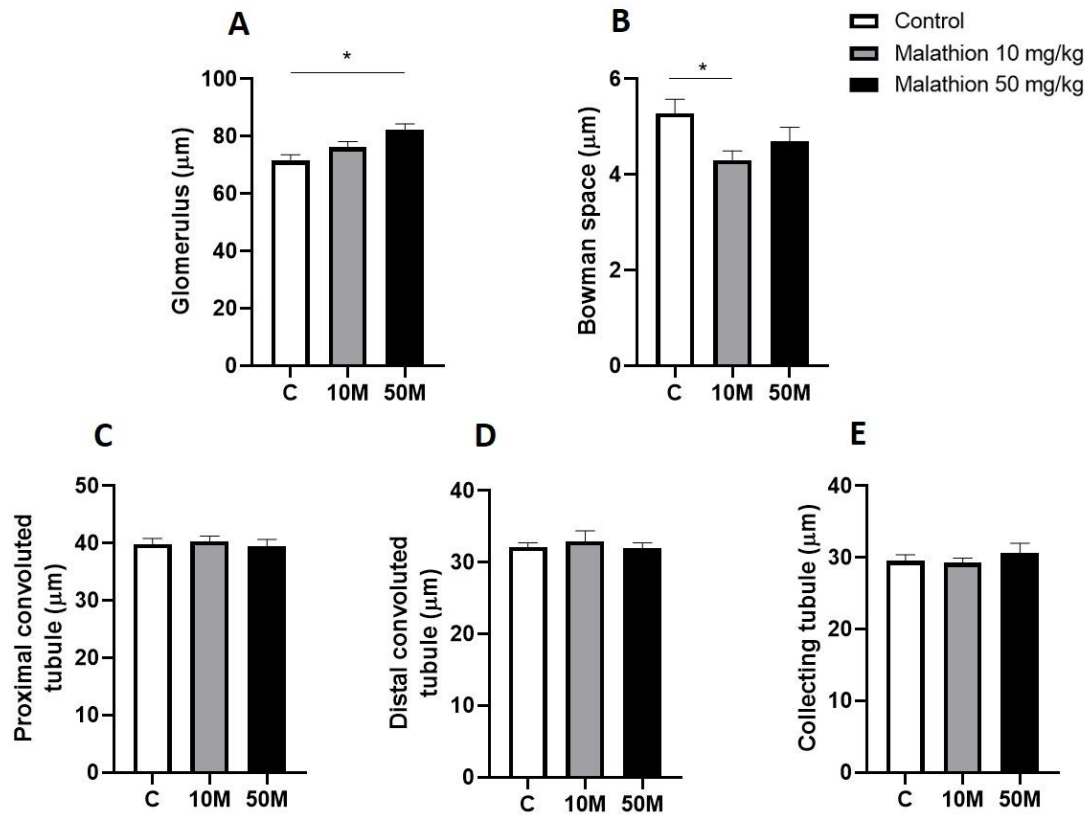


Fig. 1.

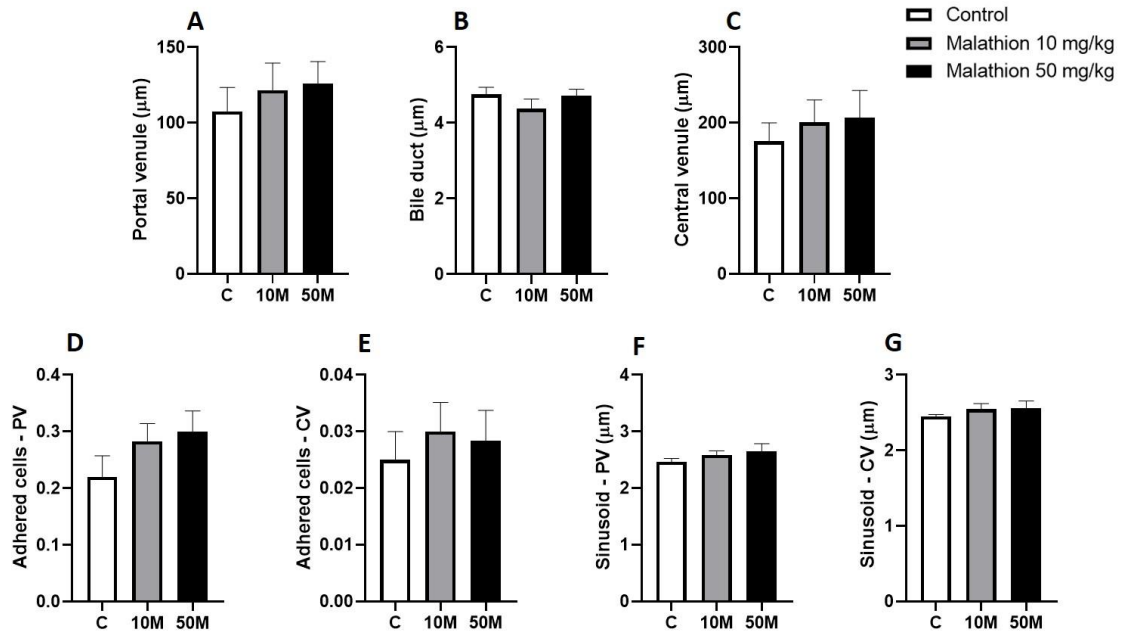


Fig. 2.

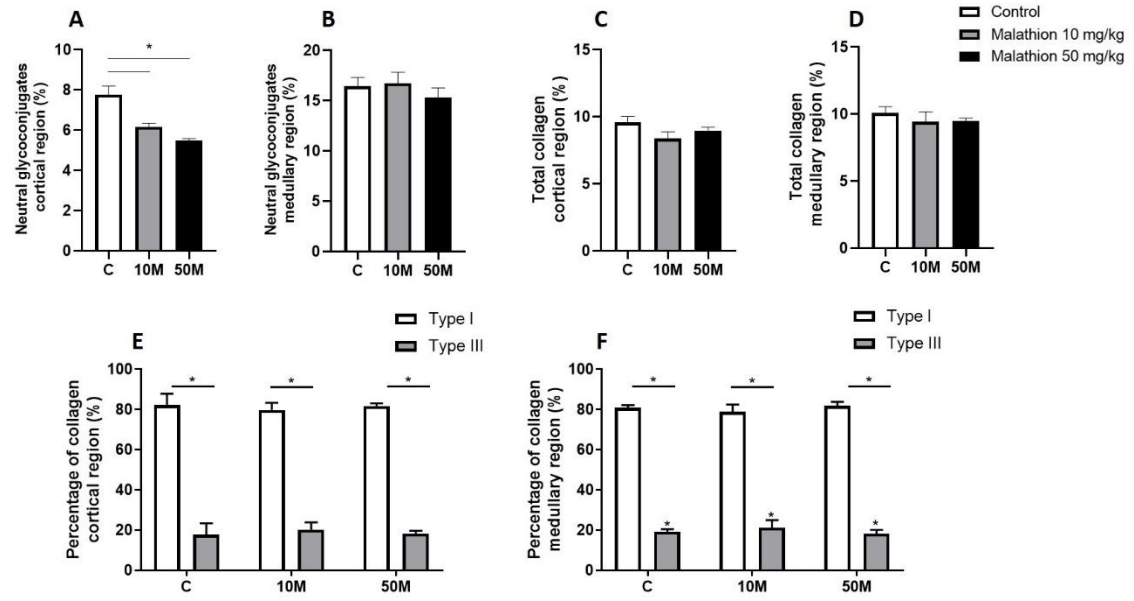


Fig. 3.

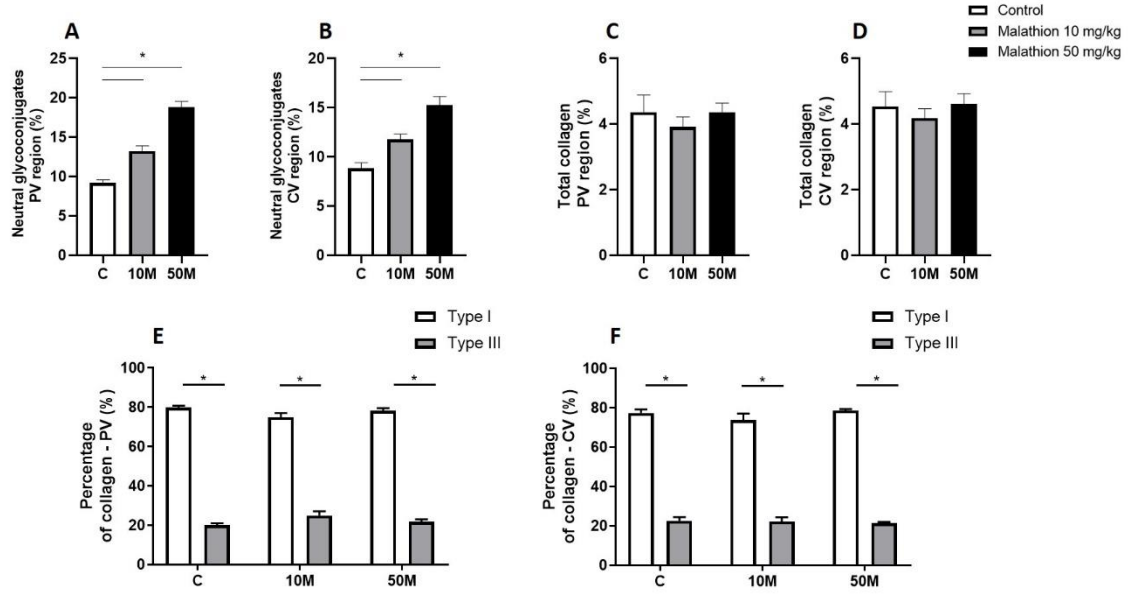


Fig. 4.

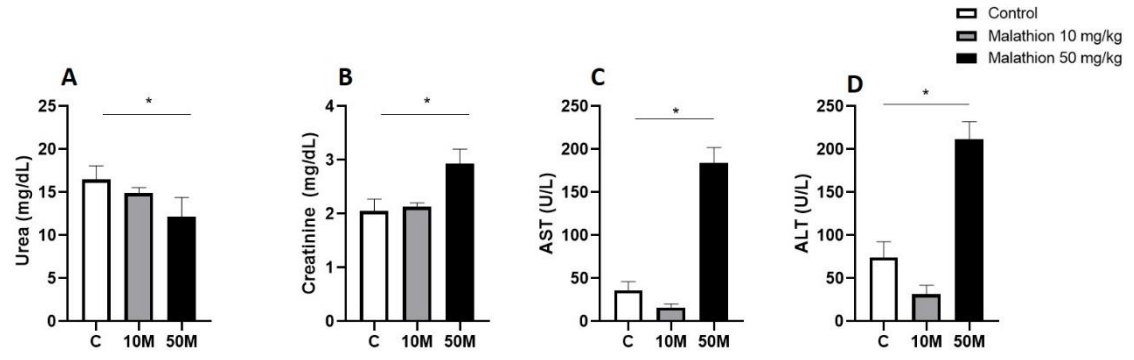


Fig. 5.

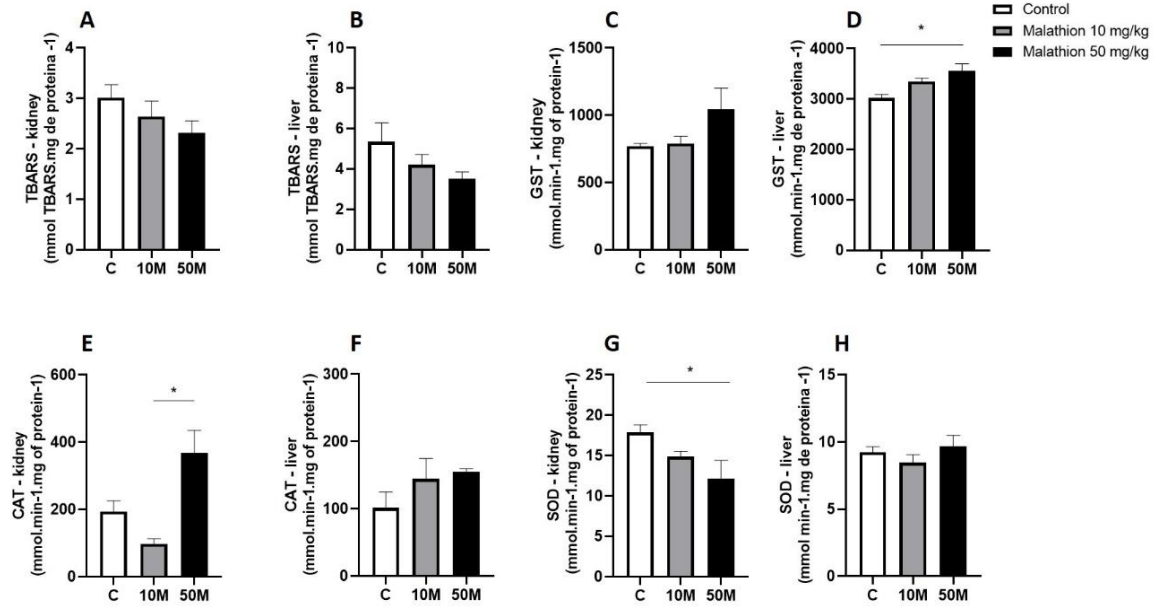


Fig. 6.

Artigo 2

Cyclosporine A alteres renal and hepatic morphophysiology in *Swiss* mice

Artigo será submetido à revista —“Human & Experimental Toxicology”

ISSN: 0960-3271;

F.I. 2020: 2.067

Qualis CAPES 2013-2019 (Medicina II): B1

1 **4.2 CYCLOSPORINE A ALTERS RENAL AND HEPATIC MORPHOPHYSIOLOGY**
2 **IN SWISS MICE**

Pedro Mareti Maçaira Fígaro^{1,2,3}, Danielle Ramos da Silva², Gabriel Smolak Sobieski e Silva², Maylla Cardoso de Oliveira², Ivana Regina Costa¹, Suellen Ribeiro da Silva Scarton^{1,3}, Glaucia de Lion Siervo^{1,3}, Fábio Goulart de Andrade², Glaura Scantamburlo Alves Fernandes^{1*}

1 – Department of General Biology, Biological Sciences Center, State University of Londrina – UEL, Londrina, Paraná, Brazil, Rodovia Celso Garcia Cid, PR 445, Postal code: 86057-970

2 – Department of Histology, Biological Sciences Center, State University of Londrina – UEL, Londrina, Paraná, Brazil, Rodovia Celso Garcia Cid, PR 445, Postal code: 86057-970

3 – Department of General Pathology, Biological Sciences Center, State University of Londrina – UEL, Londrina, Paraná, Brazil, Rodovia Celso Garcia Cid, PR 445, Postal code: 86057-970

***Corresponding author**

Glaura Scantamburlo Alves Fernandes

Tel.: +55 43 33714417

E-mail address: glaura@uel.br (G.S. A. Fernandes)

1 ABSTRACT

2 Cyclosporine A (CsA), an immunosuppressive drug, is used to treat autoimmune diseases and
3 to prevent the rejection of transplanted organs. However, it demonstrates renal and hepatic
4 toxicity. The objective of the present study was to evaluate biochemical, histological, and
5 antioxidant changes in the kidneys and livers of mice exposed to low-dose (non-
6 immunosuppressive) CsA. A total of 30 adult *Swiss* mice were treated for 10 and 50 days and
7 divided into five experimental groups (n = 6). The control group (C) and the CsA10i group
8 were administered with water and 10 mg/kg of CsA, respectively. Mice in both groups were
9 euthanized after 11 days of commencing the experiments. The mice in the CsA10r group were
10 administered 10 mg/kg of CsA, underwent a 10-day recovery period, and were euthanized after
11 21 days of commencing the experiments. The mice in the CsA50i group were administered 10
12 mg/kg of CsA and were euthanized after 51 days of commencing the experiments. The mice in
13 the CsA50r group were administered 10 mg/kg of CsA, underwent a 50-day recovery period,
14 and were euthanized after 101 days of commencing the experimental. Analysis of the renal
15 histological features showed a decrease in the Bowman's space diameter in the CsA10r and
16 CsA50r groups. The liver histological analysis demonstrated an increase in the mean diameter
17 of the central venules in the CsA10i and CsA10r groups, decrease in the mean diameter of
18 biliary ducts in the CsA50i group, and dilation of sinusoids around the portal and central venules
19 in the CsA10i and CsA10r group. Biochemical analysis showed increased urea levels in the
20 CsA50r group and decreased alanine aminotransferase levels in the CsA10i group. The
21 oxidative stress analysis showed that thiobarbituric acid reactive substance levels were
22 increased in the kidneys and liver of animals in the CsA50r group. Antioxidant enzyme, such
23 as glutathione-S-transferase, levels were decreased in the kidneys of all treatment groups;
24 moreover, their levels were reduced in the livers of only the CsA50i and CsA50r groups.
25 Analysis of renal superoxide dismutase expression showed a remarkable decrease in its activity
26 in the CsA10i, CsA10r, and CsA50i groups. We conclude that exposure to a low dose of CsA
27 causes considerable liver damage immediately and after the recovery period, whereas damage
28 in the kidneys was noticed only after the recovery period. Therefore, under these experimental
29 conditions, the liver was more sensitive to CsA than the kidney, and this sensitivity was not
30 related to oxidative stress.

31

32 **Keywords:** cyclosporine A; hepatotoxicity; nephrotoxicity

1 INTRODUCTION

2

3 Cyclosporine is a family of long-chain, cyclic, lipophilic peptides with 11 amino acids.
4 Among them, cyclosporine A (CsA) is the most commonly used commercial drug.¹ This
5 compound exhibits strong immunosuppressive activity via the inhibition of calcineurin, a
6 molecule that activates nuclear factors present in the cytosol by dephosphorylating them,
7 which, in turn, leads to the production of cytokines involved in the activation of T
8 lymphocytes.²⁻⁴ Calcineurin inhibitors are powerful immunosuppressants that have
9 revolutionized organ transplantation because of their efficacy. However, they exert several
10 toxic effects, which are dose-dependent. Renal and hepatic alterations are among the most
11 common manifestations.⁵⁻⁷

12 Nephrotoxicity attributed to CsA is associated with decreased blood supply and tubular
13 changes. Changes in blood flow are directly associated with increased vascular resistance due
14 to activation of the sympathetic nervous system, which promotes a decrease in glomerular
15 filtration rate.⁸⁻¹¹ Moreover, the vascular effects attributed to the use of CsA are also related
16 to an increase in factors regulating vasoconstriction, including endothelin-1 (ET-1), and a
17 decrease in factors mediating vasodilation, including prostacyclin, prostaglandin E2, and
18 nitric oxide.¹²⁻¹⁴ The mechanisms underlying CsA-induced hepatotoxicity remain
19 uncharacterized. Evidence suggests that oxidative stress is the main factor involved in this
20 process.^{15,16} Thus, an increase in oxidant molecule levels attributed to CsA exposure induces
21 mitochondrial changes in hepatocytes, such as blockade of the mitochondrial permeability
22 transition pore, increasing the Ca²⁺ and reactive oxygen species (ROS) levels, altering the
23 electron transport chain,¹⁷ and inhibiting β -oxidation of fatty acids.^{17,18}

24 Thus, the objective of the present study was to evaluate the short- and long-term effects
25 of a safe, non-immunosuppressive dose of CsA on the kidney and liver morphology, using
26 *Swiss* mice as an experimental model.

27

28 MATERIAL AND METHODS

29 Cyclosporine A

30

1 Cyclosporine A (Sandimmun Neoral ® 100mg/ml, Novartis, Delpharm Huningue
2 S.A.S, Huningue, France) was diluted daily in the corresponding volume of water and stored
3 protected from light until administration. The dose of 10 mg / kg was standardized from the
4 previous study of Guada et al.²⁴ in which there was no immunosuppressive effect.

6 **Animals and experimental conditions**

7
8 Adult *Swiss* male mice (n=30) (*Mus musculus*), at postnatal day (PND 50) were
9 supplied by the Animal House of Biological Sciences Centre, State University of Londrina
10 (CCB - UEL), and were acclimated to the new environment at the Laboratory of Toxicology
11 and Metabolic Dysfunction of Reproduction with controlled temperature conditions (23 °C)
12 and lighting (photoperiod of 12h light/12h dark). Before the start of the experimental period,
13 the rats were acclimated to the new environment for 10 days. The animals were allocated into
14 polypropylene cages with laboratory-grade pine shavings as bedding during the entire
15 experiment and received rat chow (standard commercial laboratory chow, Nuvilab®) and tap
16 water *ad libitum*. All experimental protocols used were approved by the Ethics Committee on
17 the Use of Animals at the State University of Londrina (OF. CIRC. CEUA/UEL n° 68/2017).

19 **Experimental design**

20
21 On the 60th postnatal day, 36 mice were randomly assigned to 6 groups (6 animals /
22 group): A Control group that received only the vehicle (water) via gavage, and 4 groups that
23 received Cyclosporine A via gavage at a dose of 10 mg / kg diluted in water for 10 or 50 days
24 as described below:

- 25 • **10 Days experiment:** Control animals and Cyclosporine A immediate groups were treated for
26 10 consecutive days and euthanized immediately after treatment (11th day) (CsA10i). Animals
27 in the cyclosporine A 10-day recovery group underwent a period of 10-day, without any
28 treatment, being euthanized on the 21st experimental day (CsA10r).
- 29 • **50 Days experiment:** The Cyclosporine A 50-days immediate mice were treated for 50
30 consecutive days and euthanized immediately after treatment (51st day) (CsA50i). The
31 animals in the Cyclosporine A 50-day recovery group underwent a 50-day period without any
32 treatment, being euthanized on the 101st experimental day (CsA50r).

33 At the end of the treatment, the mice were anesthetized with isoflurane, euthanized by
34 decapitation and the blood from the ruptured vessels was collected in a tube with heparin to
35 obtain the plasma which was used to assess liver (AST and ALT) and renal toxicity (urea and

1 creatinine). The kidneys and livers were collected and used for histopathological or oxidative
2 stress analysis.

4 **Histopathological analysis**

6 Kidneys and liver were fixed in aqueous Bouin's solution for 48 hours and
7 subsequently sent to the laboratory of histopathological analysis (LAHip) of the Londrina
8 State University. After fixation, the organs were dehydrated in an increasing series of ethanol,
9 clarified in xylol and embedding in histological paraffin. The 7 μm thick cuts were made in a
10 semi-automatic microtome (CUT 5062 SLEE medical GmbH, Germany) and the slides were
11 stained with hematoxylin and eosin; Schiff's periodic acid (PAS); Azan trichrome and
12 Picrosirius Red.²⁰ Observations and photo documentation were performed at 400x
13 magnification, in a Moticam image capture system (Motic, Xiamen, China), attached to the
14 light microscope.

16 **Hematoxylin and Eosin (H&E) for morphometric analysis**

17
18 For kidney analysis, 10 images of the cortical region and 10 images of the medullary
19 region per animal were analyzed. In the cortical region, the diameter of the renal corpuscles,
20 Bowman's space and diameters of the proximal and distal convoluted tubules were
21 determined. In the medullary region, the diameter of the collecting tubules was measured.^{21,22}

22 For liver analysis, 10 images of the periportal region and 10 images of the centrilobular
23 region were analyzed, per animal. In the periportal region, the diameters of 10 portal venules,
24 10 bile ducts and 10 sinusoids were determined. In the centrilobular region, the diameters of
25 10 centrilobular venules and 10 sinusoids were measured. In both regions, the leukocytes
26 adhered to the endothelium of the venules were quantified.²³

28 **Periodic acid Schiff reaction (PAS) for the detection of neutral glycoconjugates**

29
30 In the kidneys, 5 images of the cortical region and 5 images of the medullary region
31 were analyzed, while in the liver, 5 images of the periportal region and 5 images of the
32 centrilobular region were analyzed, per animal. In each image, using the image-Pro Plus®
33 software (Media Cybernetics, Maryland, USA) the proportion of the purple pixels was
34 determined, indicating positive marking for neutral glycoconjugates.²⁰

1
2
3
4
5
6
7
8
9
10
11
12
13
14
15
16
17
18
19
20
21
22
23
24
25
26
27
28
29
30
31
32
33
34
35

Azan trichrome to determine the percentage of total collagen

In the kidneys, 5 images of the cortical region and 5 images of the medullary region were analyzed, while in the liver, 5 images of the periportal region and 5 images of the centrilobular region were analyzed, per animal. In each image, using the image-Pro Plus® software (Media Cybernetics, Maryland, USA) the proportion of the blue pixels presented by the collagen fibers in the histological sections was determined.²⁴

Picrosirius Red for quantification of type I and type III collagen

In observation under polarized light, 5 images of the cortical region and 5 images of the medullary region were captured in the kidneys, while 5 images of the periportal region and 5 images of the centrilobular region were analyzed per animal in the liver. In each image, using the image-Pro Plus® software (Media Cybernetics, Maryland, USA), the proportion of the red (type I collagen) and green (type III collagen) pixels was determined.²⁵

Assessment of renal function and liver toxicity

To assess renal function, plasma urea and creatinine concentrations were determined using commercial kits, according to the manufacturer's instructions. (Labtest® Diagnóstico S.A., Lagoa Santa, MG, Brazil). The results were presented in milligrams per deciliter (mg / dL) of plasma urea or creatinine.

To assess hepatotoxicity, plasma samples were processed following manufacturer's instructions to determine the concentrations of aspartate aminotransferase (ALT) and alanine aminotransferase (AST) using commercial kits (Labtest® Diagnóstico S.A., Lagoa Santa, MG, Brazil). The results were presented as U / L of ALT or plasma AST.

Analysis of oxidative stress biomarkers in the kidney and liver

Sample processing

The fragments of the kidneys and livers were homogenized in PBS (pH 7.2), and the homogenate was centrifuged at 3,000 rpm for 20 minutes. The supernatant was separated and diluted at a ratio of 1:100. The quantification of proteins in the sample was determined using

1 the Bradford biochemical method. A standard curve, consisting of white, 0.06; 0.12; 0.25; 0.5
2 and 1 mg BSA per mL, was pipetted in triplicate into a 96-well plate. Then, 10 μ L of the diluted
3 samples were also pipetted in triplicate, following the standard curve. 250 μ L of the Bradford
4 reagent was added and absorbance was measured at 595 nm. From the data obtained,
5 calculations were performed for the dilution of the samples to have a final protein
6 concentration of 1mg/mL.

8 **Determination of thiobarbituric acid reactive substances (TBARS)**

10 In this analysis, 50 μ L of the sample in triplicate was pipetted into a 96-well
11 microplate, 5 μ l of iron chloride (FeCl₃) (1M), 5 μ l of ascorbic acid (0.5M), 50 μ l of
12 trichloroacetic acid (TCA) (2.8%) and 50 μ l of thiobarbituric acid (TBA) (1%). The
13 microplates were kept in a water bath for 15 minutes and the absorbances were read at 535
14 and 572 nm.²⁶

16 **Glutathione s-transferase activity (GST)**

18 For this analysis, 20 μ L of the samples and potassium phosphate buffer (0.1 M) were
19 pipetted, in triplicate, in a 96-well microplate. Subsequently, 180 μ L of a mixture composed
20 of reduced glutathione (GSH), 1-chloro-2,4-dinitrobenzene (CDNB) and potassium phosphate
21 buffer were pipetted in all wells. Sample absorbances were measured at 340 nm at 40-second
22 intervals for 5 minutes.²⁷

24 **Superoxide dismutase activity (SOD)**

26 The activity of superoxide dismutase (SOD) was evaluated according to the method
27 originally proposed by (Crouch et al., 1981). The principle of this analysis was to quantify the
28 complex formed between superoxide and nitrotetrazolium blue (NBT), measured at 560 nm
29 over a period of 1 hour. An aliquot of 0.75 mg.mL⁻¹ of protein in 25% ethanol was prepared
30 in a total volume of 800 μ L. The samples were centrifuged at 13,680 g at 4°C for 20 minutes,
31 and supernatant was pipetted in triplicate, in a 96-well microplate; the final 200 μ L volume
32 contained: 0.1 mg protein.mL⁻¹, 0.09 mM NBT, 0.015 mM EDTA, 34.78 mM hydroxylamine
33 sulfate and 79 mM sodium carbonate buffer (pH 10,2). The activity values of the antioxidant
34 enzymes were expressed in U. mg protein⁻¹.

1 **Statistical analysis**

2

3 For statistical analysis, the IBM SPSS® software was used (SPSS Inc, Chicago,
4 Illinois, USA) and the results were expressed as mean \pm SD. One-way analysis of variance
5 (ANOVA) was used, followed by Dunnett's post-test for parametric data. Nonparametric
6 results were compared by Kruskal-Wallis and Dunn's post-test. Differences were considered
7 statistically significant when $P < 0.05$.

8

9 **RESULTS**

10 **Morphometric and histopathological analysis of the kidneys and livers**

11

12 With respect to the histological analysis, no changes were observed in the glomerular
13 diameter in both the “immediate” and “recovery” groups (Figure 1a). However, the Bowman's
14 space was retracted in the CsA10r and CsA50r groups (Figure 1b) as compared to that
15 observed in the control group. In addition, no changes in the mean diameter of the proximal
16 (Figure 1c) and distal (Figure 1d) convoluted tubules or the collecting ducts (Figure 1e) were
17 observed in the CsA10i, CsA50i, CsA10r, and CsA50r groups. These results were statistically
18 similar to those observed in the control group.

19 Liver analysis showed an increase in the mean diameter of the portal venules in the
20 CsA10r group (Figure 2a) and reduction in the mean diameter of the biliary ducts in the
21 CsA50i group as compared to that observed in the control group (Figure 2b). With respect to
22 the mean diameter of the central venules (Figure 2c), dilation was observed in the CsA10i and
23 CsA10r groups compared to that observed in the control group. No changes were observed in
24 the number of cells adhering to the portal venule (Figure 2d) and central venule (Figure 2e) in
25 any of the groups; however, an increase in the diameter of the liver sinusoids located around
26 the portal venules (Figure 2f) and central venules (Figure 2g) was observed in the CsA10i and
27 CsA10r groups relative to that of the control group.

28

29 **Determination of neutral glycoconjugates (PAS)**

30

31 Staining for neutral glycoconjugates demonstrated no changes in the CsA10i, CsA10r,
32 CsA50i, and CsA50r groups as compared to that in the control group. These findings were

1 evaluated in the cortical (Figure 3a) and medullary (Figure 3b) regions of the kidneys and the
2 portal (Figure 4a) and central venules (Figure 4b) in the liver.

3 4 **Quantification of total collagen and collagen type I and III**

5
6 The analysis of the mean percentages of total collagen in the cortical (Figure 3c) and
7 medullary (Figure 3d) regions of the kidneys did not show significant changes in the CsA10i,
8 CsA10r, CsA50i, and CsA50r groups as compared to those observed in the control group. In
9 the five experimental groups, the presence of collagen type I was dominant over collagen type
10 III in both these regions (Figures 3e and 3f). Similarly, in the liver, no alterations were
11 observed in the percentage of total collagen in the regions of the portal (Figure 4c) and central
12 venules (Figure 4d) as compared to those in the control group. Moreover, the presence of
13 collagen type I was dominant over collagen type III in both regions of the liver (Figures 4e
14 and 4f) in all groups.

15 16 **Hepatotoxicity and nephrotoxicity**

17
18 Serum concentrations of urea were higher in the CsA50r group (Figure 5a) than in the
19 control group. The concentration of creatinine in the experimental groups (Figure 5b) was not
20 significantly different from that observed in the control. In the liver, serum levels of aspartate
21 aminotransferase (AST) (Figure 5c) observed in the CsA10i, CsA10r, CsA50i, and CsA50r
22 groups did not differ significantly from those observed in the control; however, a decrease in
23 the serum levels of alanine aminotransferase (ALT) was observed in the CsA10i group (Figure
24 5d) relative to those of the control group.

25 26 **Biomarkers of oxidative stress**

27
28 An increase was observed in the lipid peroxidation in the kidneys (Figure 6a) and the
29 liver (Figure 6b) of the animals in the CsA50r group (Figure 6a) as compared to that in the
30 control group. Although not statistically significant, an increase of 34.50% was observed in
31 lipid peroxidation in the liver of the animals in the CsA50i group as compared to that in the
32 control group. Glutathione-S-transferase (GST) activity was decreased in the kidneys (Figure
33 6c) of animals in the CsA10i, CsA10r, CsA50i, and CsA50r groups, as well as in the liver of
34 the animals in the CsA50i and CsA50r groups (Figure 6d) compared to that observed in the

1 control group. Superoxide dismutase (SOD) activity was reduced in the kidneys of the groups
2 CsA10i, CsA10r, and CsA50i (Figure 6e) as compared to that observed in the kidneys of the
3 control group. The analysis of SOD activity in the liver showed no statistically significant
4 changes among the experimental groups, although there was a 29.08% reduction in the CsA50i
5 group (Figure 6f) compared to that in the control group.

7 **DISCUSSION**

8
9 As demonstrated above, exposure to CsA resulted in significant liver damage in the
10 immediate and recovery periods, whereas damage to the kidneys was only detected after the
11 recovery period.

12 Although the present study did not show changes in the mean diameter of the proximal
13 and distal tubules and collecting ducts of the animals exposed to CsA, Lu et al.²⁹ demonstrated
14 that a dose of 25 mg/kg/day of CsA administered to male Sprague Dawley rats for 4 weeks
15 caused tubular atrophy, interstitial fibrosis, and tubular apoptosis. Their findings indicated that
16 doses higher than those used in the present study might affect renal integrity. Furthermore,
17 continued use of CsA at a dose of 17.5 mg/kg/day in humans may induce tubular injury and
18 focal sclerosis of the glomeruli.³⁰ However, retraction of the Bowman's space observed in the
19 CsA10r and CsA50r groups suggests that the effect of CsA is initiated after the cessation of
20 exposure to CsA. Harb et al.³¹ reported that administration of a dose of 25 mg/kg/day of CsA
21 for 6 weeks resulted in a low glomerular retraction and mild increase of the Bowman's space
22 in *Wistar* rats. These finding demonstrate that histological changes are detected in the kidneys
23 on their immediate assessment after exposure to a high dose of CsA. However, since no
24 immediate damage was observed in the Bowman's space in the present study, the activation
25 of the constituents of this renal component through some unknown mechanism resulted in a
26 latent response to CsA.

27 Serum concentrations of urea and creatinine are the main indicators of renal function
28 because they measure the glomerular filtration rate.³² Under the experimental conditions of
29 the present study, there were no changes in serum creatinine levels but the increase in urea
30 levels in the CsA50r group indicated that renal filtration capacity was impaired following the
31 cessation of CsA exposure. Transplant patients treated with a dose of 3.8 mg/kg CsA for four
32 days showed decreased serum urea and creatinine levels.³³ A study performed by
33 administering CsA at a dose of 4.3 mg/kg for 88 days showed an increase in the serum
34 concentrations of both renal function parameters.³⁴ No consensus has been established with

1 respect to the behavior of renal functional parameters (increase or decrease) following
2 administration of CsA at a low dose; however, the observed changes may be related to the
3 duration of treatment. Sereno et al.³⁵ showed that a high dose of CsA (30 mg/kg) administered
4 to male *Wistar* rats for three weeks increased serum urea and creatinine levels. By contrast, a
5 dose close to that used in the said study (25 mg/kg) led to an increase in serum creatinine
6 levels and a reduction in its clearance in male C57BL/6 mice.³⁶ Thus, based on the data
7 obtained in the present study and previous studies, CsA may compromise renal function when
8 administered at low doses for long intervals and at high doses during different periods.

9 Similar to the kidneys, the results of the liver analysis showed alterations in certain
10 histological features after CsA administration. Dilation of the portal venules in the animals of
11 the CsA10r group and in the central venules of the animals in the CsA50i and CsA50r groups,
12 detected when determining the mean diameter of blood vessels, demonstrated a deleterious
13 effect of CsA on these vessels observed in the immediate period and after the recovery period.
14 Despite these alterations, no changes were observed in the number of cells (lymphocytes)
15 adhering to these venules. Similar results were described for the diameter of liver blood
16 vessels by Battino et al.³⁷ However, they treated male *Wistar* rats with 30 mg/kg of CsA for
17 four weeks and observed dilation of the portal and central venules, with thickening of
18 connective tissues in these regions. Kurus et al.³⁸ and Nacar et al.³⁹ administered CsA at doses
19 of 10 and 20 mg/kg for 28 and 12 days, respectively, and reported dilation and congestion of
20 sinusoids and apoptosis and vacuolization of hepatocytes in male rats. Hoorn et al.⁴⁰ reported
21 that CsA promotes changes in the vascular endothelium and that the mechanism involved in
22 these processes is still unknown. The findings of the present study corroborate these results
23 by demonstrating alteration of vascular patterns by CsA, as shown by changes in the diameter
24 of the portal and central venules. Furthermore, the hepatic venous system changed in response
25 to CsA regardless of the dose and time of administration.

26 The increase in the diameter of liver sinusoids of the portal and central venules of the
27 animals in the CsA10i and CsA10r group is probably an adaptation of the organ to the damage
28 induced by CsA. Sinusoidal dilation is one of the effects associated with CsA toxicity.^{41,42}
29 Studies conducted by Böhmer et al.⁴³ showed dilation of liver sinusoids after the
30 administration of CsA at doses of 25 mg/kg (for 21 days) and 15 mg/kg (for 8 weeks) in male
31 *Wistar* rats.

32 In addition, the reduced diameter of the biliary ducts in the CsA50i group may be
33 related to the excretion of CsA metabolites via the biliary system.⁴⁴ In this context, analysis
34 of the liver function in the present study showed hepatotoxic effects associated with the dose

1 of 10 mg/kg at the enzymatic level. The enzymes, AST and ALT, are present in large amounts
2 in the cytoplasm of hepatocytes,⁴⁵ and serum ALT is a more sensitive diagnostic marker of
3 liver damage, according to Srivastava et al.⁴⁶ However, Kim et al.⁴⁷ reported that
4 hepatocellular damage results in an immediate increase in the serum level of AST. Thus, the
5 results obtained for this enzyme show that CsA did not promote significant changes in the
6 levels of this enzyme during any of the treatment periods or after its cessation. However,
7 owing to a decrease in ALT levels as well as histopathological alterations in the liver it is
8 suggested that exposure to CsA leads to changes in the liver in the immediate period.

9 The absence of changes in the amount of neutral glycoconjugates in the kidneys and
10 livers in the groups exposed to CsA is in line with the results observed in the study performed
11 by Kedzierska et al.⁴⁸ These authors treated male *Wistar* rats with 20 mg/kg of CsA for six
12 months and observed no change in the amounts of neutral glycoconjugates in the kidneys of
13 these animals. Akbulut et al.⁴⁹ reported a reduction in glycogen stores of the rats treated with
14 25 mg/kg CsA for 30 days, which may be related to the amount of neutral glycoconjugates.
15 Thus, the data obtained in the present study suggest that treatments with CsA did not alter the
16 distribution and quantity of neutral glycoconjugates in the kidneys and livers of mice.

17 The quantification of total collagen and collagen type I and III in the kidneys and livers
18 of the animals treated with CsA showed that this drug did not alter their amounts and,
19 therefore, did not result in the development of fibrosis-like lesions. Collagen type I and III are
20 the main constituents of the extracellular matrix of the renal interstitium and are also part of
21 the liver's constitution. Their proportion is not fixed and changes may be observed in the
22 regions of the portal and central veins.⁵⁰ In a study performed with male Fischer 344 rats
23 treated with 15 mg/kg of CsA for four weeks, there was an increase in collagen deposition in
24 the kidneys.⁵¹ Similarly, Rezzani et al.⁵² observed an increase in the amount of collagen that
25 resulted in the development of interstitial fibrosis in the renal tubules of mice exposed to 15
26 mg/kg CsA for 21 days. However, Rowshani et al.⁵⁷ demonstrated a decrease in renal fibrosis
27 after the recovery period in the kidneys of transplant patients treated with 4 mg/kg CsA for 52
28 weeks. With respect to the liver, although Devarbhavi⁵⁴ reported liver fibrosis in response to
29 methotrexate, an immunosuppressive agent, De Freitas et al.⁵⁵ did not observe this
30 phenomenon in male *Wistar* rats administered with 15 mg/kg of CsA for 21 days. The
31 comparison with methotrexate is justified by the fact that the study used a non-
32 immunosuppressive dose of CsA. Because collagen plays a key role in tissue integrity,⁵⁶ the
33 absence of changes in the present study indicates that the structures of the kidney and liver
34 were not impaired in response to CsA.

1 Lim et al.⁵⁷ and Ince et al.⁵⁸ reported that the increased production of ROS and,
2 consequently, oxidative stress are directly associated with kidney and liver damage induced
3 by CsA exposure. This process promotes mitochondrial changes that result in disruption of
4 $\text{Na}^+ \text{K}^+$ -ATPase activity and a concomitant reduction in ATP production.¹⁵

5 In the present study, a significant increase was observed in lipid peroxidation in the
6 kidneys and livers of the animals in the CsA50r group, shown by the increase in levels of
7 thiobarbituric acid reactive substances (TBARS). This data indicates that tissue damage
8 occurs after the cessation of exposure to CsA and that it is directly related to the low
9 antioxidant capacity of GST and SOD. This finding indicates impairment of the cellular
10 signaling machinery associated with the antioxidant system. Although renal GST activity was
11 reduced in all groups exposed to CsA and the liver GST levels were reduced in the CsA50i
12 and CsA50r groups, the tissue was able to protect itself from oxidative damage induced by
13 CsA, and no increase was observed in the lipid peroxidation in the tissues. The same
14 interpretation can be applied to the results of renal SOD activity, which was reduced in the
15 CsA10i and CsA10r groups. It is important to note that the normalization of SOD activity in
16 the kidneys and liver of animals in the CsA50r group demonstrates that the organism seeks to
17 protect itself from the harmful effects of lipid peroxidation. The reduction in the activity of
18 antioxidant enzymes is directly associated with the increase in TBARS because the decrease
19 in the levels of antioxidants present in the organ facilitates the process of lipid peroxidation,⁴²
20 which can lead to several alterations in the kidneys and livers.⁵⁹ In the study performed by
21 Ghaznavi et al.⁶⁰ in which a dose of 25 mg/kg of CsA was administered to male Sprague
22 Dawley rats, a reduction was observed in the renal antioxidant defense, which is in line with
23 the data obtained in the present study. Similarly, Wolf et al.¹⁸ using 25 and 50 μM of CsA in
24 primary cultures of rat hepatocytes, detected impairment of the antioxidant system that
25 favored the pro-oxidative processes in these cells. The present data provide evidence that
26 oxidative stress is part of the mechanism underlying CsA-mediated toxicity in the liver and
27 kidney cells.

28 In the present study, it was evident that CsA altered the kidney and liver in a specific
29 and independent manner with respect to tissue architecture and function and that the kidneys
30 underwent less damage in response to CsA. In both organs, these changes cannot be associated
31 with oxidative stress because our results showed no changes in the oxidative stress
32 biomarkers. Thus, although CsA is necessary for the treatment of a variety of disorders, it
33 should be used with careful monitoring of the renal system and especially of the hepatic
34 system.

1

2 **CONCLUSION**

3 We conclude that exposure to a safe (non-immunosuppressive) dose of CsA causes
4 significant damage to the liver in the immediate and late stages following exposure, whereas
5 damage to the kidneys was observed only after the recovery period. Therefore, under these
6 experimental conditions, the liver is more sensitive to the action of CsA than the kidneys, and
7 this sensitivity is not related to oxidative stress.

8

9 **CONFLICTS OF INTEREST**

10 The authors declare no potential conflicts of interest with respect to the research,
11 authorship, and/or publication of this article.

12

13 **ACKNOWLEDGMENTS**

14 This paper is part of the master's thesis of P.M.M. Figaro (State University of Londrina
15 - Brazil) performed under the supervision of G.S.A. Fernandes.

16 This study was partially funded by the Coordenação de Aperfeiçoamento de Pessoal
17 de Nível Superior - Brazil (CAPES) - Financial Code 001. The authors thank CAPES/PROEX
18 for the scholarship granted to P.M.M. Figaro.

19

20 **ORCID iD:**

21 Suellen Ribeiro da Silva Scarton: <https://orcid.org/0000-0002-3547-6389>

22 Gláucia de Lion Siervo: <https://orcid.org/0000-0003-2084-4203>

23 Fábio Goulart de Andrade: <https://orcid.org/0000-0002-0206-4986>

24 Glaura Scantamburlo Alves Fernandes: <https://orcid.org/0000-0002-6043-1131>

1

2 **REFERÊNCIAS**

- 3 1. Hyung S-J, Feng X, Che Y, et al. Detection of conformation types of cyclosporin
4 retaining intramolecular hydrogen bonds by mass spectrometry. *Anal Bioanal Chem*
5 2014; 406: 5785–5794.
- 6 2. Ho V. The use of ciclosporin in psoriasis: A clinical review. *Br J Dermatology, Suppl*
7 2004; 150: 1–10.
- 8 3. Stähelin HF. The history of cyclosporin A (Sandimmune) revisited: another point of
9 view. *Experientia* 1996; 52: 5–13.
- 10 4. Rusnak F, Mertz P. Calcineurin: Form and function. *Physiological Reviews* 2000; 80:
11 1483–1521.
- 12 5. Campistol JM, Sacks SH. Mechanisms Of Nephrotoxicity. 2000; SS5–SS10.
- 13 6. Damiano S, Ciarcia R, Montagnaro S, et al. Prevention of Nephrotoxicity Induced by
14 Cyclosporine-A: Role of Antioxidants. *J Cell Biochem* 2015; 116: 364–369.
- 15 7. El-Bassossy HM, Eid BG. Cyclosporine A exhibits gender-specific nephrotoxicity in
16 rats: Effect on renal tissue inflammation. *Biochem Biophys Res Commun* 2018; 495:
17 468–472.
- 18 8. Moon D, Kim J. Cyclosporin A aggravates hydrogen peroxide-induced cell death in
19 kidney proximal tubule epithelial cells. *Anat Cell Biol* 2019; 52: 312–323.
- 20 9. Shirolikar M, Pande S, Borkar M, et al. Managing a side effect : Cyclosporine-
21 Induced nephrotoxicity Introduction Pathophysiology of Nephrotoxicity Risk Factors
22 for Cyclosporine Nephrotoxicity. 2020; 1–7.
- 23 10. Murray BM, Paller MS, Ferris TF. Effect of cyclosporine administration on renal
24 hemodynamics in conscious rats. *Kidney Int* 1985; 28: 767–74.
- 25 11. Barros J, B MA, Ajzen Ti, et al. *Glomerular hemodynamics and hormonal*
26 *participation on cyclosporine nephrotoxicity*. Epub ahead of print 1987. DOI:
27 10.1038/ki.1987.166.
- 28 12. Textor SC, Burnetit JC, Romero JC, et al. *Urinary endothelin and renal*
29 *vasoconstriction with cyclosporine or FK506 after liver transplantation*. Epub ahead
30 of print 1995. DOI: 10.1038/ki.1995.200.
- 31 13. Caires A, Fernandes GS, Leme AM, et al. Endothelin-1 receptor antagonists protect

- 1 the kidney against the nephrotoxicity induced by cyclosporine-A in normotensive and
2 hypertensive rats. *Brazilian J Med Biol Res* 2018; 51: 1–9.
- 3 14. Heyman SN, Abassi Z, Rosenberger C, et al. Cyclosporine A induces endothelin-
4 converting enzyme-1: Studies in vivo and in vitro. *Acta Physiol*; 223. Epub ahead of
5 print 1 May 2018. DOI: 10.1111/apha.13033.
- 6 15. Korolczuk A, Caban K, Amarowicz M, et al. Oxidative Stress and Liver Morphology
7 in Experimental Cyclosporine A-Induced Hepatotoxicity. *Biomed Res Int*; 2016. Epub
8 ahead of print 2016. DOI: 10.1155/2016/5823271.
- 9 16. Wolf A, Trendelenburg CF, Diez-Fernandez C, et al. Cyclosporine A-induced
10 oxidative stress in rat hepatocytes. *J Pharmacol Exp Ther* 1997; 280: 1328–1334.
- 11 17. Hagar HH. The protective effect of taurine against cyclosporine A-induced oxidative
12 stress and hepatotoxicity in rats. *Toxicol Lett* 2004; 151: 335–343.
- 13 18. Illsinger S, Janzen N, Lücke T, et al. Cyclosporine A: impact on mitochondrial
14 function in endothelial cells. *Clin Transplant* 2011; 25: 584–593.
- 15 19. Guada M, Lana H, Gil AG, et al. Cyclosporine A lipid nanoparticles for oral
16 administration: Pharmacodynamics and safety evaluation. *Eur J Pharm Biopharm*
17 2016; 101: 112–118.
- 18 20. Bancroft JD, Gamble M. *Theory and Practice of Histological Techniques*. 5th ed.
19 Edinburgh: Churchill Livingstone, [https://www.worldcat.org/title/theory-and-](https://www.worldcat.org/title/theory-and-practice-of-histological-techniques/oclc/48110455)
20 [practice-of-histological-techniques/oclc/48110455](https://www.worldcat.org/title/theory-and-practice-of-histological-techniques/oclc/48110455) (2002, accessed 25 March 2021).
- 21 21. Imafidon EC, Akomolafe RO, Oladele AA. Sexually dimorphic proteinuria in Wistar
22 rats: Relevance to clinical models. *Pathophysiology* 2016; 23: 51–59.
- 23 22. Olatunji S, Adewole O, Ayannuga O, et al. Microanatomy and histomorphometry
24 analysis of the effects of *Moringa oleifera* leaf extract on lead-induced kidney
25 damage in adult wistar rats. *Int J Biol Chem Sci* 2015; 9: 1599.
- 26 23. Nirmal NK, Awasthi KK, John PJ. Hepatotoxicity of graphene oxide in Wistar rats.
27 *Environ Sci Pollut Res*. Epub ahead of print 2020. DOI: 10.1007/s11356-020-09953-
28 0.
- 29 24. Adisa A, Udeabor S, Kubesch A, et al. The utility of azan trichrome staining in
30 Ameloblastoma. *Niger Postgrad Med J* 2016; 23: 44.
- 31 25. Pupim ACE, Campos TG, Araújo EJ de A, et al. Infection and tissue repair of
32 experimental cutaneous candidiasis in diabetic mice. *J Med Microbiol* 2017; 66: 808–
33 815.
- 34 26. Buege JA, Aust SD. Microsomal Lipid Peroxidation. *Methods Enzymol* 1978; 52:

- 1 302–310.
- 2 27. Keen JH, Habig WH, Jakoby WB. *Mechanism for the Several Activities of the*
3 *Glutathione S-Transferases*, <http://www.jbc.org/> (1976, accessed 12 January 2021).
- 4 28. Crouch RK, Gandy SE, Kimsey G, et al. The inhibition of islet superoxide dismutase
5 by diabetogenic drugs. *Diabetes* 1981; 30: 235–241.
- 6 29. Lu Y, Li C, Ping N, et al. Hydrogen-rich water alleviates cyclosporine A-induced
7 nephrotoxicity via the Keap1/Nrf2 signaling pathway. *J Biochem Mol Toxicol*; 34.
8 Epub ahead of print 10 May 2020. DOI: 10.1002/jbt.22467.
- 9 30. Myers BD, Ross J, Newton L, et al. Cyclosporine-Associated Chronic Nephropathy.
10 *N Engl J Med* 1984; 311: 699–705.
- 11 31. Harb I, Ashour H, Sabry D, et al. Nicorandil prevents the nephrotoxic effect of
12 cyclosporine-A in albino rats through modulation of HIF-1 α /VEGF /eNOS signaling.
13 *Can J Physiol Pharmacol*. Epub ahead of print 21 August 2020. DOI: 10.1139/cjpp-
14 2020-0012.
- 15 32. Abensur H. *Biomarcadores na Nefrologia*,
16 <http://arquivos.sbn.org.br/pdf/biomarcadores.pdf> (2011, accessed 15 September
17 2018).
- 18 33. Laskow DA, Curtis JJ, Luke RG, et al. Cyclosporine-induced changes in glomerular
19 filtration rate and urea excretion. *Am J Med* 1990; 88: 497–502.
- 20 34. Isnard Bagnis C, Tezenas du Montcel S, Beaufile H, et al. Long-term renal effects of
21 low-dose cyclosporine in uveitis-treated patients: follow-up study. *J Am Soc Nephrol*
22 2002; 13: 2962–8.
- 23 35. Sereno HV, S. Nunes PR-P, E. Carvalho RA, et al. Cyclosporine A-induced
24 nephrotoxicity is ameliorated by dose reduction and conversion to sirolimus in the rat.
25 *J Physiol Pharmacol* 2015; 66: 285–299.
- 26 36. Patel L, Thaker A. The effects of A 2B receptor modulators on vascular endothelial
27 growth factor and nitric oxide axis in chronic cyclosporine nephropathy. *J Pharmacol*
28 *Pharmacother*; |. Epub ahead of print 2015. DOI: 10.4103/0976-500X.162014.
- 29 37. Battino M, Bompadre S, Leone L, et al. The effect of Cyclosporine A chronic
30 administration on the antioxidant pattern of rat liver mitochondria: Structural and
31 functional consequences. *BioFactors* 2003; 18: 271–275.
- 32 38. Kurus M, Esrefoglu M, Sogutlu G, et al. Melatonin Prevents Cyclosporine-Induced
33 Hepatotoxicity in Rats. *Med Princ Pract* 2009; 18: 407–410.
- 34 39. Nacar A, Karaboğa İ, Okuyan HM, et al. Investigation of the protective effect of

- 1 erdosteine against cyclosporine-induced injury in rat liver with histological and
2 biochemical methods. *Turkish J Med Sci* 2015; 45: 1390–1395.
- 3 40. Hoorn EJ, Walsh SB, McCormick JA, et al. Pathogenesis of calcineurin inhibitor-
4 induced hypertension. *Journal of Nephrology* 2012; 25: 269–275.
- 5 41. Yüce A, Ateşşahin A, Çeribaşı AO. Amelioration of cyclosporine A-induced renal,
6 hepatic and cardiac damages by ellagic acid in rats. *Basic Clin Pharmacol Toxicol*
7 2008; 103: 186–191.
- 8 42. Bingul I, Olgac V, Bekpınar S, et al. The protective effect of resveratrol against
9 cyclosporine A-induced oxidative stress and hepatotoxicity. *Arch Physiol Biochem*
10 2019; 0: 1–6.
- 11 43. Elisa Böhmer A, Ribeiro Corrêa AM, de Souza DG, et al. Long-term cyclosporine
12 treatment: Evaluation of serum biochemical parameters and histopathological
13 alterations in Wistar rats. *Exp Toxicol Pathol* 2011; 63: 119–123.
- 14 44. Beauchesne PR, Chung NSC, Wasan KM. Cyclosporine A: A review of current oral
15 and intravenous delivery systems. *Drug Dev Ind Pharm* 2007; 33: 211–220.
- 16 45. Tian Z, Liu H, Su X, et al. Role of elevated liver transaminase levels in the diagnosis
17 of liver injury after blunt abdominal trauma. *Exp Ther Med* 2012; 4: 255–260.
- 18 46. Srivastava AR, Kumar S, Agarwal GG, et al. Blunt abdominal injury: Serum ALT-A
19 marker of liver injury and a guide to assessment of its severity. *Injury* 2007; 38:
20 1069–1074.
- 21 47. Kim WR, Flamm SL, Di Bisceglie AM, et al. Serum activity of alanine
22 aminotransferase (ALT) as an indicator of health and disease. *Hepatology* 2008; 47:
23 1363–1370.
- 24 48. Kedzierska K, Sporniak-Tutak K, Kolasa A, et al. The effect of immunosuppressive
25 therapy on renal cell apoptosis in native rat kidneys. *Histol Histopathol* 2015; 30:
26 105–16.
- 27 49. Akbulut S, Elbe H, Eris C, et al. Effects of antioxidant agents against cyclosporine-
28 induced hepatotoxicity. *J Surg Res* 2015; 193: 658–666.
- 29 50. Yoshioka K, Takemura T, Akano N, et al. Distribution Of Type I Collagen In Human
30 Kidney Diseases In Comparison With Type Iii Collagen. *J Patol* 1990; 162: 141–148.
- 31 51. Djamali A, Wilson NA, Sadowski EA, et al. Nox2 and Cyclosporine-Induced Renal
32 Hypoxia. *Transplantation* 2017; 100: 1198–1210.
- 33 52. Rezzani R, Rodella L, Buffoli B, et al. Change in Renal Heme Oxygenase Expression
34 in Cyclosporine A-induced Injury. *J Histochem Cytochem* 2005; 53: 105–112.

- 1 53. Rowshani AT, Scholten EM, Bemelman F, et al. No Difference in Degree of
2 Interstitial Sirius Red-Stained Area in Serial Biopsies from Area under
3 Concentration-over-Time Curves-Guided Cyclosporine versus Tacrolimus-Treated
4 Renal Transplant Recipients at One Year. *J Am Soc Nephrol* 2006; 17: 305–312.
- 5 54. Devarbhavi H. An Update on Drug-induced Liver Injury. *Journal of Clinical and*
6 *Experimental Hepatology* 2012; 2: 247–259.
- 7 55. De Freitas KM, Almeida JM, Monteiro JC, et al. The effects of cyclosporin A And
8 *heteropterys tomentosa* on the rat liver. *An Acad Bras Cienc* 2015; 87: 369–379.
- 9 56. Rich L, Whittaker P. *Collagen and Picrosirius red Staining: A Polarized light*
10 *Assessment Of Fibrillar Hue And Spatial Distribution,*
11 <http://jms.org.br/PDF/v22n2a06.pdf> (2005, accessed 30 August 2018).
- 12 57. Lim SW, Hyoungh BJ, Piao SG, et al. Chronic cyclosporine nephropathy is
13 characterized by excessive autophagosome formation and decreased autophagic
14 clearance. *Transplantation* 2012; 94: 218–225.
- 15 58. Ince S, Arslan-Acaroz D, Demirel HH, et al. Taurine alleviates malathion induced
16 lipid peroxidation, oxidative stress, and proinflammatory cytokine gene expressions
17 in rats. *Biomed Pharmacother* 2017; 96: 263–268.
- 18 59. Huang J, Yao X, Weng G, et al. Protective effect of curcumin against cyclosporine A-
19 induced rat nephrotoxicity. *Mol Med Rep* 2018; 17: 6038–6044.
- 20 60. Ghaznavi R, Zahmatkesh M, Kadkhodae M, et al. Cyclosporine Effects on the
21 Antioxidant Capacity of Rat Renal Tissues. *Transplant Proc* 2007; 39: 866–867.

1 FIGURES AND FIGURE LEGENDS

2 **Figure 1.** Morphometric evaluation of the kidneys of animals exposed to CsA. Diameter of
3 (A) glomeruli, (B) Bowman space, (C) proximal and (D) distal convoluted tubules and (E)
4 collecting tubules. Groups: Control (c); CsA 10 days immediate (10i); CsA 10 days Recovery
5 (10r); CsA 50 days Immediate (50i); CsA 50 days Recovery (50r). Values expressed as mean
6 \pm SD. One-way ANOVA, Tukey's post-test (* p <0.05).

7
8 **Figure 2.** Morphometric evaluation of the liver of animals exposed to CsA. Mean diameter of
9 (A) portal venules, (B) bile ducts and (C) centrilobular venules, mean number of adherent
10 cells (leukocytes) in (D) portal venule and (E) centrilobular venule, mean diameter of (F)
11 sinusoids (portal venule) and (G) sinusoids (centrilobular venule). Groups: Control (c); CsA
12 10 days immediate (10i); CsA 10 days Recovery (10r); CsA 50 days Immediate (50i); CsA 50
13 days Recovery (50r). Values expressed as mean \pm SD. One-way ANOVA, Tukey's post-test
14 (* p <0.05).

15
16 **Figure 3.** Histochemical analysis of the kidneys of animals exposed to CsA. Percentage of
17 neutral glycoconjugates (PAS) from (A) cortical and (B) medullary regions. Percentage of total
18 collagen (Azan), from (C) cortical and (D) medullary regions. Percentage of collagens I and
19 III (Picosirius) in the (E) cortical and (F) medullary regions. Groups: Control (c); CsA 10
20 days immediate (10i); CsA 10 days Recovery (10r); CsA 50 days Immediate (50i); CsA 50
21 days Recovery (50r). Values expressed as mean \pm SD. One-way ANOVA, Tukey's post-test
22 (* p <0.05).

23
24 **Figure 4.** Histochemical analysis of the liver of animals exposed to CsA. Percentage of neutral
25 glycoconjugates (PAS) from (A) portal venule and (B) centrilobular venule regions. Total
26 collagen (Azan), from the (C) centrilobular venule and (D) portal venule regions. Percentage
27 of collagens I and III (Picosirius) in the region of (E) portal venule and (F) centrilobular
28 venule. Groups: Control (c); CsA 10 days immediate (10i); CsA 10 days Recovery (10r); CsA
29 50 days Immediate (50i); CsA 50 days Recovery (50r). Values expressed as mean \pm SD. One-
30 way ANOVA, Tukey's post-test (* p <0.05).

31 **Figure 5.** Renal toxicity and liver function of animals exposed to CsA. Evaluation of plasma
32 biomarker concentrations for renal toxicity; (A) Urea, (B) Creatinine and for liver function
33 (C) AST, (D) ALT. Groups: Control (c); CsA 10 days immediate (10i); CsA 10 days Recovery
34 (10r); CsA 50 days Immediate (50i); CsA 50 days Recovery (50r). Values expressed as mean
35 \pm SD. One-way ANOVA, Tukey's post-test (* p <0.05).

36 **Figure 6.** Determination of oxidative stress biomarkers in kidney and liver of animals exposed
37 to CsA. TBARS dosage in (A) kidney and (B) liver. GST activity in (C) kidney and (D) liver. SOD
38 activity in (E) kidney and (F) liver. Groups: Control (c); CsA 10 days immediate (10i); CsA 10
39 days Recovery (10r); CsA 50 days Immediate (50i); CsA 50 days Recovery (50r). Values
40 expressed as mean \pm SD. One-way ANOVA, Tukey's post-test (* p <0.05).

41

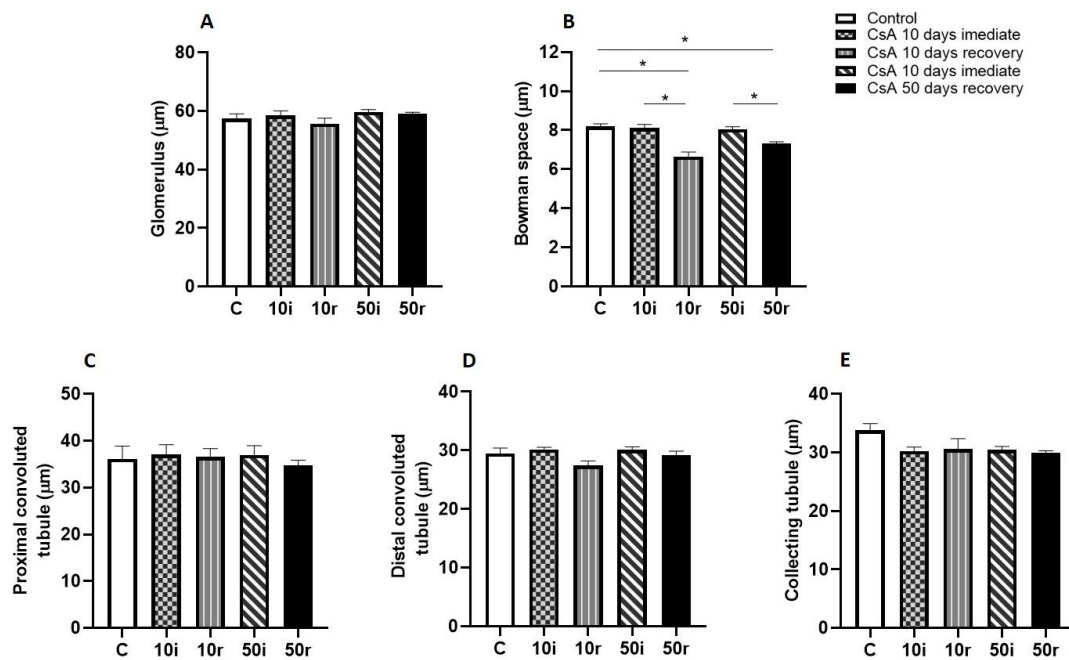


Figure 1.

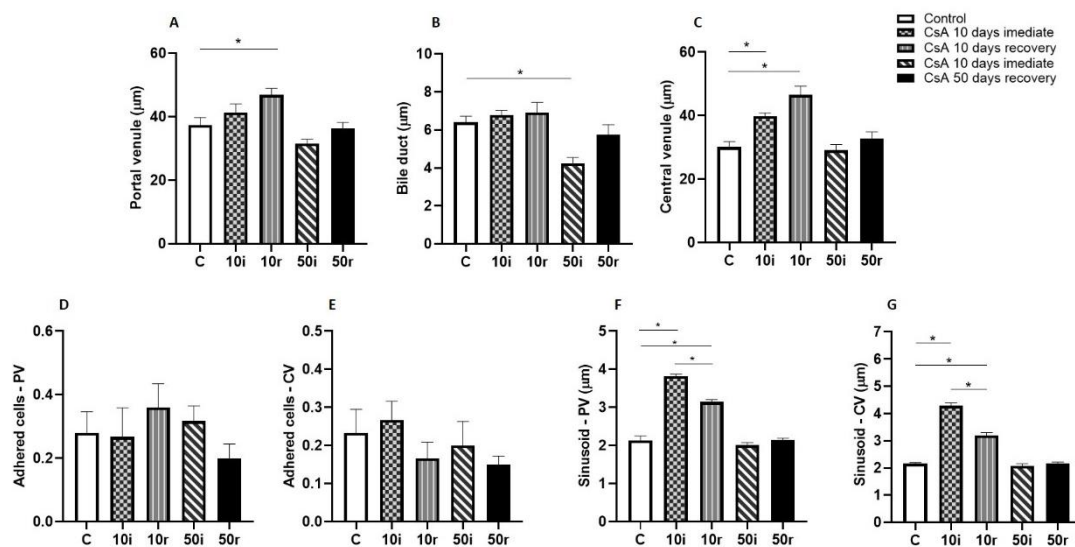


Figure 2.

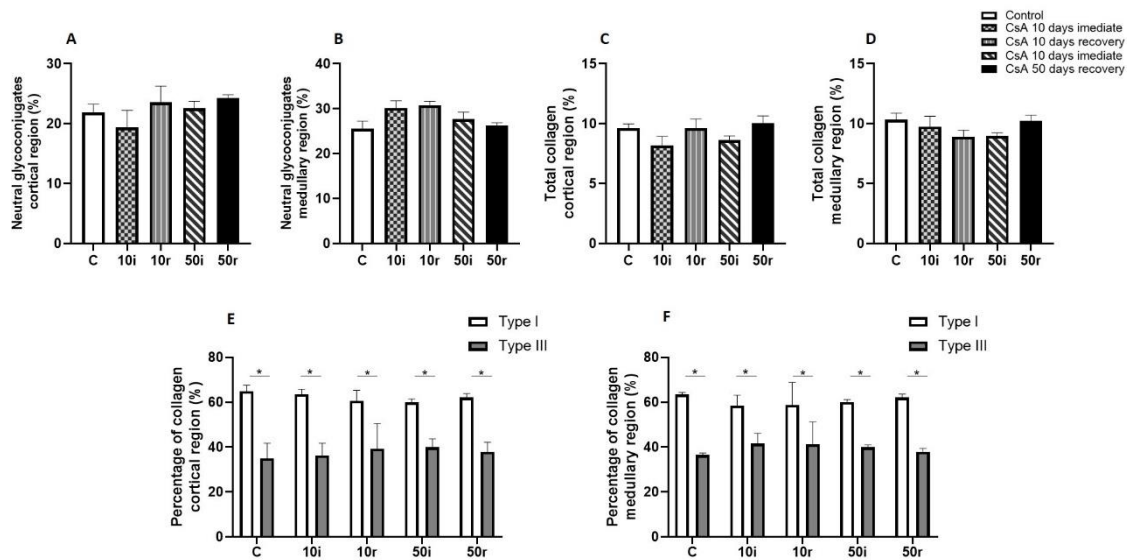


Figure 3.

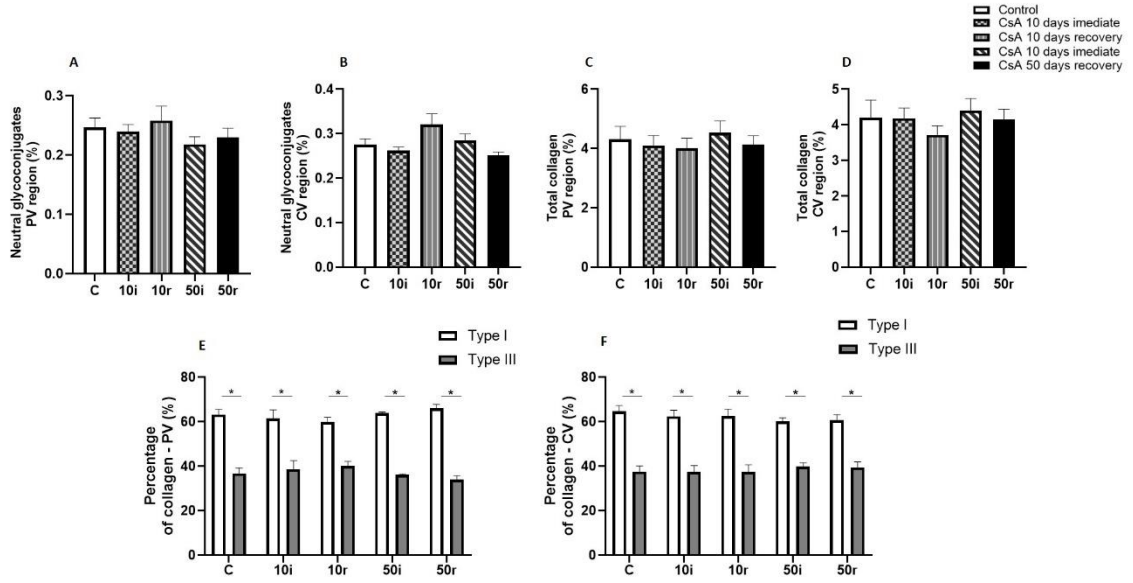


Figure 4.

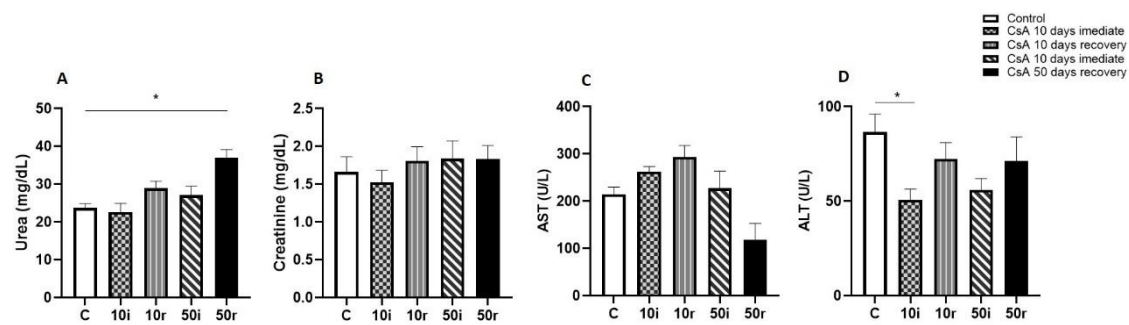


Figure 5.

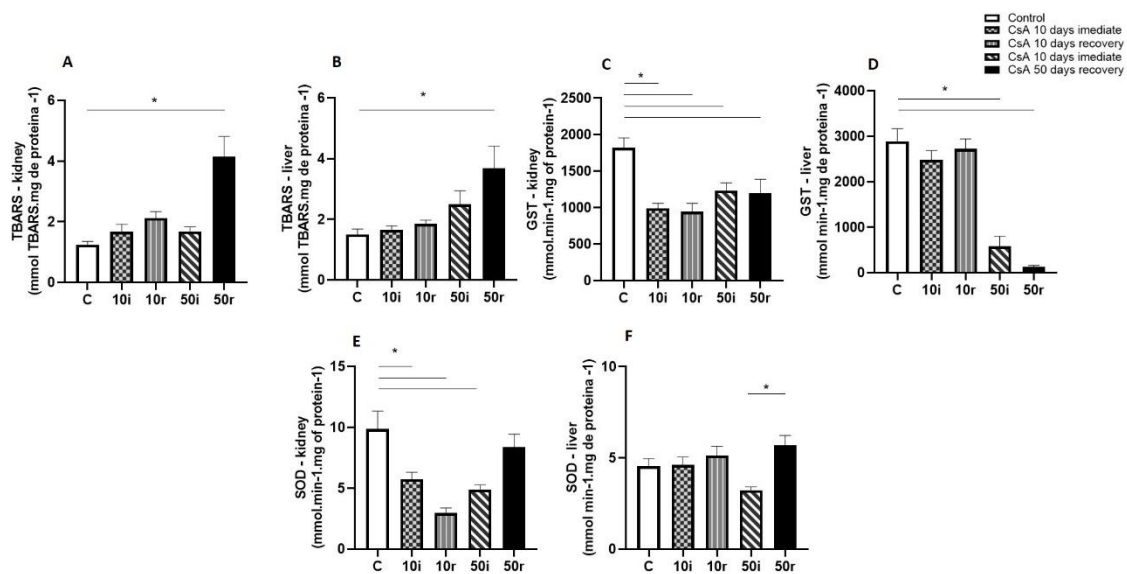


Figure 6.

1 **5 CONCLUSÃO GERAL**

2
3 Conclui-se que a exposição as doses de 10 mg/kg e 50 mg/kg de malation no período
4 peripuberal causam danos significativos aos rins, alterando a sua morfologia, além de causar
5 alterações na função hepática e renal. Em relação à exposição a baixa dose de CsA são
6 identificados danos hepáticos de modo imediato e após o período de recuperação, enquanto
7 os rins estas alterações são identificadas apenas após este período.

1 REFERÊNCIAS

- 2 ABBAS, A. K.; LICHTMAN, A. H.; PILLAI, S. *Imunologia Celular e Molecular -*
3 *Abbas 8 ed. Elsevier Editora Ltda*, n. 8, p. 631–667, 2015.
- 4 ABDEL-SALAM, O. M. et al. Preventive effects of cannabis on neurotoxic and
5 hepatotoxic activities of malathion in rat. 2018.
- 6 ABOUBAKR, H. M. et al. Therapeutic effects of N -acetylcysteine against malathion-
7 induced hepatotoxicity. v. 6, 2019.
- 8 ADU, D. et al. HYPERKALAEMIA IN CYCLOSPORIN-TREATED RENAL
9 ALLOGRAFT RECIPIENTS. **The Lancet**, v. 322, n. 8346, p. 370–372, 13 ago.
10 1983.
- 11 AGARWAL, A.; SAID, T. M. Oxidative stress, DNA damage and apoptosis in male
12 infertility: A clinical approach. **BJU International**, v. 95, n. 4, p. 503–507, 2005.
- 13 AHMED FETOUH, F.; AL SHAHAT, A. Hepato-protective effect of green tea extract
14 on cyclosporine a treated rabbits: Histological and ultrastructural study. **Life**
15 **Science Journal**, v. 10, n. 1, p. 1924–1932, 2013.
- 16 AKBEL, E. et al. The subchronic exposure to malathion, an organophosphate
17 pesticide, causes lipid peroxidation, oxidative stress, and tissue damage in rats: The
18 protective role of resveratrol. **Toxicology Research**, v. 7, n. 3, p. 503–512, 8 maio
19 2018.
- 20 AKOOL, E. S. et al. Cyclosporin A and tacrolimus induce renal Erk1/2 pathway via
21 ROS-induced and metalloproteinase-dependent EGF-receptor signaling.
22 **Biochemical Pharmacology**, v. 83, n. 2, p. 286–295, 2012.
- 23 AKOOL, E. S. Molecular mechanisms of the protective role of wheat germ oil
24 against cyclosporin A-induced hepatotoxicity in rats. **Pharmaceutical Biology**, v.
25 53, n. 9, p. 1311–1317, 2015.
- 26 AL-ATTAR, A. M. Physiological and Histopathological Investigations on the Effects
27 of α -Lipoic Acid in Rats Exposed to Malathion. **Journal of Biomedicine and**
28 **Biotechnology**, v. 2010, 2010.
- 29 ALANO, C. C.; YING, W.; SWANSON, R. A. Poly(ADP-ribose) Polymerase-1-
30 mediated Cell Death in Astrocytes Requires NAD⁺ Depletion and Mitochondrial
31 Permeability Transition. **Journal of Biological Chemistry**, v. 279, n. 18, p. 18895–
32 18902, 2004.
- 33 ALLEN, W. E. **diFiore's Atlas of Histology with Functional Correlations (11th**
34 **Edition)**. [s.l: s.n.]v. 213
- 35 ATHER, N. A. et al. ACUTE ORGANOPHOSPHATE INSECTICIDE POISONING.
36 **Journal of Surgery Pakistan**, v. 13, n. 2, p. 71–74, 2008.

- 1 BACONI, D. L. et al. Investigation of the toxicity of some organophosphorus
2 pesticides in a repeated dose study in rats. **Romanian Journal of Morphology
3 and Embryology**, v. 54, n. 2, p. 349–356, 2013.
- 4 BADR, A. M. Organophosphate toxicity: updates of malathion potential toxic effects
5 in mammals and potential treatments. **Environmental Science and Pollution
6 Research**, v. 27, n. 21, p. 26036–26057, 2020.
- 7 BALAH, A.; EZZAT, O.; AKOOL, E. S. Vitamin E inhibits cyclosporin A-induced
8 CTGF and TIMP-1 expression by repressing ROS-mediated activation of TGF-
9 β /Smad signaling pathway in rat liver. **International Immunopharmacology**, v. 65,
10 n. April, p. 493–502, 2018.
- 11 BARBOSA, K. B. F. et al. Estresse oxidativo: Conceito, implicações e fatores
12 modulatórios. **Revista de Nutricao**, v. 23, n. 4, p. 629–643, 2010.
- 13 BEAUCHESNE, P. R.; CHUNG, N. S. C.; WASAN, K. M. Cyclosporine A: A review
14 of current oral and intravenous delivery systems. **Drug Development and
15 Industrial Pharmacy**, v. 33, n. 3, p. 211–220, 2007.
- 16 BINGUL, I. et al. The protective effect of resveratrol against cyclosporine A-induced
17 oxidative stress and hepatotoxicity. **Archives of Physiology and Biochemistry**, v.
18 0, n. 0, p. 1–6, 2019.
- 19 BLOCK, L. H.; SUTTER, P. M.; MIHATSCH, M. J. Cyclosporin a: Pharmacologic
20 activity on the immune system and effects in clinical organ transplantation.
21 **Klinische Wochenschrift**, v. 61, n. 21, p. 1053–1062, 1983.
- 22 BOLAND, J. et al. Tissue distribution and toxicity of cyclosporin A in the mouse.
23 **Pathology**, v. 16, n. 2, p. 117–123, 1 jan. 1984.
- 24 BOREL, J. F. et al. Biological effects of cyclosporin A: A new antilymphocytic agent.
25 **Agents and Actions**, v. 43, n. 3–4, p. 179–186, 1994.
- 26 BOREL, J. F. et al. In Vivo Pharmacological Effects of Ciclosporin and Some
27 Analogues. **Advances in Pharmacology**, v. 35, n. C, p. 115–246, 1996.
- 28 BURATTI, F. M.; TESTAI, E. Malathion detoxification by human hepatic
29 carboxylesterases and its inhibition by isomalathion and other pesticides. **Journal
30 of Biochemical and Molecular Toxicology**, v. 19, n. 6, p. 406–414, 2006.
- 31 BURDMANN, E. A. et al. Cyclosporine nephrotoxicity. **Seminars in Nephrology**, v.
32 23, n. 5, p. 465–476, 2003.
- 33 CAIRES, A. et al. Endothelin-1 receptor antagonists protect the kidney against the
34 nephrotoxicity induced by cyclosporine-A in normotensive and hypertensive rats.
35 **Brazilian Journal of Medical and Biological Research**, v. 51, n. 2, p. 1–9, 2018.
- 36 CAMPISTOL, J. M.; SACKS, S. H. Mechanisms Of Nephrotoxicity. p. SS5–SS10,
37 2000.
- 38 CHEN, Y. et al. The Protective Effect of Fluorofenidone against Cyclosporine A-

- 1 Induced Nephrotoxicity. **Kidney and Blood Pressure Research**, v. 44, n. 4, p.
2 656–668, 2019.
- 3 CHONG, W. C.; SHASTRI, M. D.; ERI, R. Endoplasmic reticulum stress and
4 oxidative stress: A vicious nexus implicated in bowel disease pathophysiology.
5 **International Journal of Molecular Sciences**, v. 18, n. 4, p. 1–19, 2017.
- 6 COBAN, F. K. et al. Boron attenuates malathion-induced oxidative stress and
7 acetylcholinesterase inhibition in rats. **Drug and Chemical Toxicology**, v. 38, n. 4,
8 p. 391–399, 2015.
- 9 COLOMBO, D.; AMMIRATI, E. Cyclosporine in transplantation - A history of
10 converging timelines. **Journal of biological regulators and homeostatic agents**,
11 v. 25, n. 4, p. 493–504, 2011.
- 12 CZERSKA, M. et al. Today's oxidative stress markers. **Medycyna Pracy**, v. 66, n.
13 3, p. 393–405, 2015.
- 14 DE ARRIBA, G. et al. Cyclosporine A-induced apoptosis in renal tubular cells is
15 related to oxidative damage and mitochondrial fission. **Toxicology Letters**, v. 218,
16 n. 1, p. 30–38, 7 mar. 2013.
- 17 DE CHIARA, L. et al. MiR302 regulates SNAI1 expression to control mesangial cell
18 plasticity. **Scientific Reports**, v. 7, n. February, p. 1–14, 2017.
- 19 DE FREITAS, K. M. et al. The effects of cyclosporin A And heteropterys tomentosa
20 on the rat liver. **Anais da Academia Brasileira de Ciencias**, v. 87, n. 1, p. 369–
21 379, 2015.
- 22 DEHGHANI, M. H. et al. High-performance removal of diazinon pesticide from water
23 using multi-walled carbon nanotubes. **Microchemical Journal**, v. 145, p. 486–491,
24 1 mar. 2019.
- 25 DUMAS, S. J. et al. Phenotypic diversity and metabolic specialization of renal
26 endothelial cells. **Nature Reviews Nephrology**, v. 0123456789, 2021.
- 27 EKREMOĞLU, M. et al. An investigation of acute effects at various doses of
28 malathion on glucose homeostasis and insulin resistance in rat liver, pancreas and
29 serum. **Journal of Mind and Medical Sciences**, v. 7, n. 1, p. 85–93, 2020.
- 30 ERTHAL, R. P. et al. Exposure to low doses of malathion during juvenile and
31 peripubertal periods impairs testicular and sperm parameters in rats: Role of
32 oxidative stress and testosterone. **Reproductive Toxicology**, v. 96, n. April, p. 17–
33 26, 2020.
- 34 ESEN; UYSAL. Protective effects of intravenous lipid emulsion on malathion-
35 induced hepatotoxicity. **Bratisl Med Journal**, v. 119, n. 6, p. 373–378, 2018.
- 36 ESPINOZA-NAVARRO, O.; PONCE-LAROSA, C.; BUSTOS-OBREGÓN, E.
37 Organophosphorous Pesticides: Their Effects on Biosentinel Species and Humans.
38 Control and Application in Chile. **International Journal of Morphology**, v. 35, n. 3,
39 p. 1069–1074, 2017.

- 1 FAULDS, D.; GOA, K. L.; BENFIELD, P. Cyclosporin. **Drugs**, v. 45, n. 6, p. 953–
2 1040, jun. 1993.
- 3 FLORES, C. et al. Lessons to learn from low-dose cyclosporin-A: A new approach
4 for unexpected clinical applications. **Frontiers in Immunology**, v. 10, n. MAR, p. 1–
5 7, 2019.
- 6 FOUAD, D.; BADR, A.; ATTIA, H. A. Hepatoprotective activity of raspberry ketone is
7 mediated: Via inhibition of the NF- κ B/TNF- α /caspase axis and mitochondrial
8 apoptosis in chemically induced acute liver injury. **Toxicology Research**, v. 8, n. 5,
9 p. 663–676, 2019.
- 10 FRANCO, J. L. et al. Zinc reverses malathion-induced impairment in antioxidant
11 defenses. **Toxicology Letters**, v. 187, n. 3, p. 137–143, 2009.
- 12 FUJII, H.; KAWADA, N. Inflammation and fibrogenesis in steatohepatitis. **Journal of**
13 **Gastroenterology**, v. 47, n. 3, p. 215–225, 2012.
- 14 GARTNER, L. .; HIATT, J. . **Tratado de Histologia em cores**. [s.l.] Elsevier Health
15 Sciences Brazil, 2017.
- 16 GEBHARDT, R.; MATZ-SOJA, M. **Liver zonation: Novel aspects of its regulation**
17 **and its impact on homeostasis** **World Journal of Gastroenterology** WJG Press, ,
18 14 jul. 2014.
- 19 GHAZNAVI, R. et al. Cyclosporine Effects on the Antioxidant Capacity of Rat Renal
20 Tissues. **Transplantation Proceedings**, v. 39, n. 4, p. 866–867, 1 maio 2007.
- 21 GOLAN, E. D. **Princípios de farmacologia**. 2. ed. Rio de Janeiro: Guanabara
22 Koogan, 2009.
- 23 GUADA, M. et al. Cyclosporine A lipid nanoparticles for oral administration:
24 Pharmacodynamics and safety evaluation. **European Journal of Pharmaceutics**
25 **and Biopharmaceutics**, v. 101, p. 112–118, 1 abr. 2016.
- 26 GUICCIARDI, M. E. et al. Apoptosis and necrosis in the liver. **Comprehensive**
27 **Physiology**, v. 3, n. 2, p. 977–1010, 2013.
- 28 GUPTA, V. K. et al. Anti-Inflammatory and Antioxidative Potential of Aloe vera on
29 the Cartap and Malathion Mediated Toxicity in Wistar Rats. **International Journal**
30 **of Environmental Research and Public Health**, v. 17, n. 14, p. 5177, 17 jul. 2020.
- 31 HAGAR, H. H. The protective effect of taurine against cyclosporine A-induced
32 oxidative stress and hepatotoxicity in rats. **Toxicology Letters**, v. 151, n. 2, p. 335–
33 343, 2004.
- 34 HEYMAN, S. N. et al. Cyclosporine A induces endothelin-converting enzyme-1:
35 Studies in vivo and in vitro. **Acta Physiologica**, v. 223, n. 1, 1 maio 2018.
- 36 HO, V. The use of ciclosporin in psoriasis: A clinical review. **British Journal of**
37 **Dermatology, Supplement**, v. 150, n. 67, p. 1–10, 2004.

- 1 IGHODARO, O. M.; AKINLOYE, O. A. First line defence antioxidants-superoxide
2 dismutase (SOD), catalase (CAT) and glutathione peroxidase (GPX): Their
3 fundamental role in the entire antioxidant defence grid. **Alexandria Journal of**
4 **Medicine**, v. 54, n. 4, p. 287–293, 1 dez. 2018.
- 5 INCE, S. et al. Taurine alleviates malathion induced lipid peroxidation, oxidative
6 stress, and proinflammatory cytokine gene expressions in rats. **Biomedicine and**
7 **Pharmacotherapy**, v. 96, n. May, p. 263–268, 2017.
- 8 JALILI, C. et al. Resveratrol attenuates malathion-induced renal damage by
9 declining oxidative stress in rats. **International Journal of Pharmaceutical**
10 **Investigation**, v. 8, n. 4, p. 192, 2018.
- 11 JENSEN, I. M.; WHATLING, P. Malathion: A Review of Toxicology. **Hayes'**
12 **Handbook of Pesticide Toxicology**, p. 1527–1542, 2010.
- 13 JUNQUEIRA, L. C.; CARNEIRO, J. **Histologia Básica: texto e atlas**. 13. ed. [s.l.]
14 Guanabara Koogan, 2017.
- 15 KAMEL, K. S. et al. Studies to determine the basis for hyperkalemia in recipients of
16 a renal transplant who are treated with cyclosporine. **Journal of the American**
17 **Society of Nephrology**, v. 2, n. 8, 1992.
- 18 KHALIFA, F. K.; ALKHALAF, M. I. Effects of black seed and thyme leaves dietary
19 supplements against malathion insecticide-induced toxicity in experimental rat
20 model. **Journal of King Saud University - Science**, v. 32, n. 1, p. 914–919, 1 jan.
21 2020.
- 22 KIERSZEMBAUM, A. L. **Histologia e Biologia celular: uma introdução à**
23 **patologia**. 1. ed. Rio de Janeiro: Elsevier, 2004.
- 24 KOROLCZUK, A. et al. Ultrastructural examination of renal tubular epithelial cells
25 and hepatocytes in the course of chronic cyclosporin a treatment-a possible link to
26 oxidative stress. **Ultrastructural Pathology**, v. 37, n. 5, p. 332–339, 2013.
- 27 KOROLCZUK, A. et al. Oxidative Stress and Liver Morphology in Experimental
28 Cyclosporine A-Induced Hepatotoxicity. **BioMed Research International**, v. 2016,
29 2016.
- 30 KOWALTOWSKI, A. J.; CASTILHO, R. F.; VERCESI, A. E. **Mitochondrial**
31 **permeability transition and oxidative stress** **FEBS Letters** **FEBS Lett**, , 20 abr.
32 2001.
- 33 KRICHEVSKY, A. **Netter'S Histology Flash Cards**. Second Edi ed. [s.l.] Elsevier
34 Inc., 2005. v. 80
- 35 KRUEPUNGA, N. et al. Anatomy of rodent and human livers: What are the
36 differences? **Biochimica et Biophysica Acta - Molecular Basis of Disease**, v.
37 1865, n. 5, p. 869–878, 2019.
- 38 KURTZ, A.; DELLA BRUNA, R.; KUHN, K. Cyclosporine A enhances renin
39 secretion and production in isolated juxtaglomerular cells. **Kidney International**, v.

- 1 33, n. 5, p. 947–953, 1988.
- 2 KWONG, T. C. Organophosphate pesticides: Biochemistry and clinical toxicology.
3 **Therapeutic Drug Monitoring**, v. 24, n. 1, p. 144–149, 2002.
- 4 LASRAM, M. M. et al. Association of inflammatory response and oxidative injury in
5 the pathogenesis of liver steatosis and insulin resistance following subchronic
6 exposure to malathion in rats. **Environmental Toxicology and Pharmacology**, v.
7 38, n. 2, p. 542–553, 2014.
- 8 LEE, C. H. et al. Altered Expression of Tight Junction Proteins in Cyclosporine
9 Nephrotoxicity. **American Journal of Nephrology**, v. 33, n. 1, p. 7–16, 2011.
- 10 LEE, E. H. et al. Inhibition of PPAR α target genes during cyclosporine A-induced
11 nephrotoxicity and hepatotoxicity. **Molecular and Cellular Toxicology**, v. 15, n. 2,
12 p. 185–197, 1 abr. 2019.
- 13 LINDHOLM, A. Factors Influencing the pharmacokinetics of cyclosporine in man.
14 **Therapeutic Drug Monitoring**, n. 13, p. 465–477, 1991.
- 15 LIU, J.; ERIN, S. Pesticide Exposure and Child Neurodevelopments. **Workplace**
16 **Health Saf.**, v. 23, n. 1, p. 1–7, 2014.
- 17 LIU, Q. feng et al. Klotho mitigates cyclosporine A (CsA)-induced epithelial–
18 mesenchymal transition (EMT) and renal fibrosis in rats. **International Urology and**
19 **Nephrology**, v. 49, n. 2, p. 345–352, 2017.
- 20 LOWE, J. S. ; ANDERSON, P. G. **Stevens & Lowe’s Human Histology**. 4. ed.
21 Philadelphia: Elsevier, 2015.
- 22 MAK, K.; PNG, M. The Hepatic Central Vein: Structure, Fibrosis, and Role in Liver
23 Biology. **Anatomical Record**, v. 303, n. 7, p. 1747–1767, 2020.
- 24 MATHEW, R. P.; VENKATESH, S. K. Liver vascular anatomy: a refresher.
25 **Abdominal Radiology**, v. 43, n. 8, p. 1886–1895, 2018.
- 26 MEHRI, N. et al. Hepatoprotective effect of the root extract of green tea against
27 malathion-induced oxidative stress in rats. **Journal of HerbMed Pharmacology**, v.
28 5, n. 3, p. 116–119, 2016.
- 29 MOON, D.; KIM, J. Cyclosporin A aggravates hydrogen peroxide-induced cell death
30 in kidney proximal tubule epithelial cells. **Anatomy and Cell Biology**, v. 52, n. 3, p.
31 312–323, 2019.
- 32 MOORTHY, A. V.; BLICHFELDT, T. C. Anatomy and Physiology of the Kidney.
33 **Pathophysiology of Kidney Disease and Hypertension**, v. 68, n. 5, p. 1–15,
34 2009.
- 35 MORIDI, H. et al. Protective effect of cerium oxide nanoparticle on sperm quality
36 and oxidative damage in malathioninduced testicular toxicity in rats: An
37 experimental study. **International Journal of Reproductive BioMedicine**, v. 16, n.
38 4, p. 261–266, 2018.

- 1 MUÑOZ-QUEZADA, M. T. et al. Vías de exposición a plaguicidas en escolares de
2 la Provincia de Talca, Chile. **Gaceta Sanitaria**, v. 28, n. 3, p. 190–195, 2014.
- 3 MURRAY, B. M.; PALLER, M. S.; FERRIS, T. F. Effect of cyclosporine
4 administration on renal hemodynamics in conscious rats. **Kidney international**, v.
5 28, n. 5, p. 767–74, nov. 1985.
- 6 MUSSON, R.; SMIT, N. Regulatory Mechanisms of Calcineurin Phosphatase
7 Activity. **Current Medicinal Chemistry**, v. 18, n. 2, p. 301–315, 2011.
- 8 MUSTAFA, M. et al. Immunopharmacologic Modulation of Experimental Allergic
9 Encephalomyelitis: Low-Dose Cyclosporin-A Treatment Causes Disease Relapse
10 and Increased Systemic T and B Cell-Mediated Myelin-Directed Autoimmunity.
11 **Scandinavian Journal of Immunology**, v. 38, n. 6, p. 499–507, dez. 1993.
- 12 NAIR, A.; JACOB, S. A simple practice guide for dose conversion between animals
13 and human. **Journal of Basic and Clinical Pharmacy**, v. 7, n. 2, p. 27, 2016.
- 14 NAWATA, C. M.; PANNABECKER, T. L. Mammalian urine concentration: a review
15 of renal medullary architecture and membrane transporters. **Journal of**
16 **Comparative Physiology B: Biochemical, Systemic, and Environmental**
17 **Physiology**, v. 188, n. 6, p. 899–918, 2018.
- 18 NUR, G. et al. The effect of caffeic acid phenethyl ester (CAPE) on hepatic
19 histopathology and oxidative stress in rats treated with malathion. 2018.
- 20 OJEDA, S. R. et al. Recent Advances in the Endocrinology of Puberty. **Endocrine**
21 **Reviews**, v. 1, n. 3, p. 228–257, 1 jul. 1980.
- 22 OZSOY, A. Z. et al. Protective effect of intravenous lipid emulsion treatment on
23 malathion-induced. p. 2425–2434, 2016.
- 24 PALLET, N. et al. Response of human renal tubular cells to cyclosporine and
25 sirolimus: A toxicogenomic study. **Toxicology and Applied Pharmacology**, v. 229,
26 n. 2, p. 184–196, 2008.
- 27 PENG, C. et al. Biology of Ageing and Role of Dietary Antioxidants. 2014.
- 28 PIZZINO, G. et al. Oxidative Stress: Harms and Benefits for Human Health. 2017.
- 29 RADI, Z. A. Kidney Pathophysiology, Toxicology, and Drug-Induced Injury in Drug
30 Development. **International Journal of Toxicology**, v. 38, n. 3, p. 215–227, 2019.
- 31 RONCHI, J. A.; VERCESI, A. E.; CASTILHO, R. F. Reactive oxygen species and
32 permeability transition pore in rat liver and kidney mitoplasts. [s.d.]
- 33 RONCHI, J. A.; VERCESI, A. E.; CASTILHO, R. F. Reactive oxygen species and
34 permeability transition pore in rat liver and kidney mitoplasts. **Journal of**
35 **Bioenergetics and Biomembranes**, v. 43, n. 6, p. 709–715, 2011.
- 36 ROSS, PAWLINA, P. **Histology Ross**. 7. ed. [s.l: s.n.]

- 1 SÁNCHEZ-SANTED, F.; COLOMINA, M. T.; HERRERO HERNÁNDEZ, E.
2 Organophosphate pesticide exposure and neurodegeneration. **Cortex**, v. 74, p.
3 417–426, 2016.
- 4 SANDOVAL, L. et al. Effects of chlorpyrifos on cell death and cellular phenotypic
5 specification of human neural stem cells. **Science of the Total Environment**, v.
6 683, p. 445–454, 15 set. 2019.
- 7 SCHELLING, J. R. **Tubular atrophy in the pathogenesis of chronic kidney**
8 **disease progression** *Pediatric Nephrology* Springer Verlag, , 1 maio 2016.
- 9 SCHREIBER, S. L.; CRABTREE, G. R. The mechanism of action of cyclosporin A
10 and FK506. **Immunology Today**, v. 13, n. 4, p. 136–142, 1992.
- 11 SELMI, S. et al. Malathion, an organophosphate insecticide, provokes metabolic,
12 histopathologic and molecular disorders in liver and kidney in prepubertal male
13 mice. **Toxicology Reports**, v. 5, n. August 2017, p. 189–195, 2018.
- 14 SETH, V. et al. Pesticide induced alterations in acetylcholine esterase and gamma
15 glutamyl transpeptidase activities and glutathione level in lymphocytes of human
16 poisoning cases. **Clinical Biochemistry**, v. 34, n. 5, p. 427–429, 2001.
- 17 SHEHATA, M. et al. **Increased platelet-derived growth factor in the kidneys of**
18 **cyclosporin-treated rats** *Kidney International*. [s.l: s.n.].
- 19 SHIROLIKAR, M. et al. Managing a side effect : Cyclosporine-Induced
20 nephrotoxicity Introduction Pathophysiology of Nephrotoxicity Risk Factors for
21 Cyclosporine Nephrotoxicity. n. 1, p. 1–7, 2020.
- 22 SIDHU, G. K. et al. Toxicity, monitoring and biodegradation of organophosphate
23 pesticides: A review. **Critical Reviews in Environmental Science and**
24 **Technology**, v. 49, n. 13, p. 1135–1187, 2019.
- 25 SILVEIRA, P. P. et al. Developmental origins of health and disease (DOHaD)
26 Origens desenvolvimentistas da saúde e da doença (DOHaD). 2007.
- 27 SINITOX. **Sistema Nacional de Informações Tóxico-Farmacológicas - Sinitox**.
28 Disponível em: <<https://sinitox.iciict.fiocruz.br/dados-nacionais>>. Acesso em: 29 abr.
29 2021.
- 30 SLATTERY, C. et al. Cyclosporine A - induced renal fibrosis: A role for epithelial-
31 mesenchymal transition. **American Journal of Pathology**, v. 167, n. 2, p. 395–407,
32 2005.
- 33 SOLTANINEJAD, K.; ABDOLLAHI, M. Current opinion on the science of
34 organophosphate pesticides and toxic stress: A systematic review. **Medical**
35 **Science Monitor**, v. 15, n. 3, p. 75–90, 2009.
- 36 TAKAHASHI, N.; HASHIZUME, M. A systematic review of the influence of
37 occupational organophosphate pesticides exposure on neurological impairment.
38 **BMJ Open**, v. 4, n. 6, 2014.

- 1 ULLAH, S. et al. Malathion induced oxidative stress leads to histopathological and
2 biochemical toxicity in the liver of rohu (*Labeo rohita*, Hamilton) at acute
3 concentration. **Ecotoxicology and Environmental Safety**, v. 161, n. May, p. 270–
4 280, 2018.
- 5 USEPA. **Problem Formulation for the Environmental Fate and Ecological Risk,**
6 **Endangered Species and Drinking Water Assessments in Support of the**
7 **Registration Review of Diazinon.** [s.l.: s.n.].
- 8 VERSCHUREN, E. H. J. et al. Sensing of tubular flow and renal electrolyte
9 transport. **Nature Reviews Nephrology**, v. 16, n. 6, p. 337–351, 2020.
- 10 VIJAYA KUMAR, S. et al. Current review on organophosphorus poisoning.
11 **Archives of Applied Science Research**, v. 2, n. 4, p. 199–215, 2010.
- 12 WAISER, J. et al. **Cyclosporine A up-regulates the expression of TGF- β 1 and**
13 **its receptors type I and type II in rat mesangial cells****Nephrology Dialysis**
14 **Transplantation**, 2002. .
- 15 WANG, C. e. et al. Association of CYP3A4*1B genotype with Cyclosporin A
16 pharmacokinetics in renal transplant recipients: A meta-analysis. **Gene**, v. 664, p.
17 44–49, 2018.
- 18 WANG, H. et al. Visualizing liver anatomy, physiology and pharmacology using
19 multiphoton microscopy. **Journal of Biophotonics**, v. 10, n. 1, p. 46–60, 2017.
- 20 WHO. Clinical Management of Acute Pesticide Intoxication: Prevention of Suicidal
21 Behaviours. p. 1–25, 2008. Disponível em:
22 <https://www.who.int/mental_health/prevention/suicide/pesticides_intoxication.pdf>.
- 23 WOLF, A. et al. Cyclosporine A-induced oxidative stress in rat hepatocytes. **Journal**
24 **of Pharmacology and Experimental Therapeutics**, v. 280, n. 3, p. 1328–1334,
25 1997.
- 26 WOLF, G. Renal injury due to renin-angiotensin-aldosterone system activation of
27 the transforming growth factor- β pathway. **Kidney International**, v. 70, n. 11, p.
28 1914–1919, 2006.
- 29 YOKOTA, K. et al. Nephrotic syndrome and acute kidney injury induced by
30 malathion toxicity. **BMJ Case Reports**, v. 2017, p. bcr-2017-220733, 9 nov. 2017.
- 31 YOUSEF, A. et al. PEG-SOD attenuates the mitogenic ERK1/2 signaling cascade
32 induced by cyclosporin A in the liver and kidney of albino mice. **Chemico-**
33 **Biological Interactions**, v. 330, n. July, p. 109245, 2020.
- 34 YU, W. et al. Cyclosporine A suppressed glucose oxidase induced P53
35 mitochondrial translocation and hepatic cell apoptosis through blocking
36 mitochondrial permeability transition. **International Journal of Biological**
37 **Sciences**, v. 12, n. 2, p. 198–209, 2016.
- 38 YÜCE, A.; ATEŞŞAHİN, A.; ÇERİBAŞI, A. O. Amelioration of cyclosporine A-
39 induced renal, hepatic and cardiac damages by ellagic acid in rats. **Basic and**

- 1 **Clinical Pharmacology and Toxicology**, v. 103, n. 2, p. 186–191, 2008.
- 2 ZHAO, J. H. **Mesangial Cells and Renal Fibrosis**. [s.l.] Springer Singapore, 2019.
- 3 v. 1165
- 4 ZHU, X. D. et al. MicroRNA-377 Mediates Cardiomyocyte Apoptosis Induced by
- 5 Cyclosporin A. **Canadian Journal of Cardiology**, v. 32, n. 10, p. 1249–1259, 1 out.
- 6 2016.
- 7 ZIDAN, N. E. H. A. Hepato-and nephrotoxicity in male albino rats exposed to
- 8 Malathion and spinosad in stored wheat grains. **Acta Biologica Hungarica**, v. 66,
- 9 n. 2, p. 133–148, 2015.

1 APÊNDICES

Apêndice A – Documentação fotográfica referente ao estudo com Malation (Artigo 1)

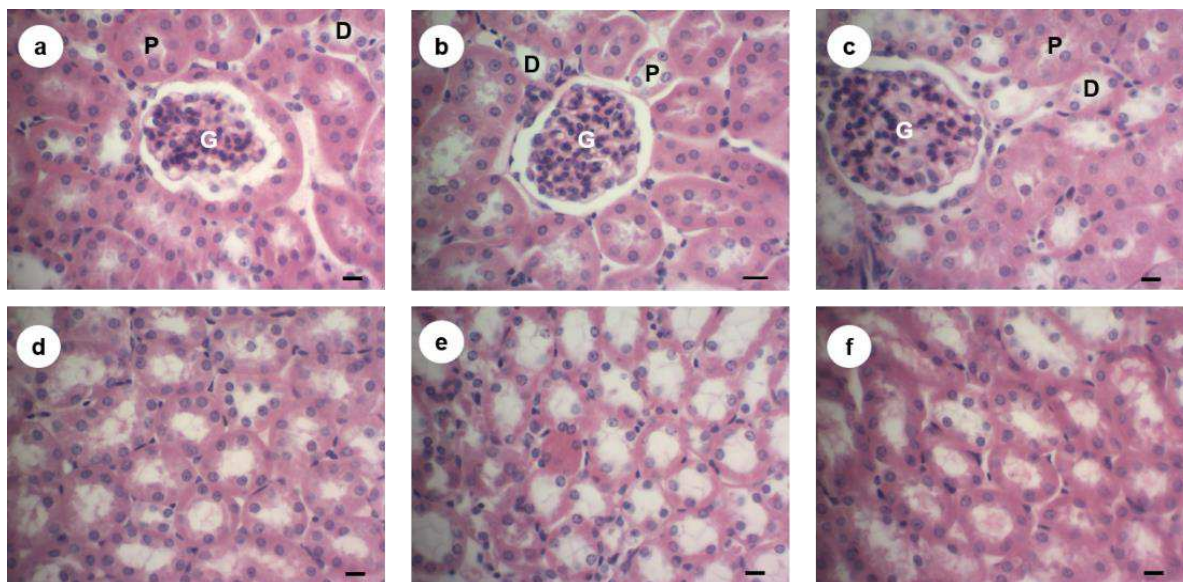


Figura 1. Histologia renal - Hematoxilina e Eosina – Fotomicrografia no aumento de 400x, evidenciando o corpúsculo renal (a, b, c) e túbulos coletores (d, e, f). Grupos: controle (a, d) Malation 10 mg/kg (b, e) e Malation 50 mg/kg (c, f). Glomérulo (G), túbulo contorcido proximal (P) e distal (D); barra = 10 μ m.

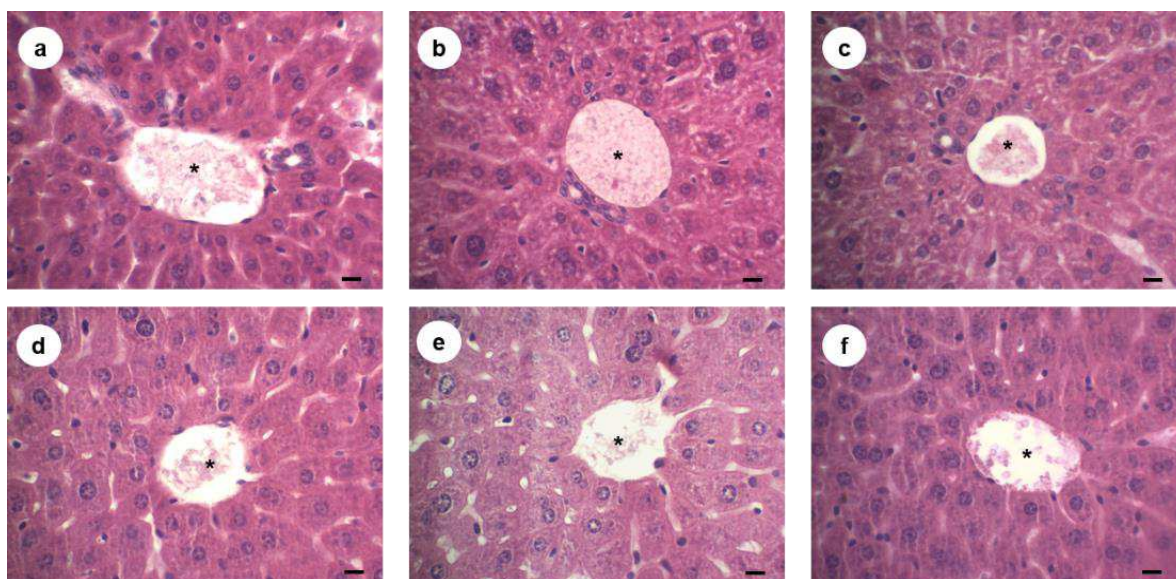


Figura 2. Histologia hepática - Hematoxilina e Eosina Fotomicrografia da coloração de HE no aumento de 400x, evidenciando as vênulas centrolobulares (a, b, c) e portas (d, e, f). Grupos: controle (a, d) Malation 10 mg/kg (b, e) e Malation 50 mg/kg (c, f). Luz dos vasos (*); barra = 10 μ m.

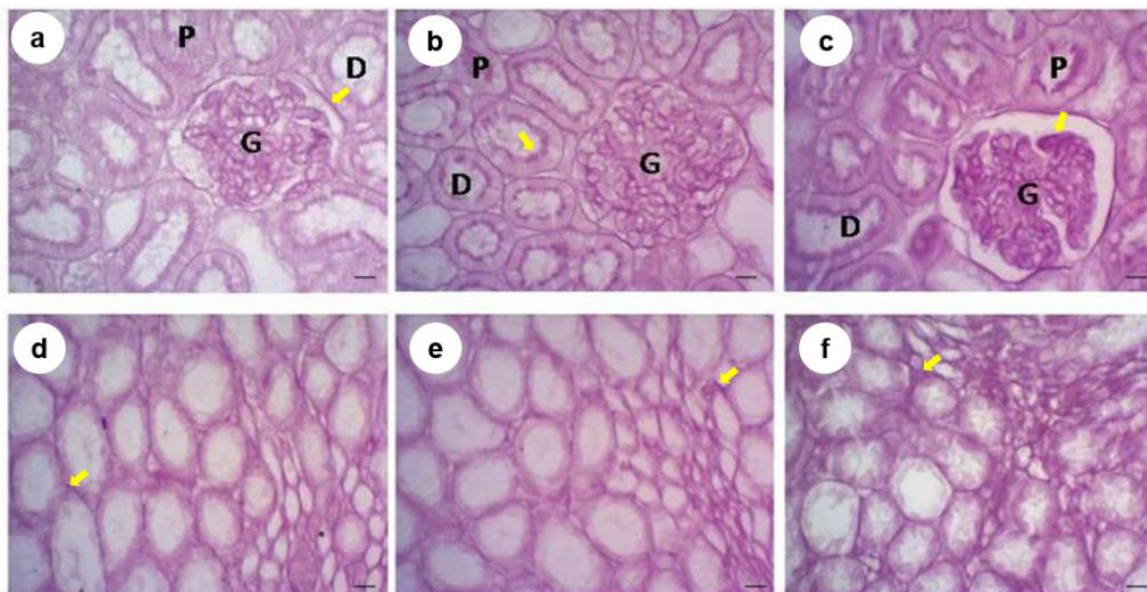


Figura 3. Histologia renal - Ácido periódico de Schiff (PAS) Fotomicrografia da coloração de PAS no aumento de 400x, evidenciando a área cortical (a, b, c) e medular (d, e, f) do rim. Glomérulo (G), túbulo contorcido proximal (P) e distal (D). Área marcada positivamente para glicoconjugados neutros (seta amarela). barra = 10 µm. Luz dos vasos (*).

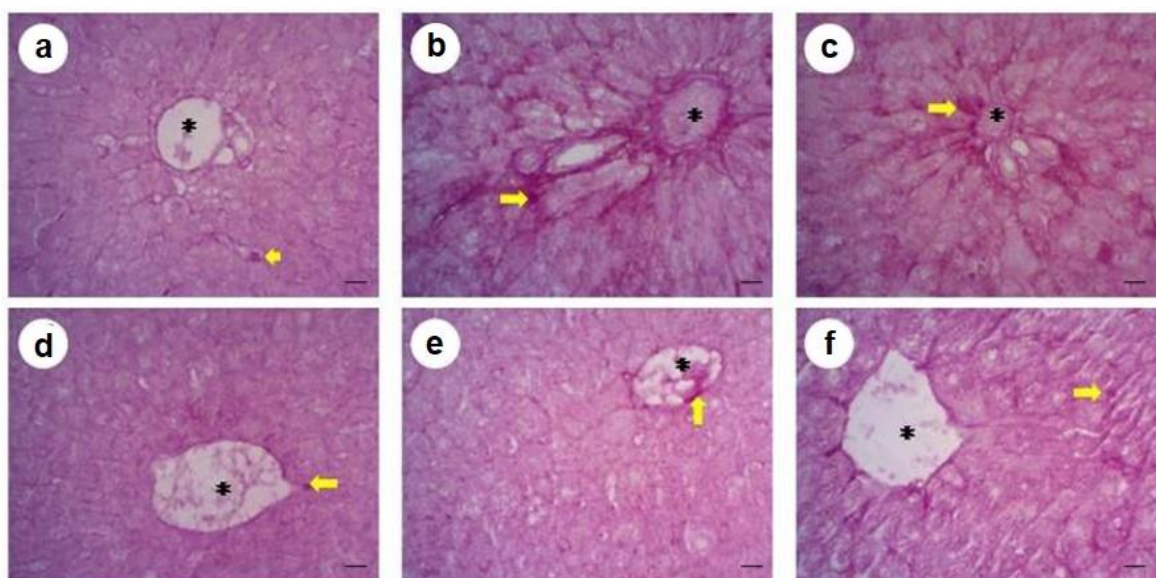


Figura 4. Histologia Hepática - Ácido periódico de Schiff (PAS) Fotomicrografia da coloração de PAS no aumento de 400x evidenciando as vênulas portas (a, b, c) e centrolobulares (d, e, f). Área marcada positivamente para glicoconjugados neutros (seta amarela). barra = 10 µm. Luz dos vasos (*).

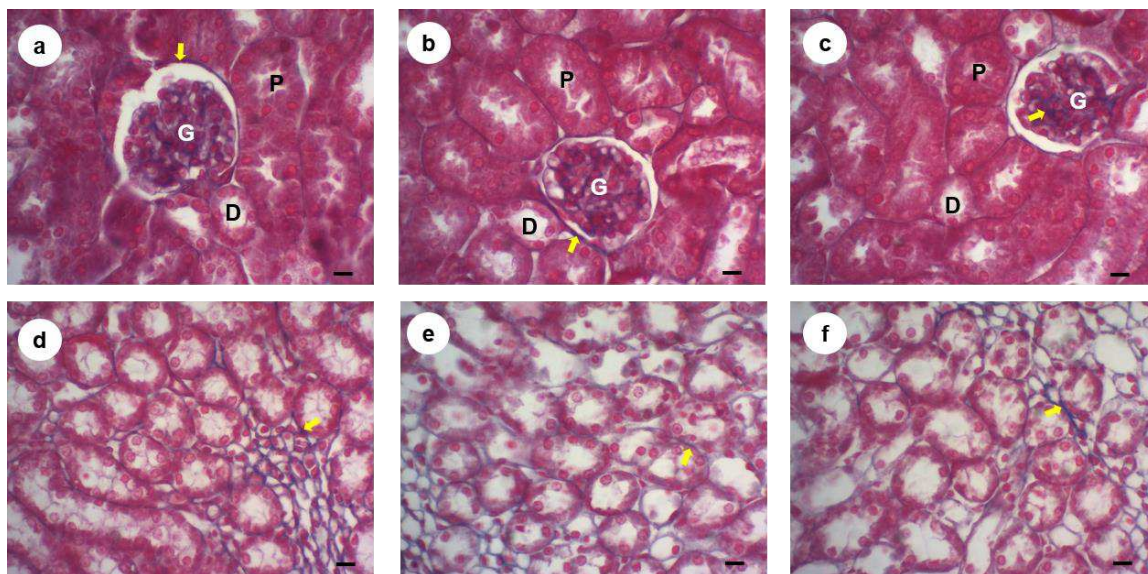


Figura 5. Histologia renal - tricrômico de Azan Heidenhain Fotomicrografia da coloração de Tricrômico de Azan Heidenhain no aumento de 400x evidenciando o colágeno total, presente na área cortical (a, b, c) e medular (d, e, f) do rim. Grupos: controle (a, d) Malation 10 mg/kg (b, e) e Malation 50 mg/kg (c, f). Colágeno total (seta amarela).

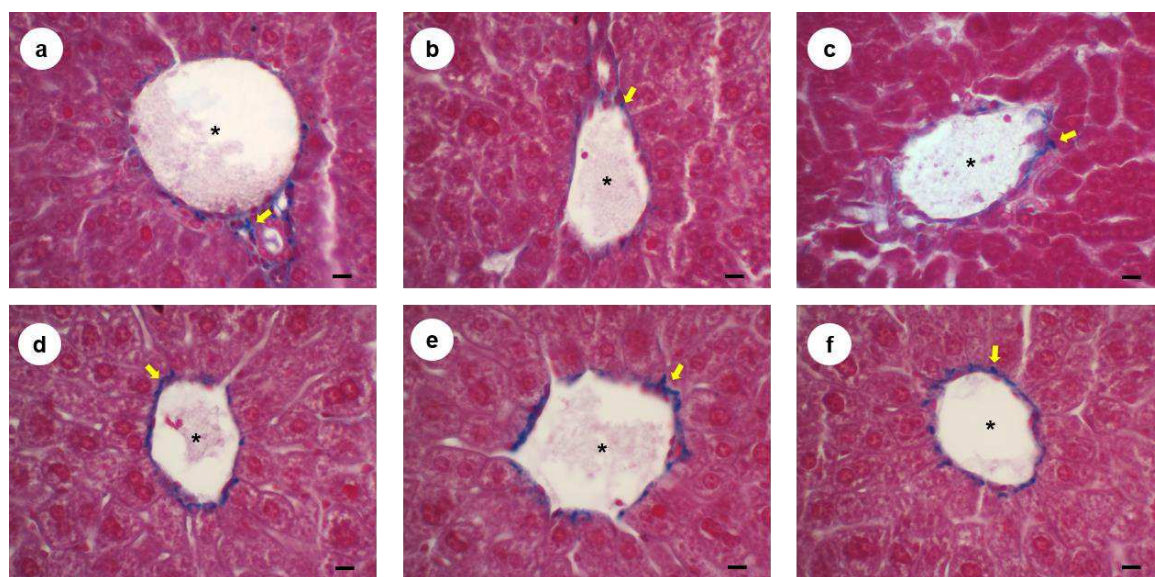


Figura 6. Histologia renal - tricrômico de Azan Heidenhain - Fotomicrografia da coloração de Tricrômico de Azan Heidenhain no aumento de 400x evidenciando o colágeno total, presente as vênulas portas (a, b, c) e centrolobulares (d, e, f). Grupos: controle (a, d) Malation 10 mg/kg (b, e) e Malation 50 mg/kg (c, f). Colágeno total (seta amarela). Colágeno total (seta amarela) e luz da vênula (*).

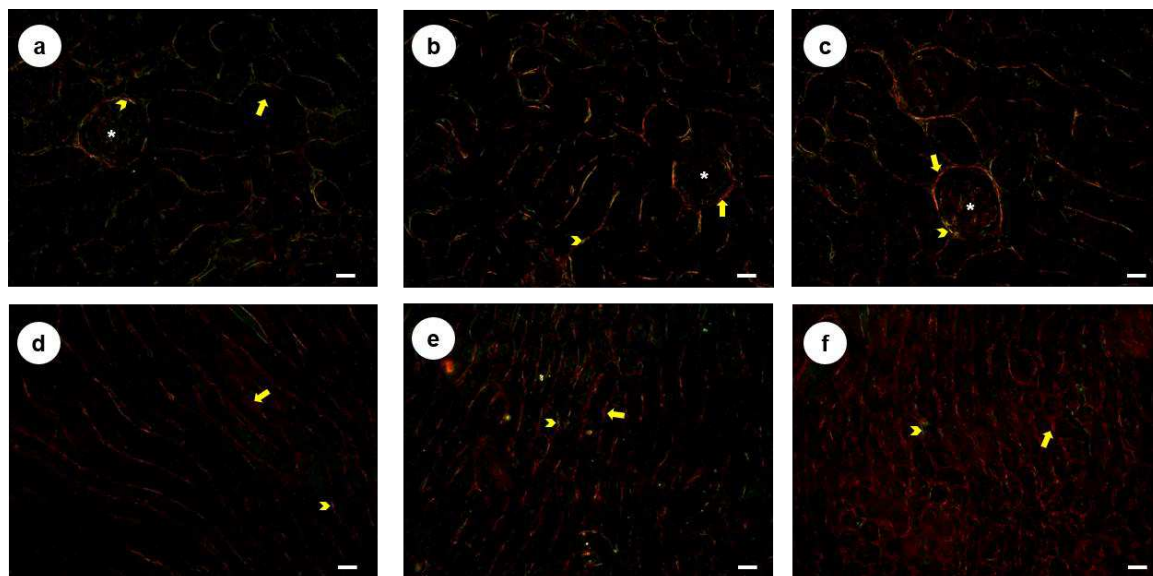


Figura 7. Histologia renal – Picrosirius Red - Fotomicrografia da região cortical polarizada (a,b,c) e região medular polarizada (b, d, f) em aumento de 400x na coloração de Picrosirius Red. Grupos: controle (a, d) Malation 10 mg/kg (b, e) e Malation 50 mg/kg (c, f). Colágeno do tipo I (seta amarela), colágeno do tipo III (ponta da seta) e luz da vênula (*).

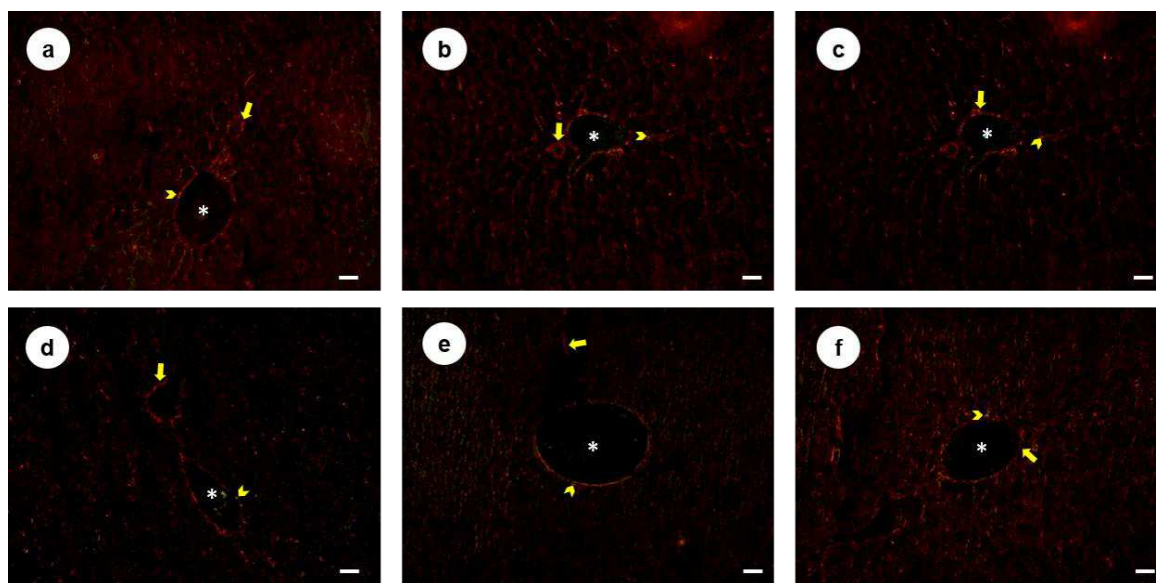


Figura 8. Histologia renal – Picrosirius Red Fotomicrografia das vênulas portas polarizadas (a, b, c) e vênulas portas polarizadas (d, e, f) em aumento de 400x na coloração de *Picrosirius Red*. Grupos: controle (a, d) Malation 10 mg/kg (b, e) e Malation 50 mg/kg (c, f). Colágeno do tipo I (seta amarela), colágeno do tipo III (ponta da seta) e luz da vênula (*).

Apêndice B - Documentação fotográfica referente estudo com Ciclosporina A (Artigo 2)

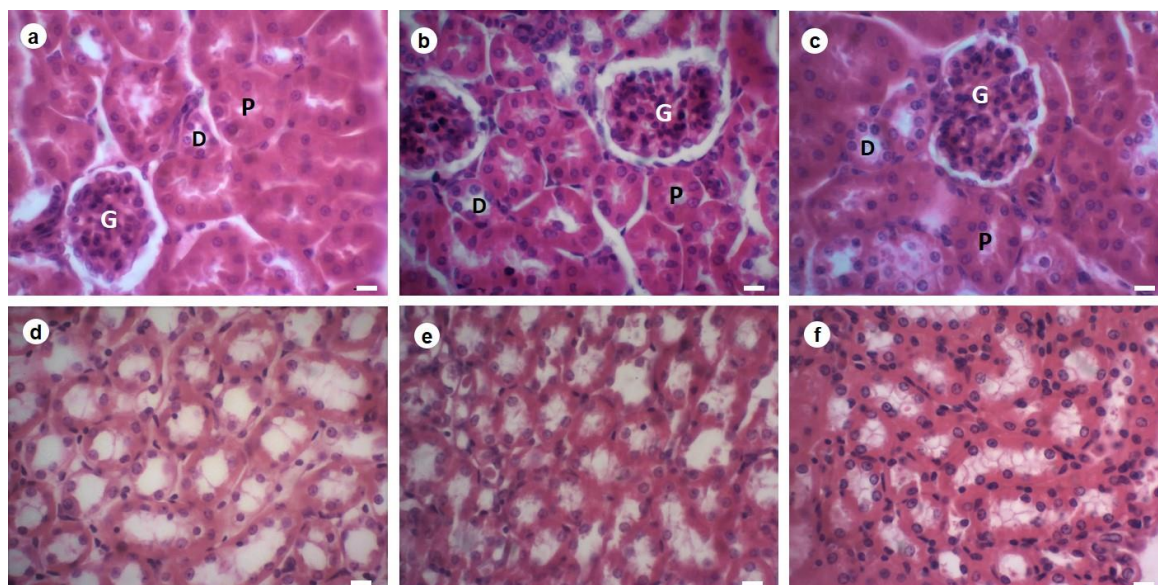


Figura 1. Histologia renal - Hematoxilina e Eosina - Fotomicrografia da região cortical (a, b, c) e da região medular (d, e, f). Coloração: hematoxilina e eosina. Grupos: controle (a, d), CsA10I (b, e) CsA10R (c, f). Glomérulo (G), túbulo contorcido proximal (P) e distal (D), barra: 10 μ m. Fonte: o próprio autor.

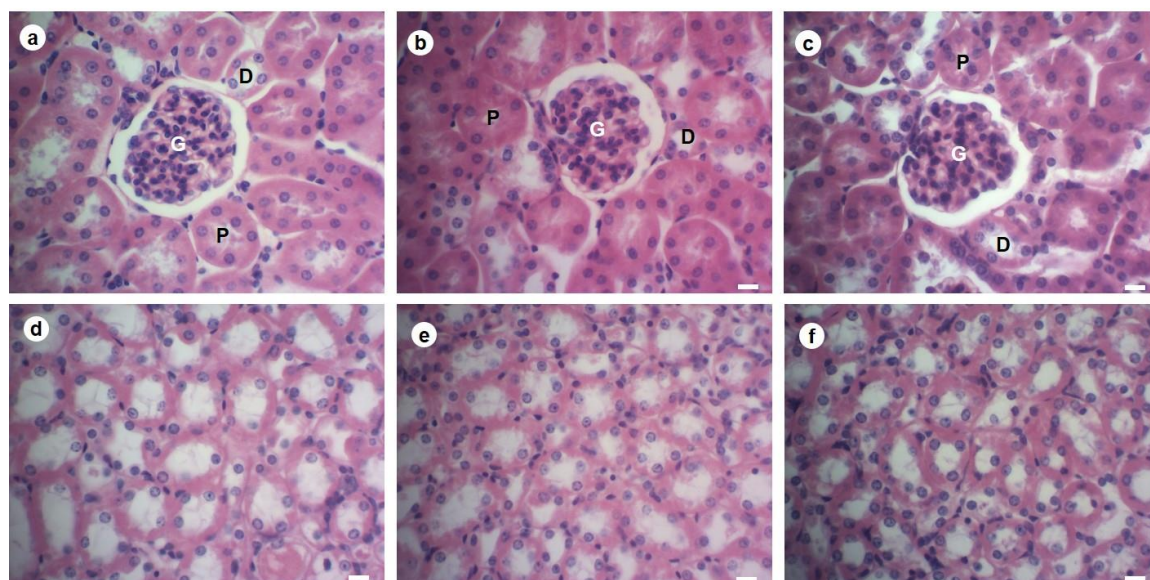


Figura 2. Histologia renal - Hematoxilina e Eosina - Fotomicrografia da região cortical (a, b, c) e da região medular (d, e, f). Grupos: controle (a, d), CsA50I (b, e) CsA50R (c, f). Glomérulo (G), túbulo contorcido proximal (P) e distal (D), barra: 10 μ m. Fonte: o próprio autor.

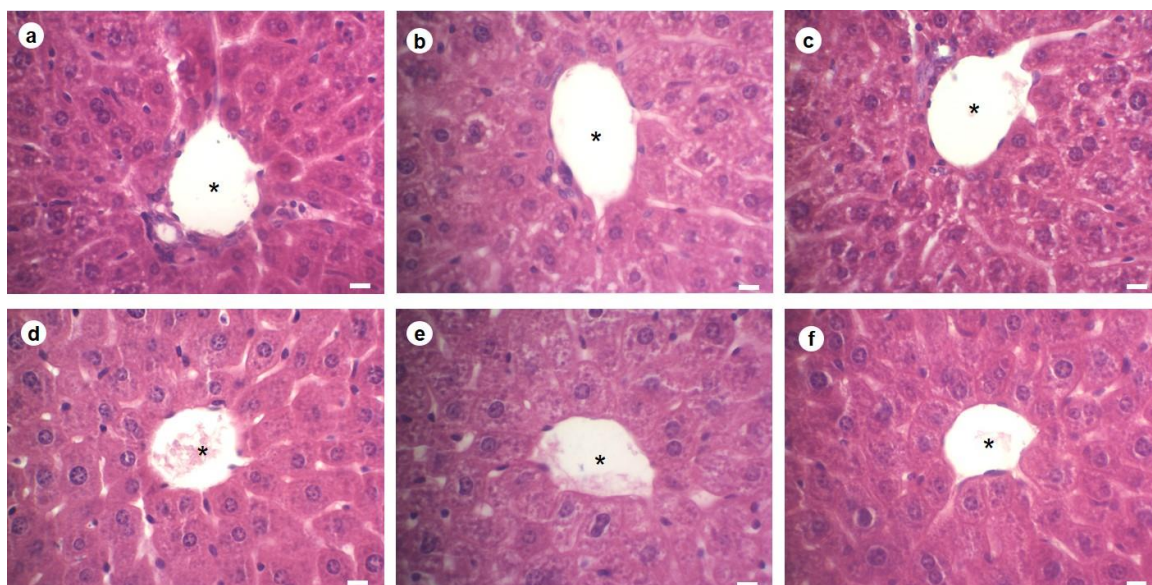


Figura 3. Histologia hepática - Hematoxilina e Eosina - Fotomicrografia da região do espaço porta (a, b, c) e da vênula centrolobular (d, e, f). Grupos: controle (a, d), CsA10I (b, e) CsA10R (c, f). Luz do vaso sanguíneo (asterisco), barra = 10 μ m.

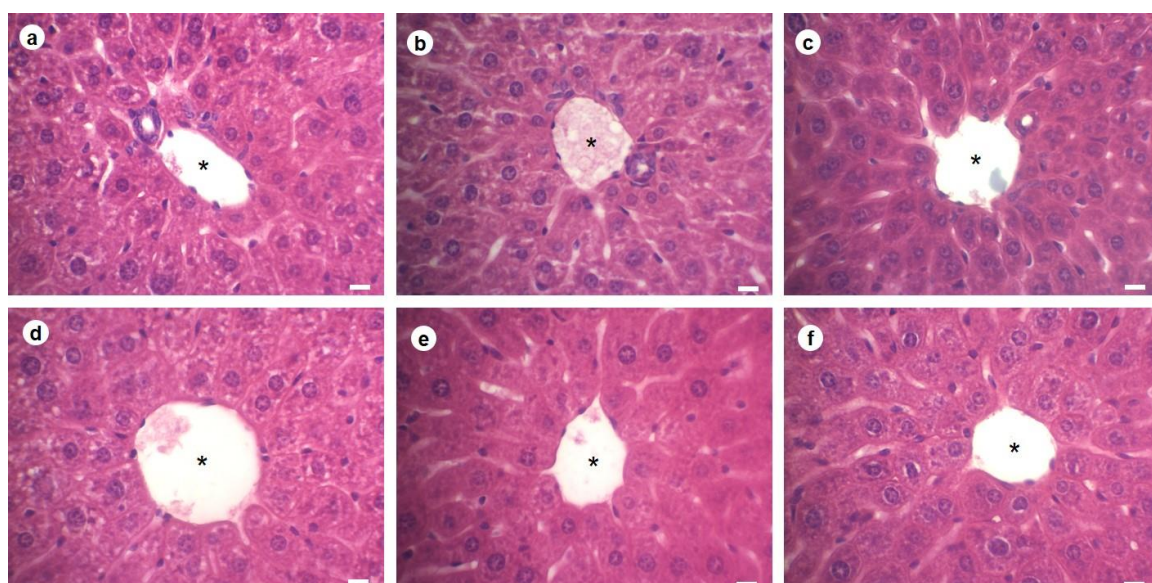


Figura 4. Histologia hepática - Hematoxilina e Eosina - Fotomicrografia da região do espaço porta (a, b, c) e da vênula centrolobular (d, e, f). Grupos: controle (a, d), CsA50I (b, e) CsA50R (c, f). Luz do vaso sanguíneo (asterisco), barra = 10 μ m.

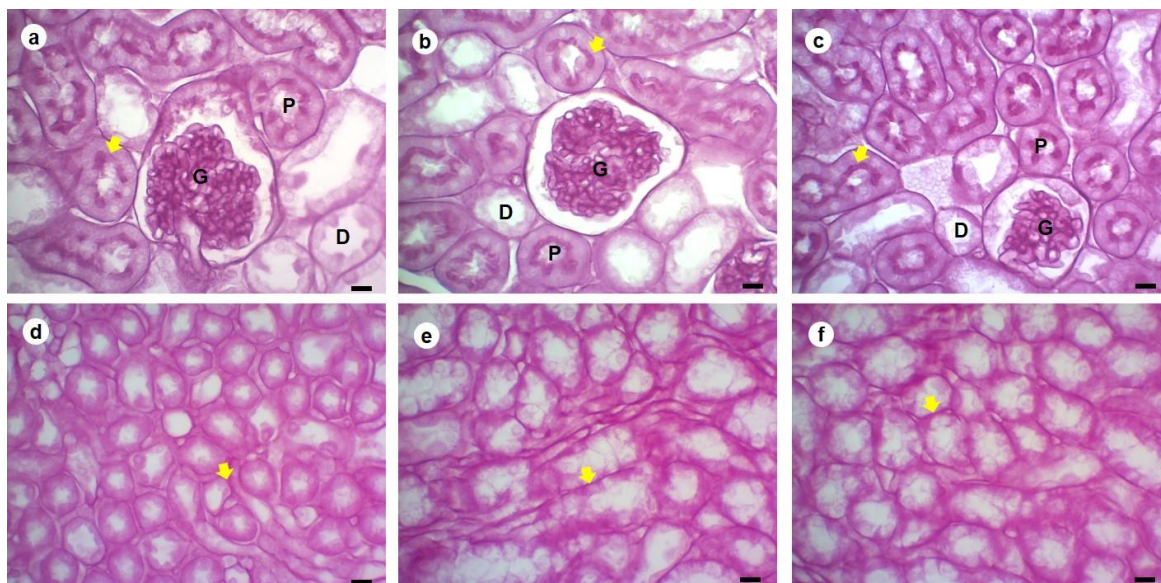


Figura 5. Histologia renal - Ácido periódico de Schiff (PAS) - Fotomicrografia da região cortical (a, b, c) e da região medular (d, e, f) do rim. Grupos: controle (a, d), CsA50I (b, e) CsA50R (c, f). Glomérulo (G), túbulo contorcido proximal (P) e distal (D), marcação positiva para glicogênio (Seta) barra: 10 μ m.

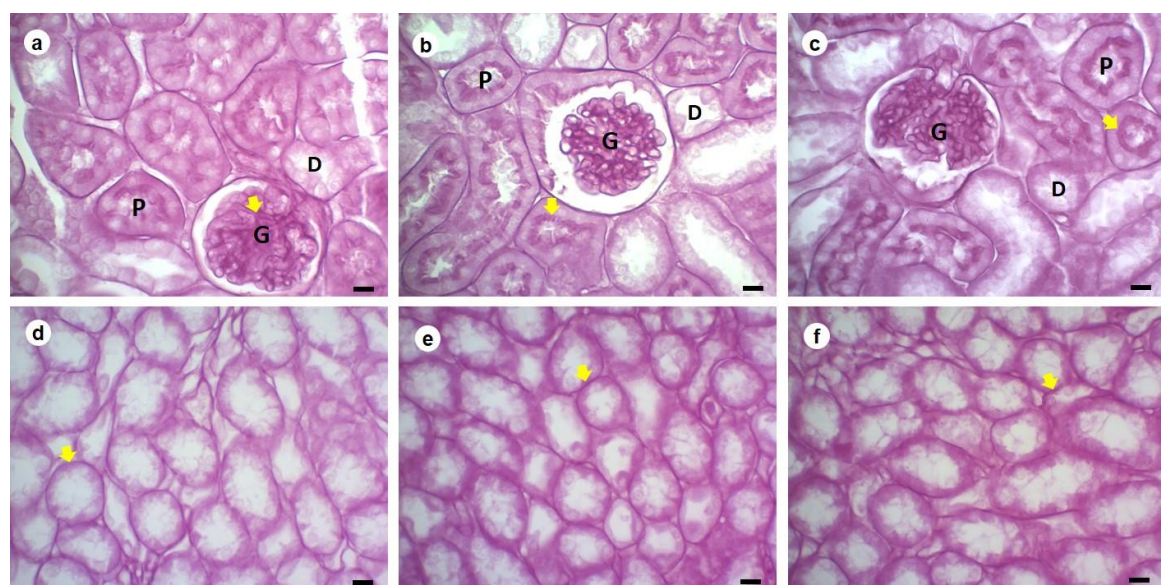


Figura 6. Histologia renal - Ácido periódico de Schiff (PAS) – Fotomicrografia da região cortical (a, b, c) e da região medular (d, e, f) do rim de camundongos Swiss machos. Grupos: controle (a, d), CsA50I (b, e) CsA50R (c, f). Glomérulo (G), túbulo contorcido proximal (P) e distal (D), marcação positiva para glicogênio (Seta) barra: 10 μ m.

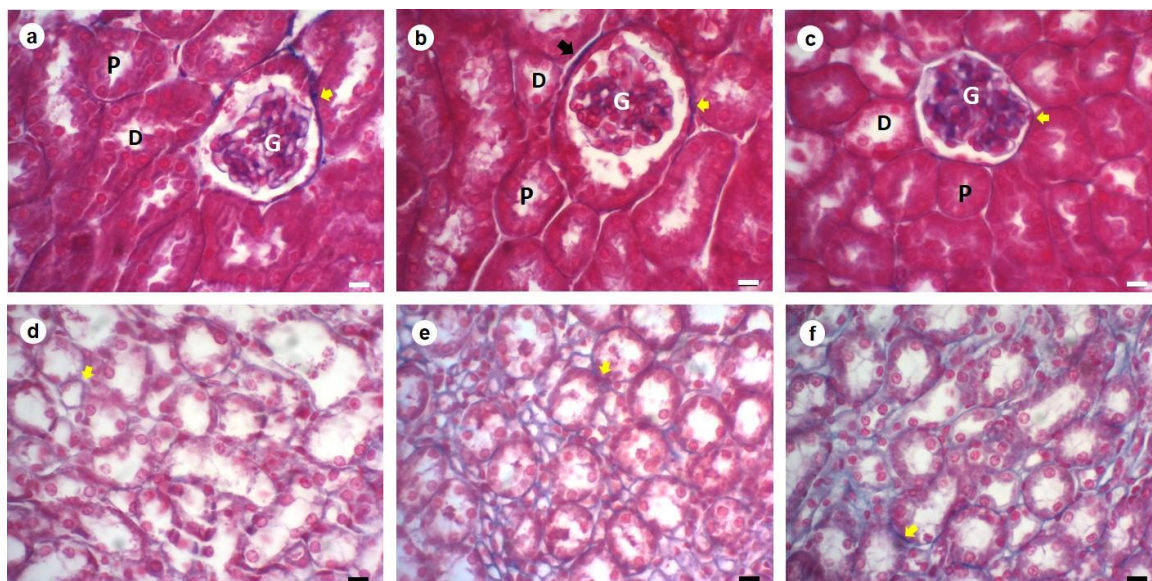


Figura 7. Histologia renal - tricrômico de Azan Heidenhain . Fotomicrografia da região cortical (a, b, c) e da região medular (d, e, f) do rim de camundongos Swiss machos. Grupos: controle (a, d), CsA10I (b, e) CsA10R (c, f). Glomérulo (G), túbulo contorcido proximal (P) e distal (D), marcação positiva para colágeno (seta) barra: 10 μ m

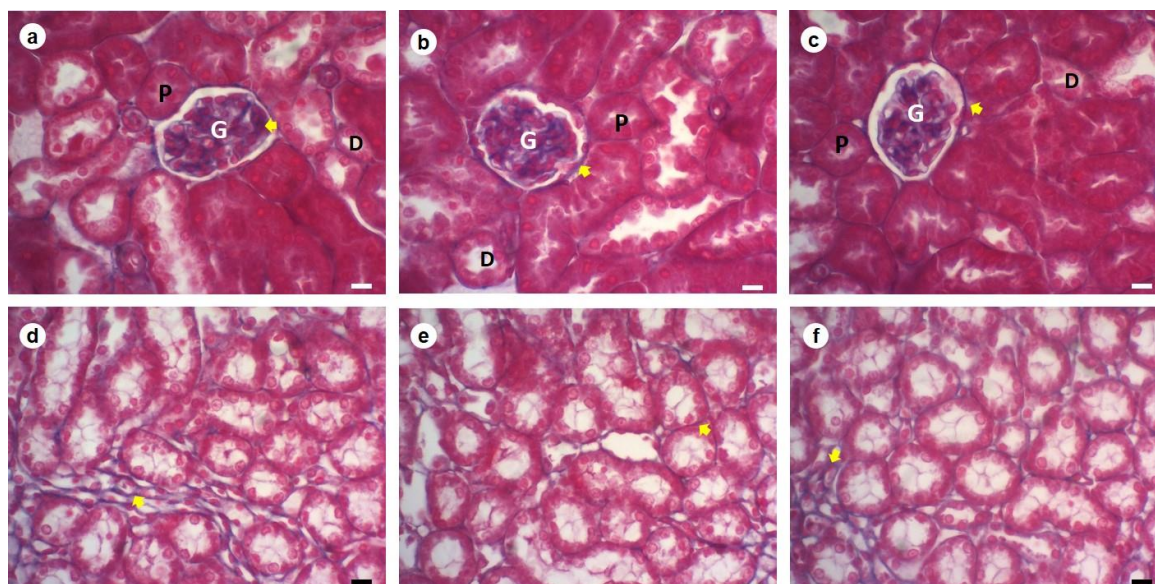


Figura 8. Histologia renal - Tricrômico de Azan Heidenhain -Fotomicrografia da região cortical (a, b, c) e da região medular (d, e, f) do rim de camundongos Swiss machos. Grupos: controle (a, d), CsA50I (b, e) CsA50R (c, f). Glomérulo (G), túbulo contorcido proximal (P) e distal (D), marcação positiva para colágeno (seta) barra: 10 μ m.

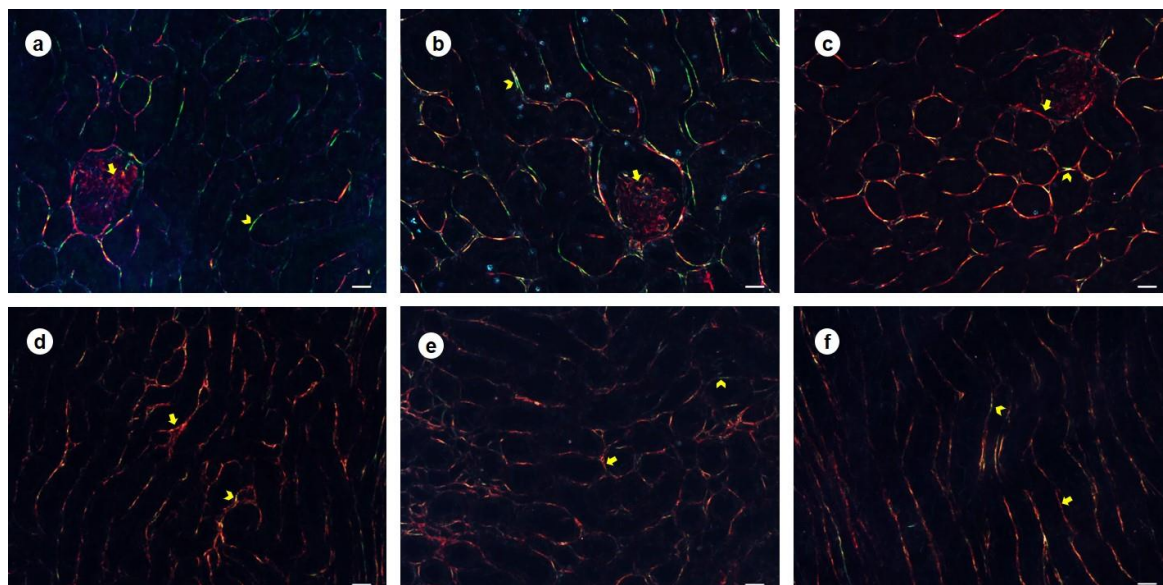


Figura 9. Histologia renal - Picosirius Red - Fotomicrografia em luz polarizada, da região cortical (a, b, c) e da região medular (d, e, f) do rim de camundongos *Swiss* machos. Grupos: controle (a, d), CsA10I (b, f) CsA10R (c, f). Marcação positiva para colágeno tipo I (cabeça de seta); marcação positiva para colágeno tipo III (seta), barra: 10 μ m.

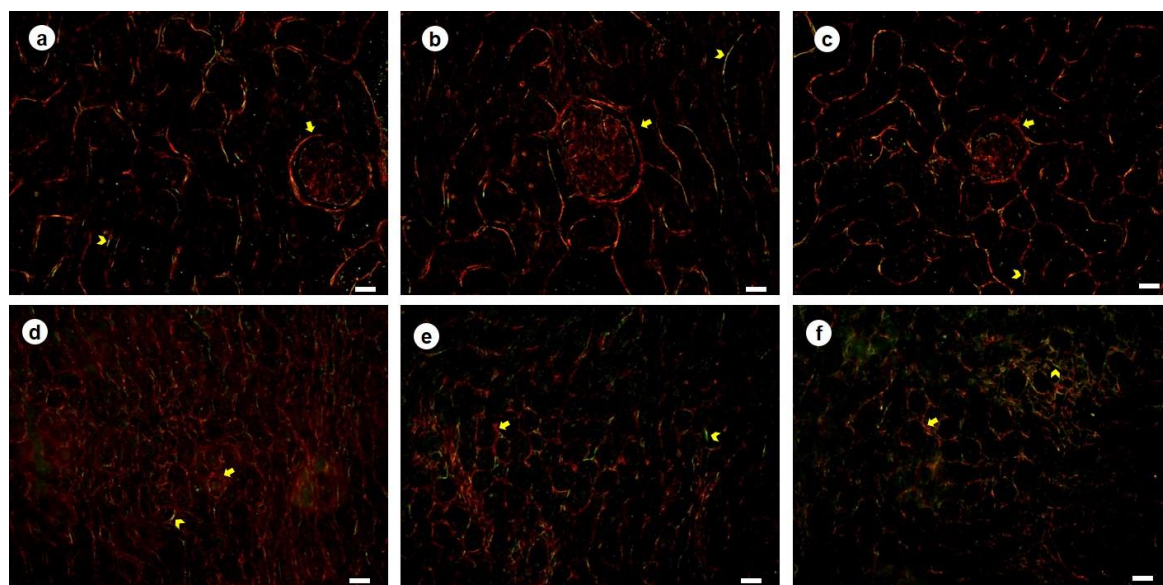


Figura 10. Histologia renal - Picosirius Red – Fotomicrografia em luz polarizada, da região cortical (a, b, c) e da região medular (d, e, f) do rim de camundongos *Swiss* machos. Grupos: controle (a, d), CsA50I (b, e) CsA50R (c, f). Marcação positiva para colágeno tipo I (cabeça de seta); marcação positiva para colágeno tipo III (seta), barra: 10 μ m.

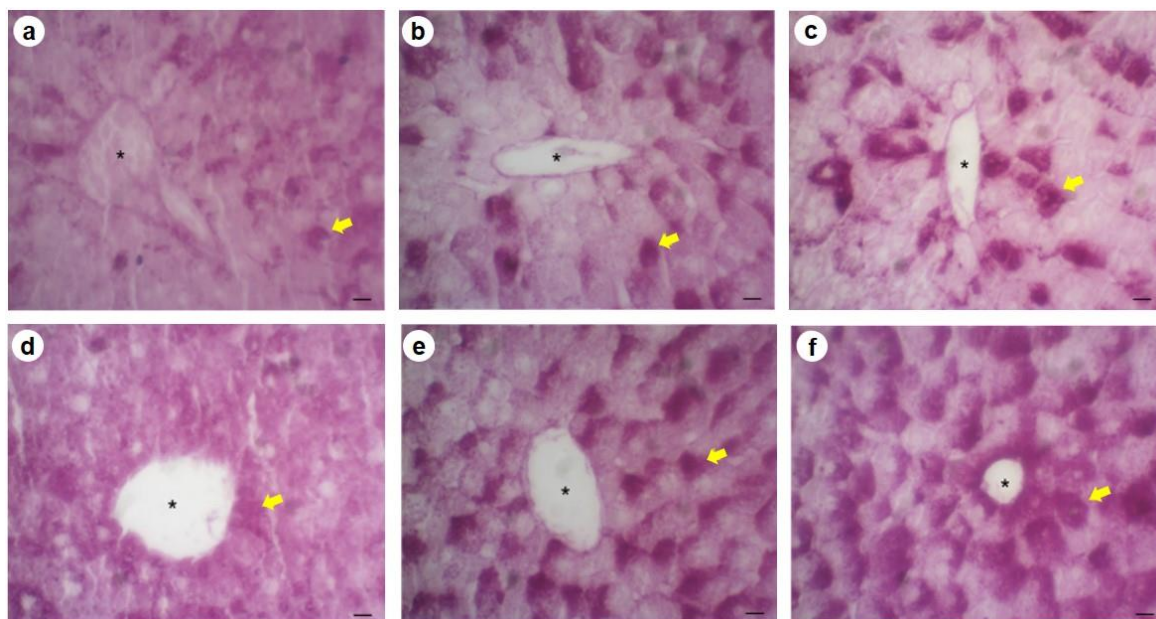


Figura 11. Histologia hepática - Ácido periódico de Schiff (PAS) - Fotomicrografia da região do espaço porta (a, b, c) e da vênula centrolobular (d, e, f) do fígado de camundongos *Swiss* machos. Grupos: controle (a, d), CsA10I (b, e) CsA10R (c, f). Luz do vaso sanguíneo (asterisco); marcação positiva para glicogênio (cabeça de seta), barra = 10 μ m.

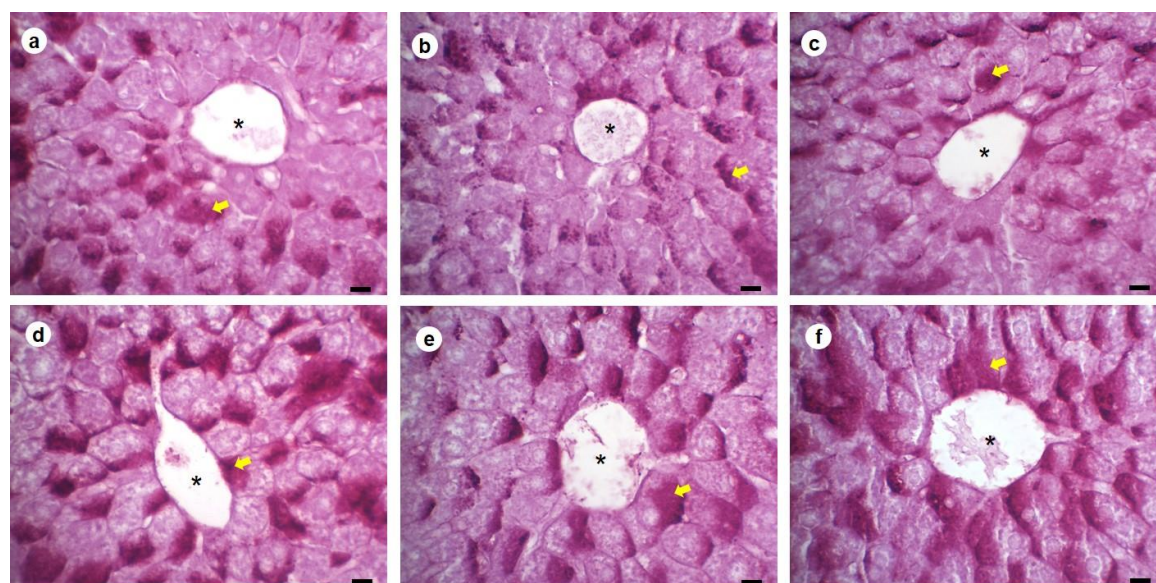


Figura 11. Histologia hepática - Ácido periódico de Schiff (PAS) - Fotomicrografia da região do espaço porta (a, b, c) e da vênula centrolobular (d, e, f) do fígado de camundongos *Swiss* machos. Grupos: controle (a, d), CsA50I (b, e) CsA50R (c, f). Luz do vaso sanguíneo (asterisco); marcação positiva para glicogênio (cabeça de seta), barra = 10 μ m.

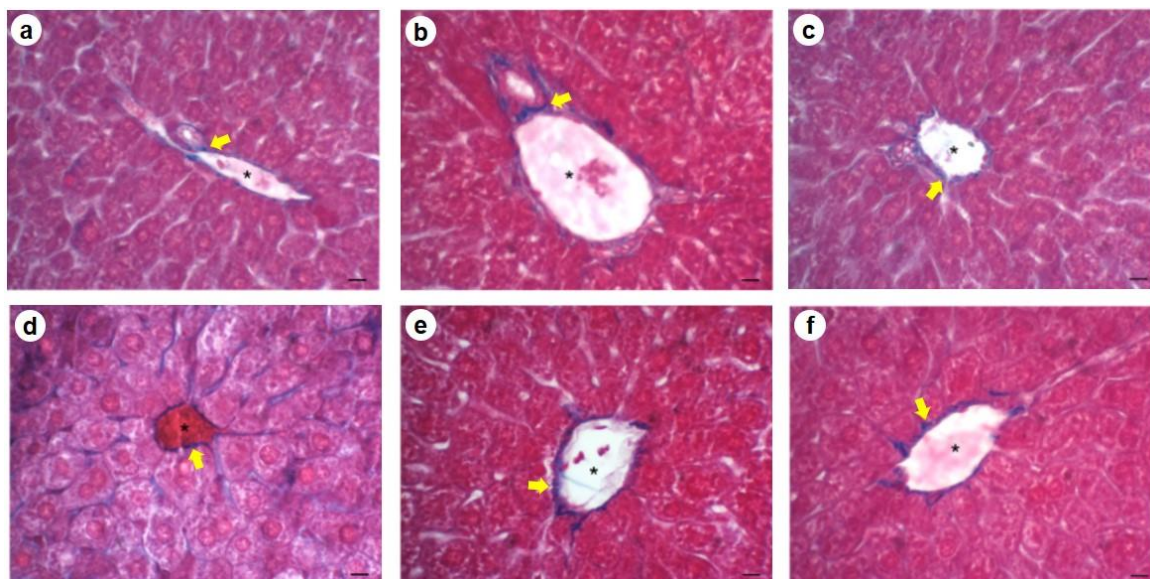


Figura 13. Histologia hepática - Tricrômico Azan Heidenhain - Fotomicrografia da região do espaço porta (a, b, c) e da vênula centrolobular (d, e, f) do fígado de camundongos *Swiss* machos. Grupos: controle (a, d), CsA10I (b, e) CsA10R (c, f). Luz do vaso sanguíneo (asterisco); marcação positiva para colágeno (cabeça de seta), barra = 10 μ m.

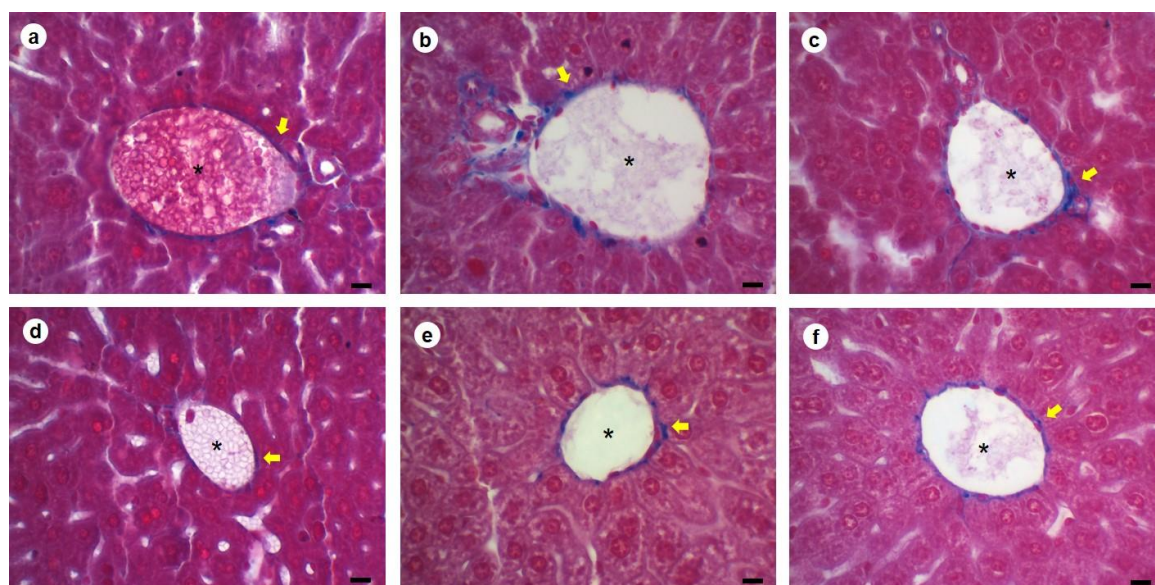


Figura 14. Histologia hepática - Tricrômico Azan Heidenhain - Fotomicrografia da região do espaço porta (a, b, c) e da vênula centrolobular (d, e, f) do fígado de camundongos *Swiss* machos. Grupos: controle (a, d), CsA50I (b, e) CsA50R (c, f). Luz do vaso sanguíneo (asterisco); marcação positiva para colágeno (cabeça de seta), barra = 10 μ m.

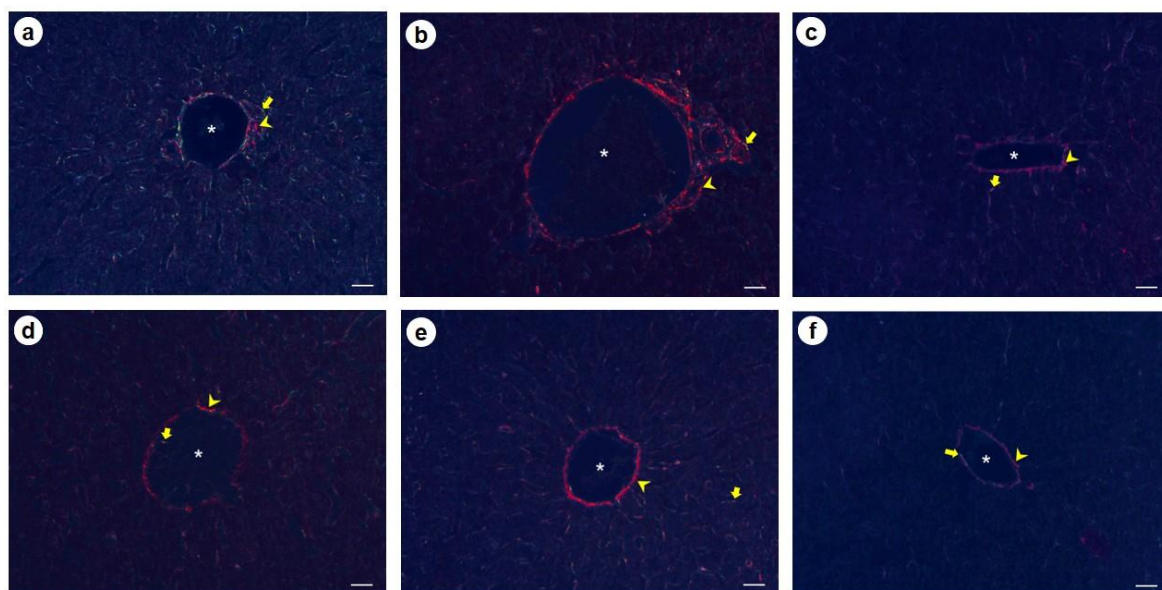


Figura 15. Histologia hepática - Picrosirius red - Fotomicrografia com luz polarizada, da região do espaço porta (a, b, c) e da vênula centrolobular (d, e, f) do fígado de camundongos *Swiss* machos. Grupos: controle (a, d), CsA10I (b, e) CsA10R (c, f). Luz do vaso sanguíneo (asterisco); marcação positiva para colágeno tipo I (cabeça de seta); marcação positiva para colágeno tipo III (seta), barra = 10 μ m.

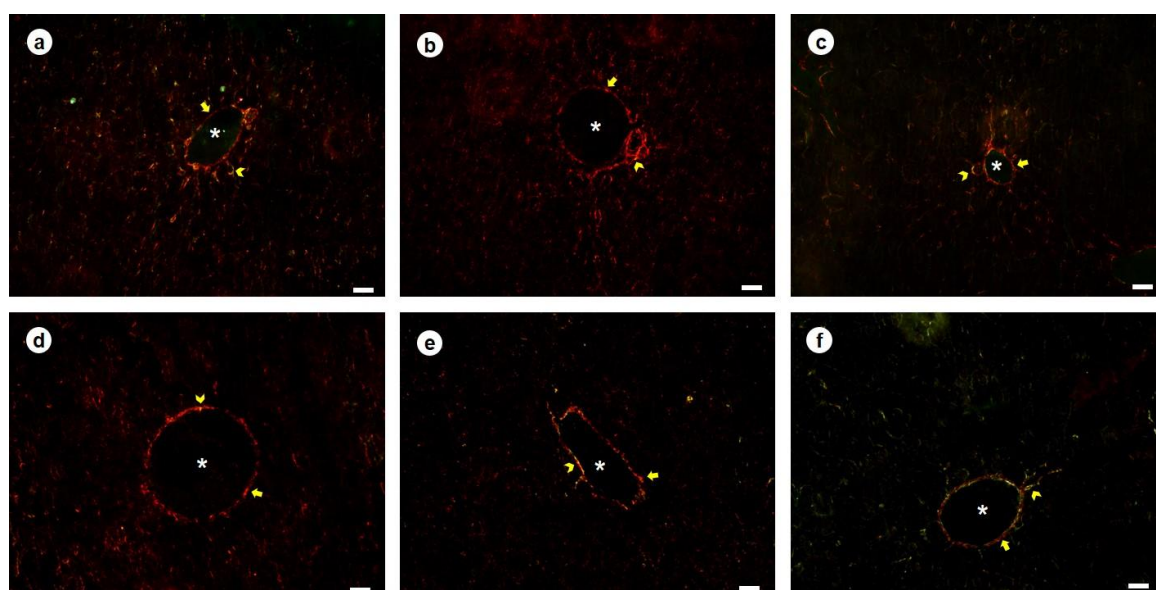


Figura 16. Histologia hepática - Picrosirius red - Fotomicrografia com luz polarizada, da região do espaço porta (a, b, c) e da vênula centrolobular (d, e, f) do fígado de camundongos *Swiss* machos. Grupos: controle (a, d), CsA50I (b, e) CsA50R (c, f). Luz do vaso sanguíneo (asterisco); marcação positiva para colágeno tipo I (cabeça de seta); marcação positiva para colágeno tipo III (seta), barra = 10 μ m.

1 ANEXOS

Anexo A



UNIVERSIDADE
ESTADUAL DE LONDRINA

COMISSÃO DE ÉTICA NO USO DE ANIMAIS

OF. CIRC. CEUA Nº 137/2016

Londrina, 13 de Julho de 2016.

Prezada Pesquisadora,

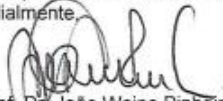
Certificamos que o projeto intitulado "**Avaliação dos efeitos do inseticida Malation sobre o desenvolvimento do sistema genital masculino, gastrointestinal e renal de ratos desde o período juvenil até a puberdade**", protocolo CEUA nº **12305.2016.65**, sob a responsabilidade de **Glaura Scantamburlo Alves Fernandes**, que envolve a produção, manutenção e/ou utilização de animais pertencentes ao filo Chordata, subfilo Vertebrata (exceto o homem), para fins de pesquisa científica (ou ensino), encontra-se de acordo com os preceitos da Lei nº 11.794, de 8 de outubro de 2008, do Decreto nº 6.899, de 15 de julho de 2009, e com as normas editadas pelo Conselho Nacional de Controle da Experimentação Animal (CONCEA), foi **aprovado** pela Comissão de Ética no Uso de Animais da Universidade Estadual de Londrina (CEUA/UJEL), em reunião realizada em **05/07/2016**.

O objetivo do projeto é avaliar se a exposição ao Malation durante o período peripuberal poderá trazer prejuízos para o desenvolvimento dos sistemas genital masculino, gastrointestinal, renal e hepático de ratos. Os animais serão distribuídos casualmente em três grupos experimentais (n=25 animais/grupo). Dois grupos de animais serão tratados com Malation nas doses de 10 mg/Kg ou 50 mg/Kg de peso corpóreo via gavagem. Essas doses correspondem a 0,5% e 2,5%, respectivamente, da DL50 oral para ratos (DL50 oral =2000 mg/kg) (U S EPA, 2000). O outro grupo (grupo controle) receberá apenas o veículo (óleo de soja) em igual volume. No 80º dia experimental os ratos serão anestesiados com a associação de xilazina e quetamina e mortos por punção cardíaca para a coleta do sangue em tubo heparinizado (hepararina sódica) para dosagens hormonais. GI 1

Vigência do Projeto	30/08/2016 a 30/08/2019
Espécie/linhagem	Rato heterogênico / Wistar
Nº de animais	75
Peso/Idade	Indeterminado / 22 dias
Sexo	Machos
Origem	Biotério Central / UJEL
Amostras a serem coletadas	Testículos, epidídimos, vesícula seminal, próstata, sangue, fígado, estômago, rim, intestino, fêmur

Cumpra orientar que caso pretendam-se quaisquer alterações no protocolo experimental aprovado, deve-se submeter o novo protocolo à apreciação da CEUA/UJEL anteriormente à execução das modificações.

Coloco-me à disposição para quaisquer esclarecimentos que se fizerem necessária. Sem mais para o momento, subscrevo, cordialmente.


Prof. Dr. João Waine Pinheiro
Vice-Coordenador da CEUA/UJEL

Ilma. Sra.

Profa. Dra. Glaura Scantamburlo Alves Fernandes

Coordenadora do Projeto

Departamento de Biologia Geral / Centro de Ciências Biológicas

Com cópia Waldiceu A. Verri Junior (Coord. do Biotério Central/UJEL); Chefe do Departamento de Biologia Geral e Diretor(a) do Centro de Ciências Biológicas

Anexo B



COMISSÃO DE ÉTICA NO USO DE ANIMAIS

OF. CIRC. CEUA Nº 68/2017

Londrina, 31 de maio de 2017.

Prezado (a) professor (a)

Certificamos que o projeto intitulado: "**Avaliação dos efeitos da Ciclosporina A como contraceptivo masculino em camundongos,**" protocolo CEUA nº10952.2017.79, sob a responsabilidade de **Glaura Sacatambulo Alves Fernandes**, que envolve a produção, manutenção e/ou utilização de animais pertencentes ao filo Chordata, subfilo Vertebrata (exceto o homem) para fins de pesquisa científica (ou ensino), encontra-se de acordo com os preceitos da Lei nº 11.794, de 8 de outubro de 2008, do Decreto nº 6.899, de 15 de julho de 2009, e com as normas editadas pelo Conselho Nacional de Controle da Experimentação Animal (CONCEA), foi **aprovado** pela Comissão de Ética no Uso de Animais da Universidade Estadual de Londrina (CEUA/UUEL), em reunião realizada em **30/05/2017**.

O Objetivo é investigar Diante da relevância clínica e social do assunto e também pela falta de informações precisas na literatura especializada, os objetivos deste estudo são: (1) avaliar se a Ciclosporina A possui efeitos contraceptivos em camundongos machos adultos; (2) analisar se estes efeitos são reversíveis, mesmo após tratamentos mais longos; (3) avaliar as consequências do uso desta droga a longo prazo para o sistema genital masculino; (4) avaliar se a dose utilizada apresenta efeitos hepatotóxicos e nefrotóxicos. Grau invasividade=2

Vigência do Projeto	01/07/2017 a 31/06/2020
Espécie/linhagem	Camundongo Heterogênico / Swiss
Nº de animais	104
Peso/Idade	50 dias
Sexo	Machos
Origem	Biotério Central da Universidade Estadual de Londrina/UUEL
Amostras a serem coletadas	Sangue, Punção cardíaca, Testículos e epidídimos, Ductos deferentes, Fígado e Rim.

Cumpra orientar que caso pretendam-se quaisquer alterações no protocolo experimental aprovado, deve-se submeter o novo protocolo à apreciação da CEUA/UUEL anteriormente à execução das modificações.

Coloco-me à disposição para quaisquer esclarecimentos que se fizerem necessária. Sem mais para o momento, subscrevo, cordialmente.

A handwritten signature in blue ink, appearing to read "João Wainé Pinheiro".

Prof. Dr. João Wainé Pinheiro
Vice-Coordenador da CEUA/UUEL

Ilmo.(a) Sr.(a)

Prof. (a) Dr (a). Glaura Scantambulo Alves Fernandes

Responsável pelo projeto
Departamento de Biologia Geral/CCB

C/C para a Chefia do Depto de Biologia Geral/CCB
C/C para o Biotério do CCB da UEL
C/C para a Direção de Centro do CCB

Anexo C

Guia para autores:

Acta Histochemica: <https://www.elsevier.com/journals/acta-histochemica/0065-1281/guide-for-authors>

Human & Experimental Toxicology: <https://journals.sagepub.com/author-instructions/HET>